

**Учредитель – Федеральное государственное бюджетное образовательное учреждение
высшего профессионального образования «Южно-Уральский государственный
университет» (национальный исследовательский университет)**

Редакционная коллегия серии:

д.х.н., проф. **Ким Д.Г.**

(*отв. редактор*);

д.х.н., проф. **Авдин В.В.**

(*зам. отв. редактора*);

к.х.н., доцент **Мосунова Т.В.**

(*отв. секретарь*);

д.х.н., проф., чл.-корр. РАН

Бамбуров В.Г.;

д.х.н., проф. **Голованов В.И.**

д.х.н., проф. **Лыкасов А.А.**;

д.т.н., проф. **Михайлов Г.Г.**;

д.х.н., проф. **Рябухин А.Г.**

Серия основана в 2009 году.

Свидетельство о регистрации ПИ № ФС77-26455 выдано 13 декабря 2006 г. Федеральной службой по надзору за соблюдением законодательства в сфере массовых коммуникаций и охране культурного наследия.

Журнал включен в Реферативный журнал и Базы данных ВИНТИ. Сведения о журнале ежегодно публикуются в международной справочной системе по периодическим и продолжающимся изданиям «Ulrich's Periodicals Directory».

Решением Президиума Высшей аттестационной комиссии Министерства образования и науки Российской Федерации от 19 февраля 2010 г. № 6/6 журнал включен в «Перечень ведущих рецензируемых научных журналов и изданий, в которых должны быть опубликованы основные научные результаты диссертаций на соискание ученых степеней доктора и кандидата наук».

Подписной индекс 29414 в объединенном каталоге «Прессы России».

Периодичность выхода – 4 номера в год.

СОДЕРЖАНИЕ

Органическая химия

- ШАРУТИН В.В., ШАРУТИНА О.К. Строение органических комплексов сурьмы (V) общей формулы R₄SbL (R = Alk, Ar; L – бидентатный лиганд) (обзор) 4

Физическая химия

- САМОЙЛОВА О.В., ГЕРАСКИН В.И., МИХАЙЛОВ Г.Г., ТРОФИМОВ Е.А. Разработка методики получения сплавленной керамики на основе Cu₂O 15
ГРУБА О.Н., ГЕРМАНЮК Н.В., РЯБУХИН А.Г. Энталпия электромагнитного взаимодействия, потенциал ионизации и энталпия образования катиона 21
ПЕЧЕНЮК С.И. Закономерности сорбции анионов аморфными оксигидроксидами (обзор) 26

CONTENTS

Organic Chemistry

- SHARUTIN V.V., SHARUTINA O.K. Structure of organoantimony compounds R₄SbL (R = Alk, Ar; L – bidentate ligand) (review) 4

Physical Chemistry

- SAMOYLOVA O.V., GERASKIN V.I., MIKHAILOV G.G., TROFIMOV E.A. Elaboration of a method to obtain Cu₂O-based alloy ceramics 15
GRUBA O.N., GERMANYUK N.V., RYABUKHIN A.G. Enthalpy electromagnetic interaction, the ionization potential and the enthalpy of cationic 21
PECHENYUK S.I. The regularities of anion sorption by amorphous oxyhydroxides (review) 26

Органическая химия

УДК 547.53

СТРОЕНИЕ ОРГАНИЧЕСКИХ КОМПЛЕКСОВ СУРЬМЫ (V) ОБЩЕЙ ФОРМУЛЫ R_4SbL ($R = Alk, Ar; L -$ БИДЕНТАТНЫЙ ЛИГАНД) (ОБЗОР)

В.В. Шарутин, О.К. Шарутина

Проанализированы геометрические параметры и особенности строения молекул органических производных сурьмы (V) общей формулы R_4SbL ($R = Alk, Ar; L = S,S'-, O,O'-, O,N-, O,S$ -бидентатный лиганд), в которых атом сурьмы гексакоординирован, а лиганды имеют, как правило, анизобидентатный характер. Асимметрия координации лиганда определяется природой лиганда.

Ключевые слова: органические комплексы сурьмы, бидентатные лиганды, октаэдрическая координация.

Сурьма является элементом 15 группы Периодической системы Д.И. Менделеева (электронная конфигурация основного состояния атома $5s^2p^3$) с характерной валентностью III и V. Свободные $5d$ -орбитали с невысокой энергией, а также относительно большой размер атома расширяют возможности для образования химических связей. В органических комплексах сурьмы (V) координационное число центрального атома в зависимости от числа и дентатности лигандов может принимать значения 4, 5, 6, 7 и 9. В химии координационных соединений хорошо известны такие бидентатные органические лиганды, как β -дикетонатные, дитиокарбаматные, диалкилдитиофосфатные, хинолятные, карбоксилатные и др., которые входят в состав огромного количества комплексов переходных металлов. Интерес представляет установление особенностей координации этих лигандов атомами непереходных элементов.

В настоящем обзоре проанализировано строение структурно охарактеризованных комплексов тетраорганилсурьмы с бидентатными лигандами общей формулы R_4SbL ($R = Alk, Ar; L -$ бидентатный лиганд).

Известно, что N,N-диалкилдитиокарбаматные лиганды в координационных соединениях проявляют структурную неэквивалентность, обусловленную различными дентатностью или структурной функцией. В N,N-диалкилдитиокарбаматах тетраарилсурьмы $R_4SbS_2CNR'_2$ ($Ar = Ph, R' = Me$ (I) [1], $R = p-Tol, R' = Me$ (II) [1], $R = Ph, R' = Et$ (III) [2], $R = Ph, R' = cyclo-(CH_2)_6$ (IV a, b) [3]), полученных из хлорида или аренсульфоната тетраорганилсурьмы и N,N-диалкилдитиокарбамата натрия в воде, лиганды выступают как хелатирующие. Элементарная ячейка N,N-гексаметилендитиокарбамата тетрафенилсурьмы (IV) включает два типа кристаллографически независимых молекул, которые структурно неэквивалентны друг другу.

В молекулах (I–IV) атом сурьмы находится в искаженно октаэдрическом окружении $[C_4S_2]$ (рис. 1). В экваториальной плоскости металл координирует дитиокарбаматный лиганд (посредством двух атомов серы) и два наиболее прочно связанных циклических арильных фрагмента. Два других арильных заместителя с меньшей прочностью связывания занимают аксиальные положения. Величины аксиальных углов $C(Ar)SbC(Ar)$ в комплексах I–IV a, b заметно отклоняются от 180° : $170,44, 166,6, 168,5, 169,0, 169,6^\circ$ соответственно. Суммы углов в экваториальных плоскостях равны 360° .

Диагональные углы SSbC составляют $158,14, 159,87$ (I); $160,4, 161,2$ (II); $160,7, 159,6$ (III); $159,3, 157,5$ (IV a); $158,6, 159,7^\circ$ (IV b соответственно). Отклонения атомов углерода и серы от экваториальной плоскости незначительны и изменяются в интервалах $\pm(0,010–0,089)$ Å. Атомы сурьмы отклоняются от экваториальной плоскости фрагментов SSCC всего на $0,001–0,015$ Å.

Бидентатная координация дитиокарбаматных лигандов приводит к образованию четырехчленных металлоциклов $[SbS_2C]$. Металлоциклы в молекулах I–III характеризуются практически плоскостным строением, тогда как в молекулах IV *a*, *b* значения торсионных углов во фрагменте $[SbS_2C]$ свидетельствуют о заметном отклонении от плоскости. Металлоциклы искажены таким образом, что два полуцикла $SbSC$ образуют межплоскостной угол 163,97 и 168,34°. Таким образом, четырехчленные металлоциклы имеют небольшой перегиб по диагонали $Sb-C$.

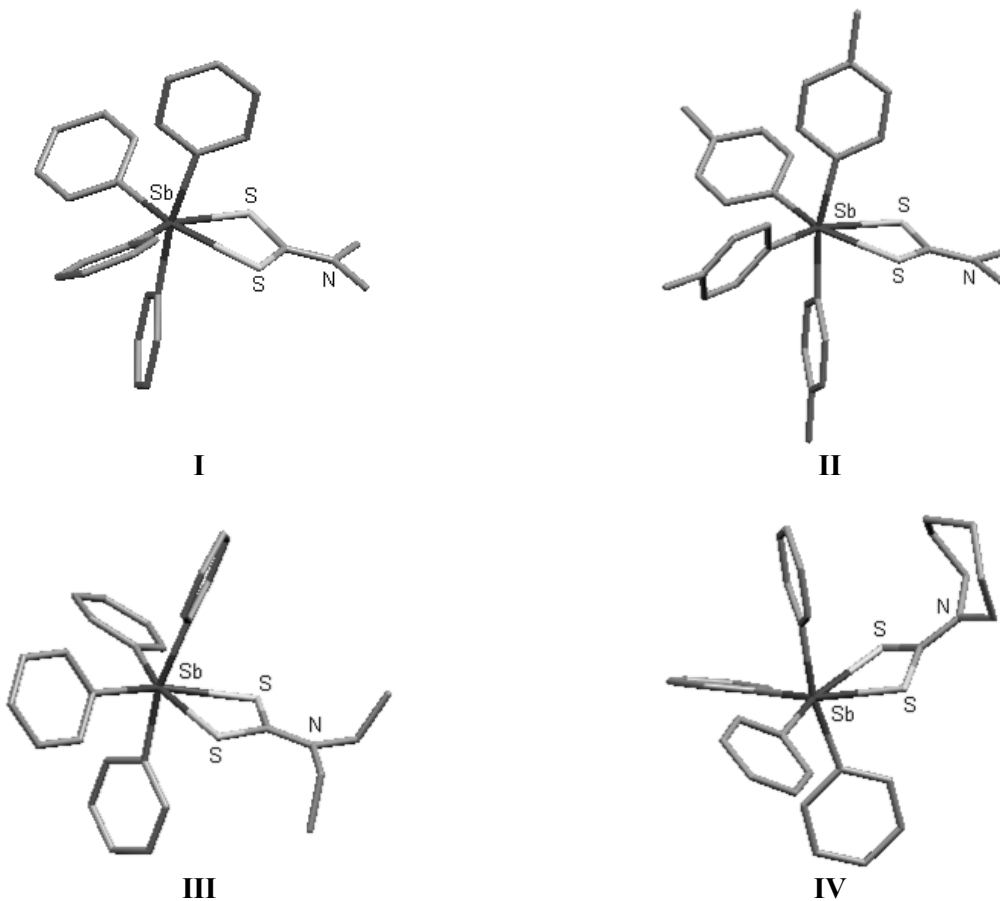


Рис. 1. Строение N,N-диалкилдитиокарбаматов тетраарилсурьмы

Расстояния $Sb-C_{\text{экв}}$ (2,166, 2,169 (I); 2,162, 2,168 (II); 2,160, 2,160 (III); 2,156, 2,162 (IV *a*); 2,155, 2,169 Å (IV *b*) меньше, чем $Sb-C_{\text{акц}}$ (2,183, 2,187; 2,160, 2,190; 2,171, 2,197; 2,179, 2,180; 2,180, 2,185 Å).

Дитиокарбаматные лиганды обнаруживают анизобидентатный характер координации, так как одна из связей $Sb-S$ (2,7158, 2,761, 2,705, 2,717 Å) заметно прочнее другой (2,7440, 2,800, 2,771, 2,741 Å). Исключение составляет молекула IV *b*, где лиганд практически изобидентатный (2,721 и 2,724 Å), при более высокой общей прочности связывания по сравнению с молекулой IV *a*. Расстояния $Sb-S$ существенно превышают сумму ковалентных радиусов атомов сурьмы и серы (2,44 Å [4]), и, очевидно, имеют координационный характер. Отметим, что в молекуле бис(N,N-диметилдитиокарбомата) trimетилсурьмы лиганды координируются крайне асимметрично, и координационный полиздр атома сурьмы близок к тригональной бипирамиде [5].

Расстояния S–C в комплексах различаются между собой незначительно (1,717, 1,715 (I); 1,701, 1,728 (II); 1,717, 1,706 (III); 1,711, 1,723 (IV *a*); 1,719, 1,714 Å (IV *b*)). Значения приведенных длин связей меньше длины обычной ординарной связи S–C (1,817 Å [6]) и имеют порядок $1 < n < 2$.

Связи C(S)–N (1,338, 1,330, 1,330, 1,330, 1,338 Å) также заметно короче ординарной связи (1,47 Å) и меньше расстояний N–C(Alk) (1,458, 1,461 (I); 1,444, 1,464 (II); 1,487, 1,457 (III); 1,464, 1,471 (IV *a*); 1,464, 1,471 Å (IV *b*)), что говорит о сопряжении неподеленной электронной пары атома азота с π -системой хелатного цикла (атом азота имеет плоскую тригональную координацию, фрагмент S_2CN – плоский).

Органическая химия

Проведенный сравнительный анализ выявляет значительное структурное подобие молекул **IV a** и **IV б** и позволяет классифицировать их как конформационные изомеры (когда равновесное состояние многоатомной молекулярной системы достигается в двух или нескольких близких по энергии конфигурациях). Наиболее существенные различия между обсуждаемыми конформерами лежат в области дитиокарбаматных лигандов.

Известными серосодержащими лигандами, склонными проявлять структурную неэквивалентность в координационных соединениях, являются O,O-диалкилдитиофосфатные лиганды.

В молекулах O,O-диэтилдитиофосфата тетрафенилсурьмы $\text{Ph}_4\text{SbSP}(\text{S})(\text{OEt})_2$ (**V**), O,O-диизопропилдитиофосфата тетрафенилсурьмы $\text{Ph}_4\text{SbSP}(\text{S})(\text{OPr-}i)_2$ (**VI**), O,O-диизобутилдитиофосфата тетрафенилсурьмы $\text{Ph}_4\text{SbSP}(\text{S})(\text{OBu-}i)_2$ (**VII**) лиганды демонстрируют монодентатный характер связывания с центральным атомом, и координацию атомов сурьмы можно рассматривать как искаженную тригонально-бипирамидальную (рис. 2) [7].

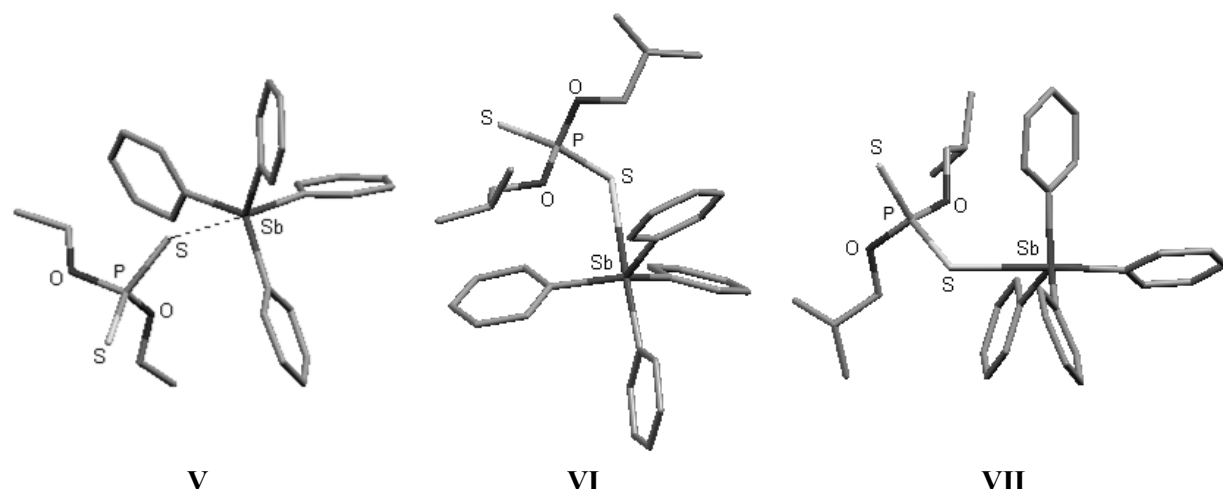


Рис. 2. Строение O,O-диалкилдитиофосфатов тетрафенилсурьмы

Аксиальные углы CSbS составляют $175,27$, $176,38$ и $176,23^\circ$ в **V**, **VI**, **VII** соответственно. Экваториальные углы CSbC (и их суммы) равны $113,06$, $118,43$, $123,41^\circ$ ($354,9^\circ$); $113,34$, $115,90$, $125,66^\circ$ ($354,9^\circ$) и $115,24$, $118,00$, $121,90^\circ$ ($355,14^\circ$). Углы между аксиальными и экваториальными заместителями $\text{C}_{\text{акс}}\text{SbC}_{\text{экв}}$ и $\text{SSbC}_{\text{экв}}$ в комплексах **V**, **VI**, **VII** изменяются в интервалах $95,03$ – $99,91^\circ$ и $77,54$ – $86,64^\circ$; $95,73$ – $98,81^\circ$ и $78,52$ – $87,02^\circ$; $95,35$ – $99,01^\circ$ и $78,45$ – $86,79^\circ$ соответственно. Длины аксиальных связей $\text{Sb-C}_{\text{акс}}$, экваториальных связей $\text{Sb-C}_{\text{экв}}$ и отношения $d(\text{Sb-C}_{\text{акс}})/d_{cp}(\text{Sb-C}_{\text{экв}})$ равны в рассматриваемых комплексах соответственно: $2,146$; $2,106$, $2,113$, $2,121$ Å; $1,016$ (**V**); $2,147$; $2,106$, $2,115$, $2,116$ Å; $1,017$ (**VI**); $2,147$; $2,104$, $2,114$, $2,115$ Å; $1,017$ (**VII**). Расстояния Sb-S составляют $2,950$, $2,949$ и $2,909$ Å при сумме ковалентных радиусов атомов сурьмы и серы $2,44$ Å [4]. Удлинение связей по сравнению с этой величиной составляет $20,4$, $20,4$, $18,7$ % в **V**, **VI**, **VII** соответственно. Расстояния от центрального атома до другого атома серы $\text{Sb}\cdots\text{S}$ равны $5,766$; $5,557$ и $5,557$ Å, что значительно больше суммы ван-дер-ваальсовых радиусов указанных атомов ($4,05$ Å [4]). В перечисленных O,O-диалкилдитиофосфатных комплексах кратчайшие расстояния между центральным атомом и атомом кислорода одного из диалкилдитиофосфатных заместителей составляют $3,741$, $3,612$ и $3,641$ Å соответственно и близки к сумме ван-дер-ваальсовых радиусов указанных элементов ($3,70$ Å [4]). Координация атома фосфора в диалкилдитиофосфатных лигандах приблизительно тетраэдрическая. Длины связей и валентные углы в лигандах комплексов **V**, **VI**, **VII** практически совпадают. Так, два расстояния P-S во всех трех комплексах несколько отличаются друг от друга: одно ($\text{P-S}\cdots\text{Sb}$) имеет значения $2,004$; $2,004$ и $2,002$ Å, а другое $1,948$; $1,950$ и $1,945$ Å.

Геометрия O,O-дипропилдитиофосфата тетрафенилсурьмы $\text{Ph}_4\text{SbSP}(\text{S})(\text{OPr})_2$ (**VIII**) отличается от геометрии комплексов **V**, **VI**, **VII**. O,O-Дипропилдитиофосфатный лиганд обнаруживает бидентатный характер координации, хотя одна из связей Sb-S ($3,006$ Å) заметно короче другой ($3,557$ Å) (рис. 3).

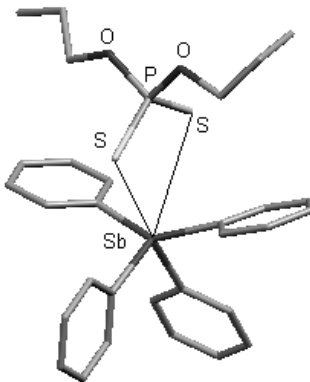
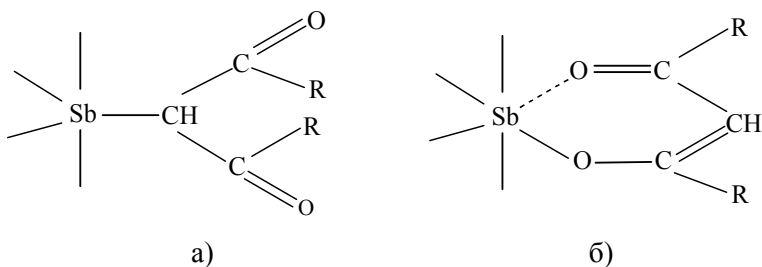


Рис. 3. Строение O,O -дипропилдитиофосфата тетрафенилсурьмы (VIII)

Атом сурьмы с учетом анизобидентатного дипропилдитиофосфатного лиганда имеет координацию искаженного октаэдра. В экваториальной плоскости находятся три атома углерода фенильных групп и один из атомов серы, в аксиальных положениях другой атом серы и атом углерода четвертой фенильной группы. Аксиальный угол $CSbS$ составляет $172,27^\circ$. Сумма углов $CSbS$ и $CSbC$ в экваториальной плоскости равна $353,76^\circ$. Экваториальные фенильные группы и экваториальный атом серы смешены в сторону аксиально расположенного атома серы, в результате чего углы $C_{акс}SbC_{экв}$ и $C_{акс}SbS_{экв}$ имеют значения $96,83$, $97,83$, $99,80$ и $111,41^\circ$, в то время как углы $S_{акс}SbC_{экв}$ и $S_{акс}SbS_{экв}$ намного меньше 90° : $79,80$, $80,87$, $87,85$ и $60,94^\circ$. Экваториальные фенильные заместители связаны с центральным атомом более прочными связями ($2,123$, $2,126$ и $2,128$ Å), чем аксиальный ($2,149$ Å). Атом фосфора в O,O -дипропилдитиофосфатном лиганде имеет несколько искаженную тетраэдрическую координацию. Длины связей $P-S$ равны $1,998$ и $1,958$ Å, при этом более тесному контакту $Sb \cdots S$ соответствует более длинная связь $P-S$.

Как следует из литературных данных [8–14], возможны два типа связывания β -дикетонатного лиганда: а) монодентатный, б) бидентатный:



Отметим, что о монодентатном типе связывания упоминается в единственной работе [8]. Авторы наблюдали в ИК-спектре раствора ацетилацетоната диметилдихлорсурьмы в хлороформе слабое поглощение в области 1715 cm^{-1} , которое объяснили присутствием как хелатной формы, так и некоторого количества ныхелатированного соединения, находящимися в равновесии. В последнем случае ацетилацетонатная группа симметрично связана с атомом сурьмы через γ -углеродный атом. Однако это единственный случай, который воспроизвести до сих пор не удалось никому. По мнению ряда исследователей [9, 10], появление указанной полосы в спектре объясняется наличием примесей.

Для большинства β -дикетонатов сурьмы в ИК-спектрах наблюдался интенсивный дублет в области 1600 – 1500 cm^{-1} , относящийся к валентным колебаниям связей $C-O$ и $C-C$, на основании чего была предложена хелатная координация β -дикетонатного лиганда. Рентгеноструктурные исследования β -дикетонатов сурьмы (V) общей формулы $Ph_4Sb[OC(Me)CXC(Me)O]$ ($X = Cl$ (IX) [11]; Et (X) [12]; All (XI) [12]; Ph (XII) [13, 14]; SBu (XIII a, б) [14]) полностью подтвердили данные спектров. Установлено, что атомы сурьмы в комплексах IX–XIII a, б имеют искаженное октаэдрическое окружение (рис. 4).

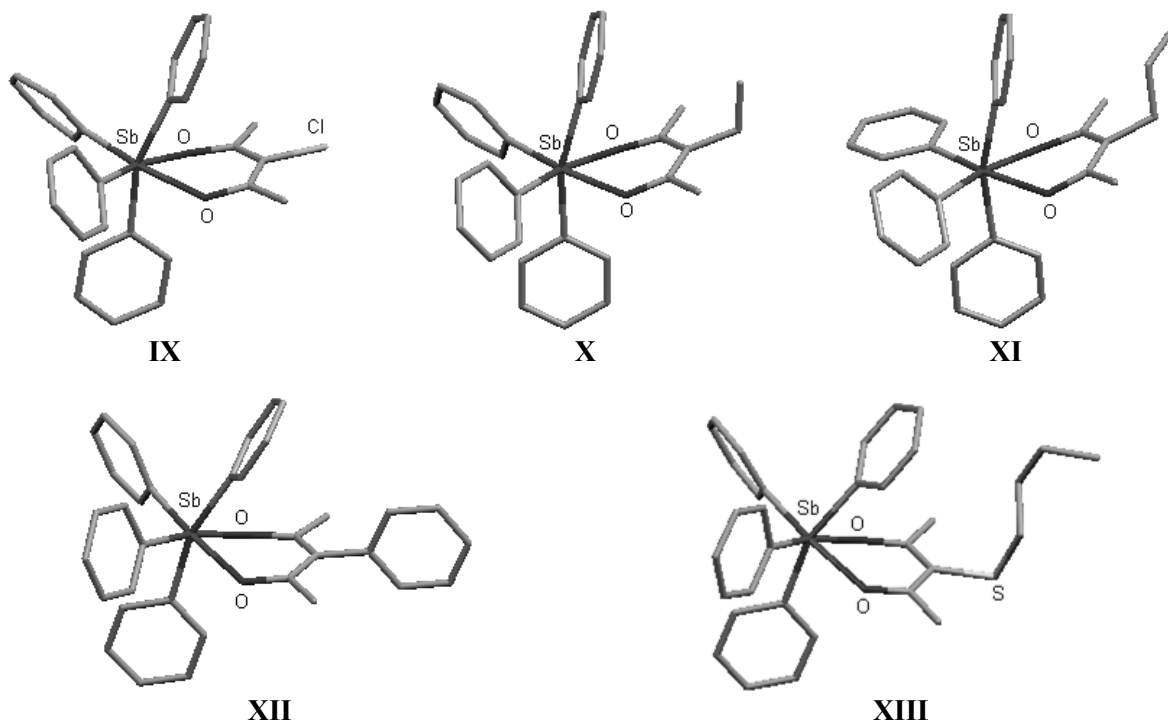


Рис. 4. Строение β -дикетонатов тетрафенилсурьмы

Атомы кислорода бидентатного лиганда, наряду с двумя атомами углерода, расположены в экваториальной плоскости октаэдра, аксиальные позиции занимают атомы углерода двух других фенильных групп. Аксиальные углы CSbC (в IX–XIII *a*, *b* соответственно) составляют 159,3, 163,15, 162,41, 162,75, 160,97 (159,42) $^{\circ}$ (см. таблицу).

Основные геометрические параметры молекул ацетилацетонатов тетрафенилсурьмы
 $\text{Ph}_4\text{Sb}[\text{OC}(\text{Me})\text{CXC}(\text{Me})\text{O}]$

| № | X | d Sb–O, Å | d Sb–C _a , Å | d Sb–C ₃ , Å | ϕ C _a SbC _a град. | ϕ OSbC ₃ град. | d O–C, Å | d C–C, Å | Литература |
|------|--------------------------------|----------------------------------|----------------------------------|----------------------------------|--|--------------------------------------|----------------------------------|----------------------------------|------------|
| IX | Cl | 2,257 2,263 | 2,126 2,156 | 2,135 2,145 | 159,3 | 166,4 167,6 | 1,273 1,280 | 1,395 1,398 | [11] |
| X | Et | 2,201 2,201 | 2,156 2,170 | 2,165 2,165 | 163,15 | 167,87 167,87 | 1,281 1,284 | 1,405 1,405 | [12] |
| XI | All | 2,191 2,234 | 2,167 2,161 | 2,159 2,165 | 162,41 | 167,42 167,03 | 1,276 1,273 | 1,407 1,400 | [12] |
| XII | Ph | 2,215 2,228 | 2,170 2,155 | 2,157 2,162 | 162,75 | 166,47 167,90 | 1,282 1,277 | 1,407 1,408 | [14] |
| XIII | <i>a)</i> SBu <i>б)</i> SBu | 2,215 2,281 2,231 2,244 | 2,147 2,150 2,148 2,157 | 2,157 2,161 2,152 2,152 | 160,97 168,39 167,05 167,19 | 164,12 1,276 1,272 1,278 | 1,266 1,427 1,402 1,410 | 1,427 1,402 1,410 1,415 | [14] |

Отклонения атомов кислорода и углерода от экваториальной плоскости незначительны. Атомы сурьмы выходят из экваториальной плоскости не более чем на 0,02 Å. Суммы углов в экваториальных плоскостях составляют 360 $^{\circ}$, при этом диагональные углы C_{экв}SbO равны 166,4, 167,6 (IX); 167,87, 167,87 (X); 167,03, 167,42 (XI); 166,47, 167,90 (XII); 164,12, 167,39 (167,05, 167,19 $^{\circ}$) в IX–XIII *a*, *б* соответственно. Значения углов OSbO в молекулах в IX–XIII *a*, *б* изменяются в узком интервале значений (76,40–78,41 $^{\circ}$).

Шестичленные металлоциклы [SbO₂C₃] в молекулах искажены таким образом, что плоскости двух полуциклов [O₂Sb] и [O₂C₃] образуют углы 147–165 $^{\circ}$. Таким образом, металлоциклы имеют перегиб по диагонали O–O. Расстояния Sb–C_{экв} в комплексах IX–XIII *a*, *б* равны соответственно

2,135, 2,145 (**IX**); 2,165, 2,165 (**X**); 2,159, 2,165 (**XI**); 2,157, 2,162 (**XII**); 2,157, 2,161 (**XIII a**); 2,152, 2,152 Å (**XIII b**) и мало отличаются от расстояний Sb–C_{акс} (2,126, 2,156 (**IX**); 2,156, 2,170 (**X**); 2,161, 2,167 (**XI**); 2,155, 2,170 (**XII**); 2,147, 2,150 (**XIII a**); 2,148, 2,157 Å (**XIII b**)).

Во всех комплексах, за исключением **X**, в котором расстояния Sb–O равны между собой (2,201 Å), β-дикетонатные лиганды проявляют анизобидентатный характер координации. Расстояния Sb–O изменяются в диапазоне 2,191–2,281 Å, что свидетельствует о различной прочности связывания лиганда с центральным атомом. Длины связей Sb–O превышают сумму ковалентных радиусов атомов сурьмы и кислорода (2,07 Å [4]). Асимметрия координации выражена в разной степени; так разности длин связей Sb–O составляют 0,005 (**IX**), 0,043 (**XI**), 0,013 (**XII**), 0,013 (**XIII a**), 0,066 Å (**XIII b**). Значения длин связей O–C отличаются не столь существенно (1,268–1,284 Å).

Анализ геометрических характеристик комплексов **IX–XIII** позволяет констатировать, что природа заместителя у центрального атома углерода в дикетонатном лиганде существенно не влияет на искажение координационного полиэдра атома сурьмы, но обуславливает некоторое перераспределение электронной плотности в цикле. Наличие электронодонорных заместителей (Et, Al) приводит к более прочному связыванию лиганда с центральным атомом (средние расстояния Sb–O в **X** и **XI** равны 2,201 и 2,212 Å). (В молекуле **XI** угол между плоскостями аллильной группы и хелатного цикла составляет примерно 89°, что указывает на отсутствие сопряжения, поэтому аллильная группа выступает в роли электронодонорного заместителя). Смещение электронной плотности из цикла при введении в γ-положение лиганда электроноакцепторного заместителя (Cl, SBu, Ph) способствует ослаблению взаимодействия металл–лиганд (средние расстояния Sb–O в **IX**, **XII**, **XIII a** и **XIII b** составляют 2,260, 2,222, 2,248 и 2,238 Å), при этом чем больше выражены электроноакцепторные свойства группы, тем больше расстояния Sb–O. Отметим, что природа заместителя в γ-положении цикла мало сказывается на расстояниях как C–O, так и C–C.

Известно, что карбоксилатные лиганды в комплексах переходных металлов, как правило, бидентатны. В карбоксилатах тетраарилсурьмы лиганды координируются на атом сурьмы крайне несимметрично: связи Sb–O изменяются в интервале 2,250–2,530 Å, тогда как расстояния Sb···O=C (3,112–3,509 Å) приближаются к сумме ван-дер-ваальсовых радиусов атомов сурьмы и кислорода (3,70 Å [4]) [15]. При этом координацию атома сурьмы можно охарактеризовать как искаженную тригонально-бирамидалную. Исключением являются ферроценилкарбоксилат тетрафенилсурьмы $Ph_4SbOC(O)Fc$ (**XIV**), в котором карбоксилатный лиганд является в полном смысле хелатирующим и симметрично координируется на атом сурьмы двумя атомами кислорода (длины связей Sb–O составляют 2,333 и 2,338 Å) [16], и ферроценилакрилат тетрафенилсурьмы $Ph_4SbOC(O)CH=CHFc$ (**XV**), где отношение $d(Sb\cdots O=C)/d(Sb–O)$ близко к 1 (2,400 Å / 2,269 Å = = 1,06) [17]. Вследствие этого координация атома сурьмы в **XIV** и **XV** становится искаженной октаэдрической (рис. 5).

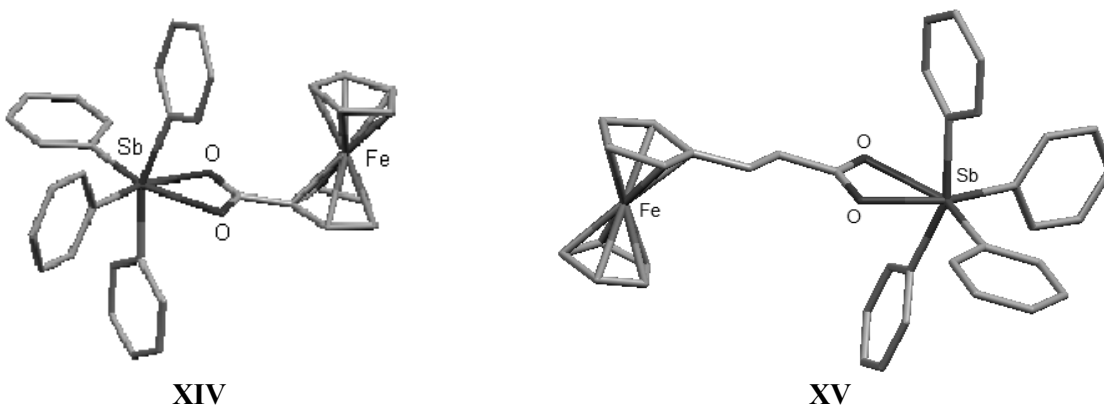


Рис. 5. Строение ферроценилкарбоксилата и ферроценилакрилата тетрафенилсурьмы

В экваториальной плоскости находятся два атома углерода фенильных групп и два атома кислорода карбокси-группы, аксиальные положения занимают атомы углерода двух других фе-

Органическая химия

нильных заместителей. Аксиальный угол $C_{акс}SbC_{акс}$ равен $159,64^\circ$ (**XIV**) и $156,73^\circ$ (**XV**), углы в экваториальной плоскости неравнозначны: $C_{экв}SbC_{экв}$, $OSbO$, $C_{экв}SbO$ равны $103,44$, $56,25$, $93,05$, $107,25^\circ$ (сумма $359,99^\circ$) и $103,40$, $56,21$, $93,05$, $107,35^\circ$ (сумма 360°) в **XIV** и **XV** соответственно.

Длины экваториальных и аксиальных связей Sb–C соответственно равны $2,144$, $2,161$ и $2,166$, $2,169$ Å (**XIV**); $2,133$, $2,143$ и $2,172$, $2,175$ Å (**XV**). Расстояния C–O мало отличаются друг от друга (в **XIV** и **XV**: $1,267$, $1,274$ и $1,258$, $1,293$ Å) и превышают значение делокализованной связи углерод–кислород в анионах COO^- ($1,250$ – $1,255$ Å [18]).

Ферроценильный фрагмент в **XIV** находится в конформации, близкой к заслоненной, в **XV** – в заторможенной. Расстояния Fe–C изменяются в интервалах $2,023$ – $2,050$ Å и $1,960$ – $2,039$ Å. В молекулах **XIV** и **XV** плоскости циклопентадиенильного кольца, карбоксильной группы и одного из экваториальных фенильных колец практически copланарны. Расстояния $O \cdots H-C(Ph)$ (H – *ортого*-атом водорода по отношению к связи Sb–O) составляют $2,61$ и $2,52$ Å. В кристаллах молекулы **XIV** и **XV** объединены в димеры посредством двух слабых водородных связей между атомом кислорода карбоксильной группы и углеродом циклопентадиенильного кольца $O \cdots H-C$ ($2,56$ и $2,66$ Å).

В производном сурьмы (V) *p*-Tol₄Sb[ONH(Ph)C=O] (**XVI**) остаток гидроксиамида бензойной кислоты проявляет себя как O,O-бидентатный лиганд [19]. Строение молекулы **XVI** (рис. 6) очень похоже на строение β-дикетонатов тетрафенилсурьмы **IX**–**XIII**.

Атомы кислорода хелатного цикла и два атома углерода арильных лигандов занимают экваториальные положения, атомы углерода двух других – аксиальные позиции. Октаэдрическая координация атома сурьмы искажена, поскольку все *транс*-углы существенно меньше 180° ($C_{акс}SbC_{акс}$ $162,15^\circ$; $OSbC_{экв}$ $162,39$, $167,39^\circ$). Сумма углов в экваториальной плоскости равна 360° , при этом минимальный угол $OSbO$ ($72,16^\circ$), максимальный – $CSbC$ ($102,34^\circ$). Пятичленный металлоцикл [SbONCO] не является плоским (перегиб по диагонали O–O).

Экваториальные связи Sb–C ($2,148$, $2,157$ Å) несколько короче аксиальных ($2,168$, $2,177$ Å). Лиганд координируется на центральный атом анизобидентатно: расстояние Sb–O(N) равно $2,201$ Å, Sb–O(=C) – $2,299$ Å. В окиматах тетраарилсурьмы длина связи Sb–O составляет $2,120$ – $2,178$ Å [20], тогда как внутримолекулярное расстояние Sb \cdots O=C в карбоксилатах тетраарилсурьмы, как правило, превышает 3 Å. Длина связи C=O ($1,271$ Å) существенно больше длины связи в карбонильной группе карбоновых кислот ($1,214$ – $1,229$ Å). Связь O–N ($1,370$ Å) попадает в интервал изменения подобных связей в окиматах тетраарилсурьмы ($1,365$ – $1,405$ Å) [20]. В кристалле молекулы объединены в димеры посредством водородных связей N–H \cdots O–N (параметры: расстояния N–H $0,86$ Å, H \cdots O $2,15$ Å, N \cdots O $2,802$ Å, угол N–H \cdots O 132°).

Известным O,N-бидентатным лигандом является 8-оксихинолин. В молекуле (8-оксихинолинато)тетраметилсурьмы Me₄Sb(Ox) (**XVII**) атом сурьмы имеет искаженную октаэдрическую координацию (рис. 7) [21].

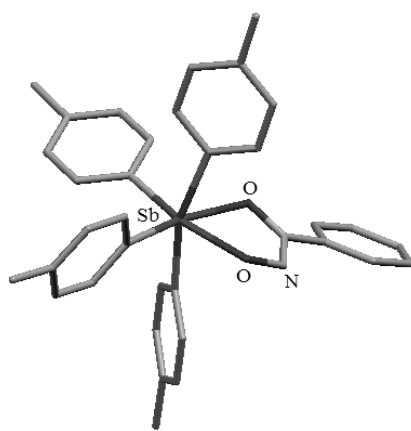


Рис. 6. Строение комплекса **XVI**



Рис. 7. Строение 8-оксихинолята тетраметилсурьмы (**XVII**)

Хелатирующий лиганд расположен в экваториальной плоскости. Аксиальный угол $C_{акс}SbC_{акс}$ равен $159,40^\circ$. Диагональные углы в экваториальной плоскости CSbN и CSbO равны соответст-

венно 162,26 и 166,34°. Сумма углов в экваториальной плоскости составляет 360°, при этом значения индивидуальных углов сильно отличаются от теоретической величины 90° ($C_{экв}SbC_{экв}$ 102,48; $C_{экв}SbO$ 91,08; $C_{экв}SbN$ 95,25; $NSbO$ 71,18°). Отклонения атомов сурьмы, углерода, азота и кислорода из экваториальной плоскости незначительны. Пятичленный металлоцикл [$SbONC_2$] имеет почти плоскостное строение. Аксиальные связи $Sb-C_{акс}$ (2,139 и 2,152 Å) имеют близкие значения, тогда как расстояния $Sb-C_{экв}$ (2,105, 2,152 Å) существенно различаются. Длина связи $Sb-O$ (2,186 Å) отличается от суммы ковалентных радиусов соответствующих атомов (2,07 Å [4]) в меньшей степени, чем расстояние $Sb-N$ (2,464 Å сравни с 2,11 Å [4]). В кристалле соединения **XVII** молекулы связаны между собой посредством слабой водородной связи ($C)H\cdots O$ (2,55 Å), где H – атом водорода, находящийся при *ортого*-атоме углерода по отношению к атому азота.

В молекуле 2-меркаптопиридин-N-оксид-O,S-тетрафенилсурьмы (**XVIII**) лиганд также присутствует хелатирующий лиганд, координирующийся на атом сурьмы атомами кислорода и серы [22]. Атом сурьмы имеет искаженное октаэдрическое окружение [C_4OS] (рис. 8).

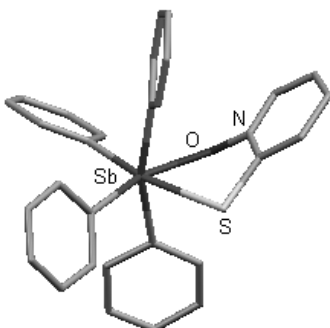


Рис. 8. Строение комплекса **XVIII**

Аксиальный угол $C_{акс}SbC_{акс}$ и диагональные углы в экваториальной плоскости $CSbO$ и $CSbS$ меньше 180° (162,89, 160,76, 167,26° соответственно). Атомы $C_{экв}$, Sb, O, S лежат примерно в одной плоскости. Углы $C_{экв}SbC_{экв}$ 103,30; $C_{экв}SbO$ 95,90; $C_{экв}SbS$ 89,34; $SSbO$ 71,53° в сумме составляют 360°. Пятичленный металлоцикл имеет перегиб по диагонали S–O, плоскости двух фрагментов [$OSbS$] и [$ONCS$] образуют угол 142°.

Значения связей $Sb-C_{акс}$ (2,175, 2,177 Å) больше связей $Sb-C_{экв}$ (2,128, 2,149 Å). Длина связи $Sb-O$ (2,215 Å) близка к аналогичной связи в молекулах соединений **X–XIII**, а связи $Sb-S$ (2,716 Å) – к такой же связи в молекулах **I–IV**. В кристалле соединения **XVIII** наблюдаются слабые межмолекулярные водородные связи ($C)H\cdots S$ (2,90 Å) и ($C)H\cdots O$ (2,52 Å).

Выводы

В комплексах сурьмы (V) общей формулы R_4SbL центральный атом имеет искаженную октаэдрическую координацию, а лиганд L проявляет, как правило, анизобидентатный характер связывания. Диалкилдитиофосфатные лиганды монодентатны, при этом невысокая прочность связывания с атомом сурьмы и приближение структуры фрагмента [C_4Sb] к тетраэдру позволяет говорить о наличии в кристаллах тесных ионных пар. Потенциальные бидентатные возможности дикарбоксилатных лигандов реализуются не всегда и определяются природой органического радикала, поскольку именно от него зависят донорные свойства атома кислорода карбонильной группы.

Литература

- Синтез и строение N,N-диметилдитиокарбаматов тетрафенилсурьмы и тетра-*n*-толилсурьмы / В.В. Шарутин, О.К. Шарутина, Т.П. Платонова и др. // Коорд. химия. – 2003. – Т. 29, № 1. – С. 13–17.
- Синтез и строение N,N-диэтилдитиокарбамата тетрафенилсурьмы / В.В. Шарутин, О.К. Шарутина, А.П. Пакусина и др. // Журн. общ. химии. – 2002. – Т. 72. – Вып. 9. – С. 1465–1467.

Органическая химия

3. Синтез, структурное и MAS ЯМР(^{13}C , ^{15}N) спектральное исследование комплексов тетрафенилсурьмы с N,N-диалкилдитиокарбаматными лигандами: проявление конформационной изомерии / А.В. Иванов, А.П. Пакусина, М.А. Иванов и др. // Докл. РАН. – 2005. – Т. 401, № 5. – С. 643–647.
4. Бацанов, С.С. Атомные радиусы элементов / С.С. Бацанов // Журн. неорган. химии. – 1991. – Т. 36. – Вып. 12. – С. 3015–3037.
5. Cras, J.A. Preparation, properties and X-ray structure of trimethylantimony (V) bis(N,N-dimethylthiocarbamate) / J.A. Cras, J. Willemse // Rec. trav. chem. – 1978. – Vol. 97, no. 1. – P. 28–29.
6. Гордон, А. Спутник химика / А. Гордон, Р. Форд. – М.: Мир. – 1976. – 542 с.
7. Preparation and structural organization of heteroleptic tetraphenylantimony(V) complexes comprising unidentately and bidentately coordinated O,O'-dialkyldithiophosphate group: Multinuclear (^{13}C , ^{31}P) CP/MAS NMR and singl-crystal X-ray diffraction studies / M.A Ivanov, O.N. Antzutkin, V.V. Sharutin et al. // Inorg. Chim. Acta. – 2007. – Vol. 360, no. 8. – P. 2897–2904.
8. Meinema, H.A. Preparation and properties of organo(acetylacetonato)antimony (V) compounds / H.A. Meinema, I.G. Noltes // J. Organomet. Chem. – 1969. – Vol. 16, no. 2. – P. 257–263.
9. The crystal and molecular structures of three acetylacetonatoorganoantimony (V) compounds [(acac) $\text{R}_n\text{SbX}_{4-n}$] / N. Kanehisa, K. Onuma, S. Uda et al. // Bull. Chem. Soc. Japan. – 1978. – Vol. 51, no. 8. – P. 2222–2233.
10. Kroon, J. The molecular structure of (acetylacetonato)dichlorodiphenylantimony in the crystalline state / J. Kroon, J.B. Hulscher, A.F. Peerdeman // J. Organomet. Chem. – 1972. – Vol. 37, no. 2. – P. 297–301.
11. Синтез и строение хлорацетилацетоната тетрафенилсурьмы / В.В. Шарутин, О.К. Шарутина, О.П. Задачина и др. // Журн. общ. химии. – 2000. – Т. 70. – Вып. 10. – С. 1672–1674.
12. Синтез и строение γ -алкилацетилацетонатов тетрафенилсурьмы / В.В. Шарутин, О.К. Шарутина, О.П. Задачина и др. // Коорд. химия. – 2003. – Т. 29, № 1. – С. 8–12.
13. Синтез и строение новой кристаллической модификации нитрата тетрафенилсурьмы / В.В. Шарутин, А.П. Пакусина, С.А. Смирнова и др. // Химия и компьютерное моделирование. Бутлеровские сообщения. – 2004. – № 5. – С. 34–35.
14. Синтез и строение фенил- и тиобутилацетонатов тетрафенилсурьмы / В.В. Шарутин, А.П. Пакусина, И.В. Егорова и др. // Коорд. химия. – 2008. – Т. 34, № 4. – С. 267–271.
15. Особенности строения арильных соединений сурьмы Ar_4SbX ($\text{X} \neq \text{Alk, Ar}$) / В.В. Шарутин, А.П. Пакусина, О.К. Шарутина и др. // Химия и компьютерное моделирование. Бутлеровские сообщения. – 2003. – № 1. – С. 22–30.
16. Synthesis, characterization and *in vitro* antitumor activity of some arylantimony ferrocenecarboxylates and crystal structures of $\text{C}_5\text{H}_5\text{FeC}_5\text{H}_4\text{CO}_2\text{SbPh}_4$ and $(\text{C}_5\text{H}_5\text{FeC}_5\text{H}_4\text{CO}_2)_2\text{Sb}(4\text{-CH}_3\text{C}_6\text{H}_4)_3$ / R.-C. Liu, Y.-Q. Ma, L. Yu et al. // Appl. Organomet. Chem. – 2003. – Vol. 17, no. 9. – P. 662–668.
17. Synthesis, characterization and structure of some arylantimony ferrocenylacrylates / J.-S. Li, R.-C. Liu, X.-B. Chi et al. // Inorg. Chim. Acta. – 2004. – Vol. 357, no. 8. – P. 2176–2180.
18. Tables of bond lengths determined by X-ray and neutron diffraction. Part. 1. Bond lengths in organic compounds / F.H. Allen, O. Kennard, D.G. Watson et al. // J. Chem. Soc., Perkin Trans. II. – 1987. – No. 12. – Pt. 2. – P. S1–S19.
19. Synthesis, crystal structure and *in vitro* antitumor activities of some organoantimony arylhydroxanates / G.-C. Wang, Y.-N. Lu, J. Xiao et al. // J. Organomet. Chem. – 2005. – Vol. 690, no. 1. – P. 151–156.
20. Оксиматы тетра- и триарилсурьмы. Синтез и строение / О.В. Молокова, В.В. Шарутин, О.К. Шарутина и др. // Химия и компьютерное моделирование. Бутлеровские сообщения. – 2004. – Т. 5, № 3. – С. 28–33.
21. Schmidbaur, H. Synthese, Struktur und Sb-Mossbauer-Spektren kovalenter und Tetraorgano-antimon(V) Verbindungen / H. Schmidbaur, B. Milewski-Mahra, F.E. Wagner // Z. Naturforsch. – 1983. – Bd. 38B. – S. 1477–1483.
22. Synthesis of two tetraphenylantimony complexes of pyridine N-oxides: crystal structure of tetraphenylantimony(2-mercaptop-pyridine N-oxide) / G.M. Arvanitis, M.E. Berardini, T.B. Acton et al. // Phosphorus, Sulfur, Silicon Relat. Elem. – 1993. – Vol. 82. – P. 127–135.

Шарутин Владимир Викторович – доктор химических наук, профессор, кафедра органической химии, Южно-Уральский государственный университет. 454080, г. Челябинск, пр. им. В.И. Ленина, 76. E-mail: vvsharutin@rambler.ru

Шарутина Ольга Константиновна – доктор химических наук, профессор, кафедра органической химии, Южно-Уральский государственный университет. 454080, г. Челябинск, пр. им. В.И. Ленина, 76. E-mail: sharutinao@mail.ru

Bulletin of the South Ural State University
Series “Chemistry”
2013, vol. 5, no. 2, pp. 4–14

STRUCTURE OF ORGANOANTIMONY COMPOUNDS **R₄SbL (R = ALK, AR; L – BIDENTATE LIGAND) (REVIEW)**

V.V. Sharutin, South Ural State University, Chelyabinsk, Russian Federation, vvsharutin@rambler.ru,
O.K. Sharutina, South Ural State University, Chelyabinsk, Russian Federation, sharutinao@mail.ru

The geometric parameters and characteristics of the molecular structure of organic derivatives of antimony (V) have been analyzed; their general formula is R₄SbL (R = Alk, Ar; L = S,S'-, O,O'-, O,N-, O,S-bidentate ligand), the antimony atom has octahedral coordination and ligands are usually anisobidentate character. The asymmetry of the ligand coordination depends on the nature of the ligand.

Keywords: organic complexes of antimony, bidentate ligands, octahedral coordination.

References

- Sharutin V.V., Sharutina O.K., Platonova T.P., Pakusina A.P., Gerasimenko A.V., Gerasimenko E.A., Bukveckij B.I., Popov D.U. Synthesis and Structure of N,N-Dimethylthiocarbamate Tetraphenylantimony and Tetra-p-tolytantimony [Sintez i stroenie N,N-dimetilditiokarbamatov tetrafenilsur'my i tetrap-tolilsur'my]. *Koord. Himija [Russian Journal of Coordination Chemistry]*, 2003, vol. 29, no. 1, pp. 13–17.
- Sharutin V.V., Sharutina O.K., Pakusina A.P., Platonova T.P., Krivolapov D.B., Gubajdullin A.T., Litvinov I.A. Synthesis and Structure of N,N-Diethyldithiocarbamate Tetraphenylantimony [Sintez i stroenie N,N-dijetilditiokarbamata tetrafenilsur'my]. *Zhurn. Obshh. Himii [Russian Journal of General Chemistry]*, 2002, vol. 72, no. 9, pp. 1465–1467.
- Ivanov A.V., Pakusina A.P., Ivanov M.A., Sharutin V.V., Gerasimenko A.V., Antzutkin O.N., Grebner G., Forsling V. Synthesis, Structural and MAS NMR (¹³C, ¹⁵N) Spectral Studies of Complexes with Tetraphenylantimony N, N-Dialkilditiokarbamatnymi Ligands Manifestation of Conformational Isomerism [Sintez, strukturnoe i MAS JaMR(¹³C, ¹⁵N) spektral'noe issledovanie kompleksov tetrafenilsur'my s N,N-dialkilditiokarbamatnymi ligandami: proyavlenie konformacionnoj izomerii]. *Dokl. RAN*, 2005, vol. 401, no. 5, pp. 643–647.
- Bacanov S.S. Atomic Radii of the Elements [Atomnye radiusy jelementov]. *Zhurn. Neorgan. Himii [Russian Journal of Inorganic Chemistry]*, 1991, vol. 36, no. 12, pp. 3015–3037.
- Cras J.A., Willemse J. Preparation, Properties and X-ray Structure of Trimethylantimony (V) bis(N,N-dimethylthiocarbamate). *Rec. trav. chem.*, 1978, vol. 97, no. 1, pp. 28–29.
- Gordon A., Ford R. *Sputnik himika* [Satellite Chemist]. Moscow, Mir, 1976, 542 p.
- Ivanov M.A, Antzutkin O.N., Sharutin V.V., Ivanov A.V., Pakusina A.P., Pushilin M.A., Forsling W. Preparation and Structural Organization of Heteroleptic Tetraphenylantimony(V) Complexes Comprising Unidentately and Bidentately Coordinated O,O'-dialkyldithiophosphate Group: Multinuclear (¹³C, ³¹P) CP/MAS NMR and Singl-crystal X-ray Diffraction Studies. *Inorg. Chim. Acta*, 2007, vol. 360, no. 8, pp. 2897–2904.

Органическая химия

8. Meinema H.A., Noltes J.G. Preparation and Properties of Organo(acetylacetonato)antimony (V) Compounds. *J. Organomet. Chem.*, 1969, vol. 16, no. 2, pp. 257–263.
9. Kanehisa N., Onuma K., Uda S., Hirabayashi K., Kai Y., Yasuoka N., Kasai N. The Crystal and Molecular Structures of three Acetylacetonatoorganoantimony (V) Compounds [(acac)RnSbX_{4-n}]. *Bull. Chem. Soc. Japan*, 1978, vol. 51, no. 8, pp. 2222–2233.
10. Kroon J., Hulscher J.B., Peerdeman A.F. The Molecular Structure of (Acetylacetona-to)dichlorodiphenylantimony in the Crystalline State. *J. Organomet. Chem.*, 1972, vol. 37, no. 2, pp. 297–301.
11. Sharutin V.V., Sharutina O.K., Zadachina O.P., Zaharova A.N., Reutov V.A., Shapkin N.P., Bel'skij V.K. Synthesis and Structure Chloroacetylacetone Tetraphenylantimony [Sintez i stroenie hloracetilacetonata tetrafenilsur'my]. *Zhurn. Obshh. Himii [Russian Journal of General Chemistry]*, 2000, vol. 70, no. 10, pp. 1672–1674.
12. Sharutin V.V., Sharutina O.K., Zadachina O.P., Litvinova S.A., Reutov V.A., Gerasimenko A.V., Gerasimenko E.A., Bukveckij B.I., Popov D.U. Synthesis and Structure of γ -Alkylacetylacetone Tetraphenylantimony [Sintez i stroenie γ -alkilacetilacetonatov tetrafenilsur'my]. *Koord. Himija [Russian Journal of Coordination Chemistry]*, 2003, vol. 29, no. 1, pp. 8–12.
13. Sharutin V.V., Pakusina A.P., Smirnova S.A., Pushilin M.A. Synthesis and Structure of a New Crystalline Modification of Nitrate Tetraphenylantimony [Sintez i stroenie novoj kristallicheskoy modifikacii nitrata tetrafenilsur'my]. *Butlerovskie soobshchenija [Butlerov communications]*, 2004, no. 5, pp. 34–35.
14. Sharutin V.V., Pakusina A.P., Egorova I.V., Sharutina O.K., Fukin G.K. Synthesis and Structure of Phenyl- and Tiobutylacetylacetones Tetraphenylantimony [Sintez i stroenie fenil- i tiobutilacetilacetonatov tetrafenilsur'my]. *Koord. Himija [Russian Journal of Coordination Chemistry]*, 2008, vol. 34, no. 4, pp. 267–271.
15. Sharutin V.V., Pakusina A.P., Sharutina O.K., Platonova T.P., Smirnova S.A., Gerasimenko A.V., Pushilin M.A. Features of the Structure of Antimony Arylcompounds Ar₄SbX (X ≠ Alk, Ar) [Osobennosti stroenija aril'nyhsoedinenij sur'my Ar₄SbX (X ≠ Alk, Ar)]. *Butlerovskie soobshchenija [Butlerov communications]*, 2003, no. 1, pp. 22–30.
16. Liu R.-C., Ma Y.-Q., Yu L. et al. Synthesis, Characterization and in Vitro Antitumor Activity of Some Arylantimony Ferrocenecarboxylates and Crystal Ctructures of C₅H₅FeC₅H₄CO₂SbPh₄ and (C₅H₅FeC₅H₄CO₂)₂Sb(4-CH₃C₆H₄)₃. *Appl. Organomet. Chem.*, 2003, vol. 17, no. 9, pp. 662–668.
17. Li J.-S., Liu R.-C., Chi X.-B. et al. Synthesis, Characterization and Structure of Some Arylantimony Ferrocenylacrylates. *Inorg. Chim. Acta*, 2004, vol. 357, no. 8, pp. 2176–2180.
18. Allen F.H., Kennard O., Watson D.G., Brammer L., Orpen A.G., Taylor R. Tables of Bond Lengths Determined by X-ray and Neutron Diffraction. Part. 1. Bond Lengths in Organic Compounds. *J. Chem. Soc., Perkin Trans. II*, 1987, no. 12, pt. 2, pp. S1–S19.
19. Wang G.-C., Lu Y.-N., Xiao J., Yu L., Song H.-B., Li J.-S., Cui J.-R., Wang R.-Q., Ran F.-X. Synthesis, Crystal structure and in Vitro Antitumor Activities of Some Organoantimony Arylhydrox-anates. *J. Organomet. Chem.*, 2005, vol. 690, no. 1, pp. 151–156.
20. Molokova O.V., Sharutin V.V., Sharutina O.K., Aljab'eva E.A., Kuharev U.A. Oximates Tetra- and Triarilsurmy [Oksimaty tetra- i triarilsur'my. Sintez i stroenie]. *Butlerovskie soobshchenija [Butlerov communications]*, 2004, vol. 5, no. 3, pp. 28–33.
21. Schmidbaur H., Milewski-Mahra B., Wagner F.E. Synthese, Struktur und Sb-Mossbauer-Spekturen kovalenter und Tetraorganoantimon(V) Verbindungen. *Z. Naturforsch.*, 1983, vol. 38B, pp. 1477–1483.
22. Arvanitis G.M., Berardini M.E., Acton T.B., Dumas P.E. Synthesis of two Tetraphenylantimony Complexes of Pyridine N-oxides: Crystal Structure of Tetraphenylantimony(2-mercaptop-pyridine N-oxide). *Phosphorus, Sulfur, Silicon Relat. Elem.*, 1993, vol. 82, pp. 127–135.

Поступила в редакцию 20 января 2013 г.

Физическая химия

УДК 544.3.01+544.32

РАЗРАБОТКА МЕТОДИКИ ПОЛУЧЕНИЯ СПЛАВЛЕННОЙ КЕРАМИКИ НА ОСНОВЕ Cu_2O

О.В. Самойлова, В.И. Гераскин, Г.Г. Михайлов, Е.А. Трофимов

Разработана методика сплавления оксидных шлаковых систем на основе Cu_2O . Собрана экспериментальная установка. Получены данные по расположению точки эвтектики в системе $\text{Cu}_2\text{O}-\text{SiO}_2$.

Ключевые слова: оксидные шлаковые системы на основе Cu_2O , эвтектика в системе $\text{Cu}_2\text{O}-\text{SiO}_2$.

Введение

Данные по диаграммам состояния для систем на основе Cu_2O весьма отрывочны и в литературе встречаются редко. В то же время исследования оксидных шлаковых систем, опирающихся на Cu_2O , необходимы для понимания процессов, происходящих при огневом рафинировании меди и производстве сплавов на ее основе. В связи с этим, экспериментальное построение фазовых диаграмм для систем, включающих оксид меди, является одной из ключевых задач физико-химических исследований в цветной металлургии.

Для построения фазовых диаграмм состояния традиционно используются методы термического анализа [1]. Однако для исследования на термоанализаторе необходимо иметь образец сплавленной керамики, получение которого составляет основную трудность для изучения шлаковых систем с оксидом меди.

Задачей данной работы стала разработка методики получения сплавленной керамики на основе Cu_2O . В качестве опытной системы была выбрана система $\text{Cu}_2\text{O}-\text{SiO}_2$ как базовая для дальнейших исследований.

В отличие от многих других бинарных систем на основе Cu_2O для системы $\text{Cu}_2\text{O}-\text{SiO}_2$ имеются некоторые литературные данные. Согласно А.С. Бережному и Л.И. Калякину [2], диаграмма состояния системы $\text{Cu}_2\text{O}-\text{SiO}_2$ в области температур ниже 1200 °C имеет одну точку эвтектики с координатами 8 мас. % SiO_2 , 1060 °C; при более высоких температурах и больших концентрациях SiO_2 имеет место купол расслаивания оксидного расплава. Ранее [3, 4] нами было осуществлено термодинамическое моделирование этой системы, исходя из справочных термодинамических данных для оксидов. Согласно его результатам точка эвтектики в системе $\text{Cu}_2\text{O}-\text{SiO}_2$ должна иметь координаты 11,05 мас. % SiO_2 , 1060 °C, и в целом линии ликвидус имеют несколько более крутой угол наклона, чем линии диаграммы состояния [2]. На возможность более высокого содержания диоксида кремния в эвтектике бинарной системы указывают А. Гадалла и др. [5]. При этом они отмечают, что возможно и температура эвтектики должна быть выше, чем 1060 °C. У. Кухманн и К. Кюрре измеряли содержание оксида кремния в существующих оксидном и металлическом расплавах при их насыщении кремнеземом [6]. Согласно полученным данным точка эвтектики соответствует 10,5 мас. % SiO_2 при температуре 1186 °C. Группа авторов под руководством Б. Сикоры изучали интервал 0–15 мас. % SiO_2 [7]. Исследование проводилось с использованием высокотемпературного микроскопа в атмосфере воздуха. Согласно данным, представленным в [7], точка эвтектики лежит в интервале 7–8 мас. % SiO_2 при температуре 1035 °C.

Таким образом, для системы $\text{Cu}_2\text{O}-\text{SiO}_2$ литературные данные разнятся между собой. Вследствие чего возникает необходимость уточнения координат линий ликвидус данной системы.

Физическая химия

Методика исследования

Согласно « $p - T$ »-диаграмме [8] для системы Cu–O оксид меди Cu_2O на воздухе может окисляться до оксида CuO , а при малых парциальных давлениях кислорода может диссоциировать на медь и кислород. Это создает определенные трудности для синтеза образцов, относящихся к истинно бинарной системе на основе Cu_2O . Как в случае окисления, так и в случае диссоциации Cu_2O в процессе термического анализа на термоаналитической кривой ДТА могут появиться пики, не связанные с плавлением Cu_2O и SiO_2 . Во избежание подобной ситуации для синтеза керамических образцов было предложено изготавливать капсулы из платиновой фольги. После размещения образцов капсулы должны завариваться. В табл. 1 приведены равновесные парциальные давления над оксидами системы $\text{Cu}_2\text{O}-\text{CuO}-\text{SiO}_2$ по данным справочника [9].

Таблица 1

**Равновесные парциальные давления над оксидами
системы $\text{Cu}_2\text{O}-\text{CuO}-\text{SiO}_2$ [9]**

| $\text{SiO}_{2(\text{r})} = \text{SiO}_{(\text{r})} + 0,5 \text{ O}_{2(\text{r})}$ | | | |
|---|-----------------------|-----------------------|-----------------------|
| $T, \text{ К}$ | 1273 | 1373 | 1473 |
| $P_{\text{общ}}, \text{ атм}$ | $1,3 \cdot 10^{-8}$ | $5,6 \cdot 10^{-8}$ | $1,1 \cdot 10^{-7}$ |
| $2\text{CuO}_{(\text{r})} = \text{Cu}_2\text{O}_{(\text{r})} + 0,5\text{O}_{2(\text{r})}$ | | | |
| $T, \text{ К}$ | 973 | 1188 | 1273 |
| $P(\text{O}_2), \text{ атм}$ | $5,132 \cdot 10^{-3}$ | 0,022 | 0,136 |
| $\text{Cu}_2\text{O}_{(\text{r})} = 2\text{Cu}_{(\text{r})} + 0,5\text{O}_{2(\text{r})}$ | | | |
| $T, \text{ К}$ | 1220 | 1300 | 1350 |
| $P(\text{O}_2), \text{ атм}$ | $0,214 \cdot 10^{-6}$ | $1,317 \cdot 10^{-6}$ | $3,217 \cdot 10^{-6}$ |
| | | | $9,973 \cdot 10^{-5}$ |

Состав образцов для проведения запланированных экспериментов приведен в табл. 2. Общая запланированная масса каждого состава должна была составить 10 грамм. Использовались порошки Cu_2O и SiO_2 чистотой «ос. ч.». Смеси порошков растирались в агатовой ступке в течение 10–15 мин для наиболее полной гомогенизации. Далее из полученных смесей на ручном прессе изготавливались таблетки диаметром 5 мм.

Таблица 2

**Составы образцов системы $\text{Cu}_2\text{O}-\text{SiO}_2$
для проведения экспериментальных исследований**

| № п/п | Мас. % Cu_2O | Мас. % SiO_2 | Мас. % SiO_2 (хим.) |
|-------|------------------------------|-----------------------|------------------------------|
| 1 | 92 | 8 | $8,2 \pm 0,7$ |
| 2 | 90 | 10 | $10,3 \pm 0,8$ |
| 3 | 88,5 | 11,5 | $12,0 \pm 1,0$ |

Для сплавления образцов была спроектирована и собрана экспериментальная установка, схема которой приведена на рис. 1.

Из платиновой фольги изготавливались капсулы. Далее в капсулы помещались образцы определенного состава в виде спрессованных из порошков таблеток (массой около 1,5 г) и капсулы заваривались. Капсулы с образцами устанавливали в корундовую лодочку, которую помещали в экспериментальную установку вне зоны печи. В установку подавали аргон. Печь нагревали до температуры 1200 °C, лодочку с образцами вводили в «горячую зону» печи и выдерживали в атмосфере аргона в течение 40 мин. Далее лодочку с капсулами вынимали из «горячей зоны» (закалка) и охлаждали до комнатной температуры в течение получаса в атмосфере аргона. Капсулы разрезались, полученные образцы сплавленной керамики исследовались с использованием растровой электронной микроскопии и микрорентгеноспектрального анализа, а также с использованием рентгенофазового анализа. Электронно-микроскопическое исследование и количественный рентгеноспектральный микроанализ были выполнены на растровом электронном микроскопе JEOL JSM-6460LV, оснащенном спектрометром энергетической дисперсии фирмы «Oxford Instruments». Рентгенофазовый анализ проводился на многофункциональном порошковом дифрактометре D8 ADVANCE фирмы «Bruker». Используемое излучение – Cu K_α .

Для контроля состава полученных образцов после их выплавки проводили химический анализ проб на общее содержание SiO_2 . Навеску образца растворяли в смеси азотной и плавиковой

кислот. Содержание диоксида кремния определяли при помощи атомно-эмиссионного спектрометра с индуктивно-связанной плазмой OPTIMA 2100 DV (Perkin Elmer, США). Результаты приведены в табл. 2 (мас. % SiO₂ (хим.)). Для построения градуировочного графика использовали серию стандартных растворов с известной концентрацией кремния.

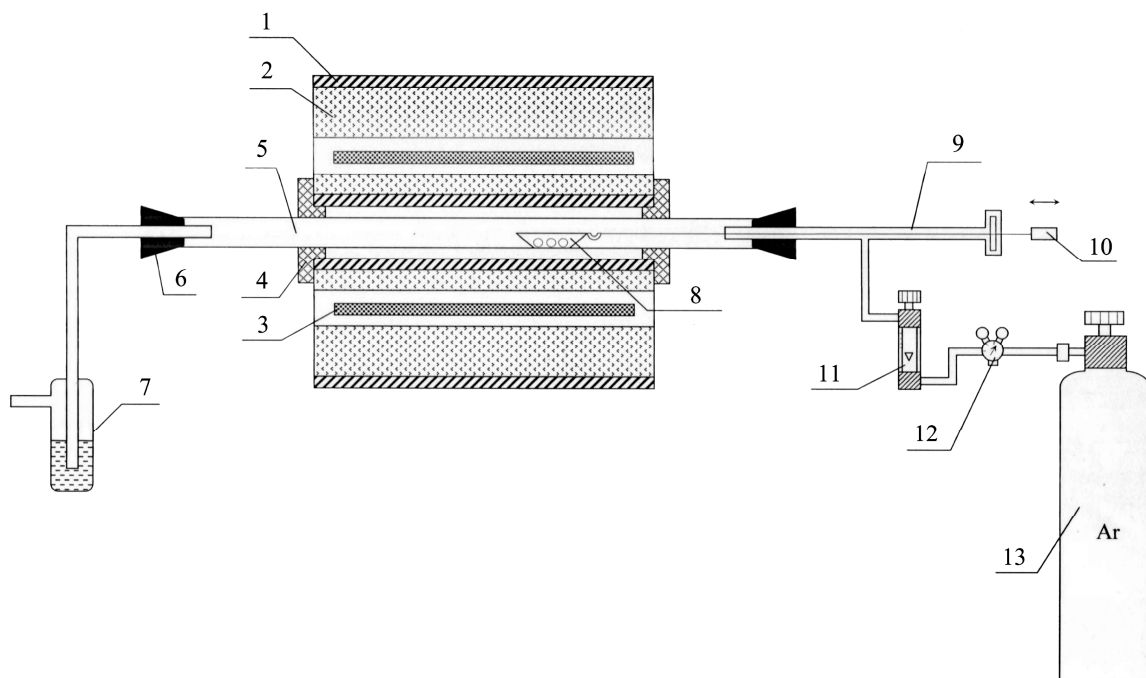


Рис. 1. Схема экспериментальной установки: 1 – металлический корпус печи; 2 – теплоизоляция; 3 – нагреватели из SiC; 4 – теплоизолирующие пробки из пеношамота; 5 – кварцевая трубка в реактивной зоне печи; 6 – пробки; 7 – затвор; 8 – корундовая лодочка с образцами; 9 – кварцевая трубка; 10 – подвижный толкатель; 11 – ротаметр; 12 – редуктор; 13 – баллон с аргоном

Обсуждение результатов

На рис. 2 приведены микрофотографии экспериментальных образцов после сплавления в платиновых тиглях в атмосфере воздуха и в атмосфере аргона. В первом случае (рис. 2, а) отмечено образование кристаллов CuO, во втором случае (рис. 2, б) встречались включения, по составу соответствующие чистой меди. Результаты подтверждают выводы по диаграмме стабильности для оксида меди Cu₂O. Образцы, полученные методами открытого спекания, не могут быть использованы для термического анализа.

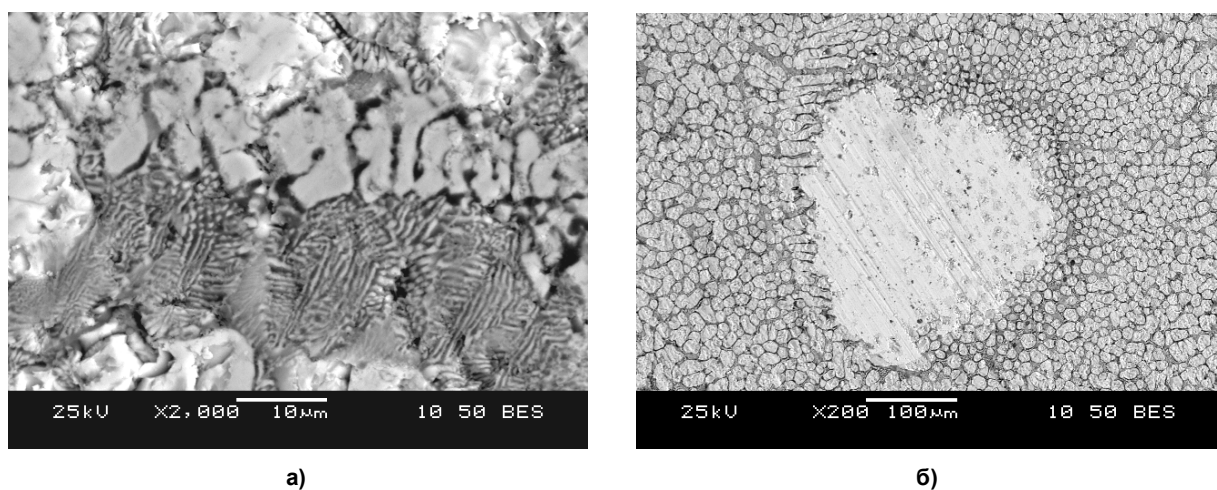


Рис. 2. Микрофотографии поперечного среза образцов после сплавления в платиновых тиглях:
а – в атмосфере воздуха; б – в атмосфере аргона

Физическая химия

На рис. 3 приведены микрофотографии образцов, полученных в экспериментальной установке. Для образцов с содержаниями SiO_2 8 и 10 мас. % характерны структурные элементы двух разновидностей: крупные образования и явная эвтектическая составляющая между ними. Причем в образце с 10 мас. % SiO_2 эвтектической составляющей больше, чем в образце с 8 мас. %. Состав крупных структурных элементов приведен в табл. 3. По соотношению атомных концентраций, входящих в их состав элементов, можно сделать вывод, что они состоят из Cu_2O . Структура образца, содержащего 11,5 мас. % SiO_2 , может быть оценена как эвтектическая.

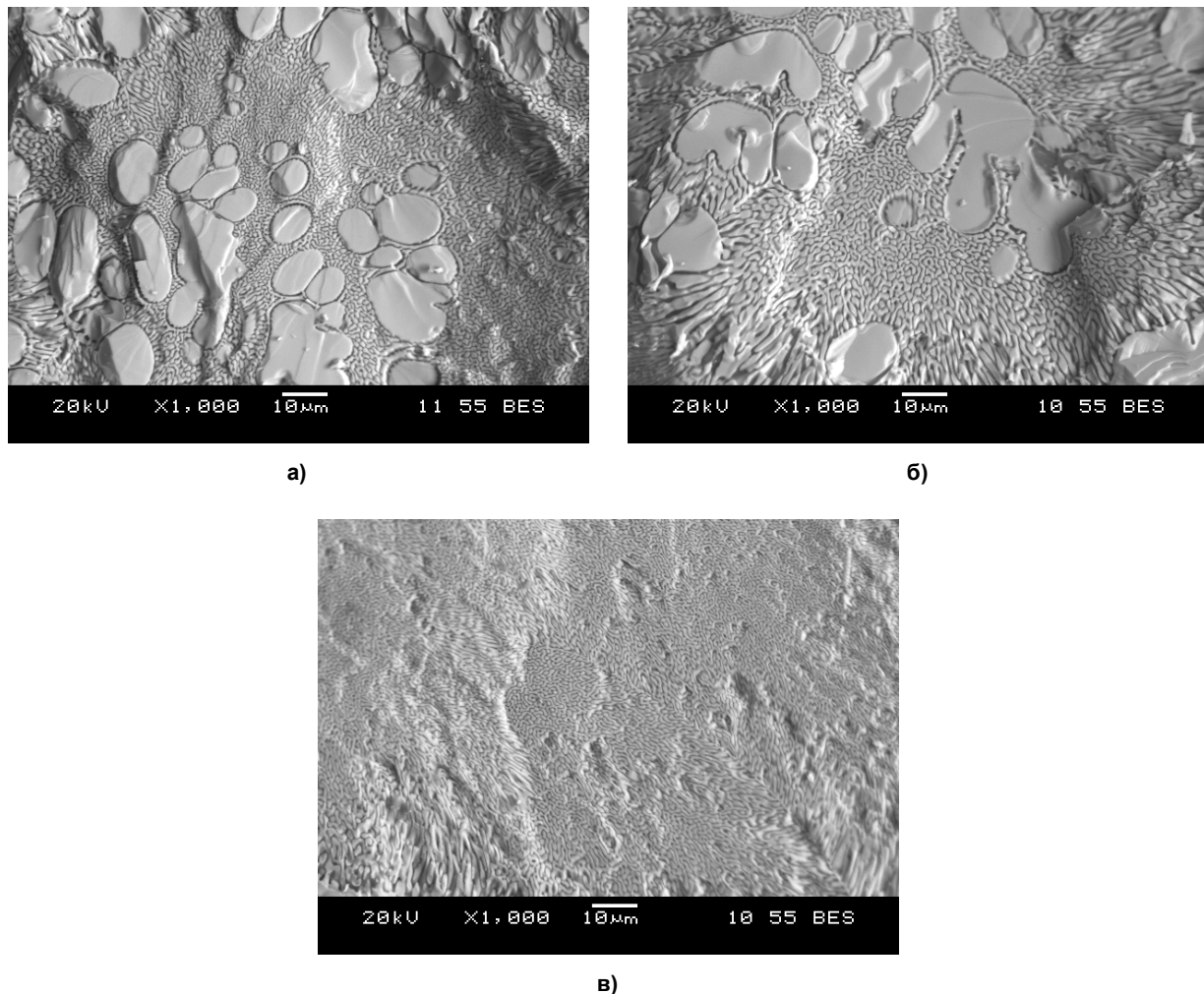


Рис. 3. Микрофотографии образцов следующих составов: а – 92 мас. % Cu_2O и 8 мас. % SiO_2 ; б – 90 мас. % Cu_2O и 10 мас. % SiO_2 ; в – 88,5 мас. % Cu_2O и 11,5 мас. % SiO_2

Таблица 3
Состав крупных гомогенных образований в образцах, выплавленных на установке,
по данным микрорентгеноспектрального анализа

| Наименование образца | Концентрация элемента, ед. изм. | O | Cu |
|--|---------------------------------|-------|-------|
| Образец № 1 (8 мас. % SiO_2) | мас. % | 11,98 | 88,02 |
| | ат. % | 35,09 | 64,91 |
| Образец № 2 (10 мас. % SiO_2) | мас. % | 9,97 | 90,03 |
| | ат. % | 30,55 | 69,45 |

Был проведен рентгенофазовый анализ как образцов, сплавление которых проводили на воздухе, так и образцов, сплавление которых проводили в экспериментальной установке. Программное обеспечение дифрактометра позволило оценить количественно содержание CuO в образцах.

При сплавлении образцов на воздухе содержание CuO составило $\sim 26,7 \%$, при сплавлении по предложенной методике содержание CuO не превышало $5,5 \%$. На полученных рентгенограммах пиков, соответствующих меди, не обнаружено. Таким образом, сплавление в установке по предложенной методике позволяет минимизировать содержание примесей в бинарной системе $\text{Cu}_2\text{O}-\text{SiO}_2$.

Заключение

Разработана методика для сплавления керамики на основе Cu_2O . Разработана и собрана экспериментальная установка. Адекватность предложенной методики проверена на образцах системы $\text{Cu}_2\text{O}-\text{SiO}_2$. Результаты исследования позволяют предположить, что точка эвтектического превращения в системе $\text{Cu}_2\text{O}-\text{SiO}_2$ имеет состав 11,5 мас. % SiO_2 .

Работа выполнена при финансовой поддержке РФФИ, грант № 12-08-31055 мол_а.

Литература

1. Шестак, Я. Теория термического анализа: Физико-химические свойства твердых неорганических веществ / Я. Шестак. – М.: Мир, 1987. – 456 с.
2. Бережной, А.С. Системы $\text{Cu}_2\text{O}-\text{SiO}_2$ и $\text{CuO}-\text{SiO}_2$ / А.С. Бережной, Л.И. Карякин // Цветные металлы. – 1955. – № 2. – С. 26–33.
3. Совершенствование параметрической базы, необходимой для термодинамического моделирования огневого рафинирования меди / Г.Г. Михайлов, О.В. Самойлова, Е.А. Трофимов, Л.А. Макровец // Вестник ЮУрГУ. Серия «Металлургия». – 2010. – Вып. 15. – № 34 (210). – С. 35–38.
4. Термодинамический анализ системы $\text{Cu}-\text{Si}-\text{Ni}-\text{O}$ / О.В. Самойлова, Л.А. Макровец, Г.Г. Михайлов, Е.А. Трофимов // Известия вузов. Цветная металлургия. – 2012. – № 3. – С. 12–16.
5. Gadalla, A.M.M. Equilibrium relationships in the system $\text{CuO}-\text{Cu}_2\text{O}-\text{SiO}_2$ / A.M.M. Gadalla, W.F. Ford, J. White // Transactions of British ceramic society. – 1963. – Vol. 62, no. 1. – P. 45–66.
6. Kuxmann, U. Die Mischungslücke im System Kupfer-Sauerstoff und ihre Beeinflussung durch die Oxide CaO , SiO_2 , Al_2O_3 , $\text{MgO}\cdot\text{Al}_2\text{O}_3$ und ZrO_2 / U. Kuxmann, K. Kurre // Erzmetall. – 1968. – Vol. XXI. – P. 199–209.
7. Sikora, B. Temperatury topnienia ukladu $\text{Cu}_2\text{O}-\text{SiO}_2$ w zakresie do 15 % SiO_2 / B. Sikora, L. Blacha, B. Kowal // Rudy metale. – 1984. – Vol. 29. – P. 490–492.
8. Морачевский, А.Г. Термодинамика системы медь–кислород / А.Г. Морачевский, Л.Ш. Цемехман, Л.Б. Цымбулов. – СПб.: Изд-во Политехн. ун-та, 2009. – 148 с.
9. Казенас, Е.К. Испарение оксидов / Е.К. Казенас, Ю.В. Цветков. – М.: Наука, 1997. – 543 с.

Самойлова Ольга Владимировна – инженер, кафедра физической химии, Южно-Уральский государственный университет. 454080, г. Челябинск, пр. им. В.И. Ленина, 76. E-mail: samoylova_o@mail.ru

Гераскин Владимир Иванович – ведущий инженер-электроник, кафедра физической химии, Южно-Уральский государственный университет. 454080, г. Челябинск, пр. им. В.И. Ленина, 76. E-mail: samoylova_o@mail.ru

Михайлов Геннадий Георгиевич – доктор технических наук, профессор, заведующий кафедрой физической химии, Южно-Уральский государственный университет. 454080, г. Челябинск, пр. им. В.И. Ленина, 76. E-mail: samoylova_o@mail.ru

Трофимов Евгений Алексеевич – кандидат химических наук, доцент, кафедра общей металлургии, Южно-Уральский государственный университет, филиал в г. Златоуст. 456209, Челябинская обл., г. Златоуст., ул. Тургенева, 16. E-mail: tea7510@gmail.com

**ELABORATION OF A METHOD
TO OBTAIN Cu₂O-BASED ALLOY CERAMICS**

O.V. Samoylova, South Ural State University, Chelyabinsk, Russian Federation, samoylova_o@mail.ru,
V.I. Geraskin, South Ural State University, Chelyabinsk, Russian Federation, samoylova_o@mail.ru,
G.G. Mikhailov, South Ural State University, Chelyabinsk, Russian Federation, samoylova_o@mail.ru,
E.A. Trofimov, South Ural State University, Zlatoust Branch, Zlatoust, Chelyabinsk region, Russian Federation, tea7510@gmail.com

The paper describes a method of obtaining alloy ceramics by melting Cu₂O-based oxide slag systems and an experimental plant realizing this method. The position of eutectic point in the Cu₂O–SiO₂ system is also determined.

Keywords: Cu₂O-based oxide slag systems, eutectic point in the Cu₂O–SiO₂ system.

References

1. Shestak YA. *Teoriya termicheskogo analiza: Fiziko-khimicheskie svoystva tverdykh neorganicheskikh veshchestv* [Theory of Thermal Analysis: Physical-chemical Properties of Solid Inorganic Substances]. Moscow, Mir, 1987. 456 p.
2. Berezhnoy A.S., Karyakin L.I. Cu₂O–SiO₂ and CuO–SiO₂ Systems [Sistemy Cu₂O–SiO₂ i CuO–SiO₂]. *Tsvetnye metally*, 1955, no. 2, pp. 26–33.
3. Mikhailov G.G., Samoylova O.V., Trofimov E.A., Makrovets L.A. Adjustment of Thermodynamical Parameter Base for Modeling Copper Melt Fire Refining [Sovershenstvovanie parametricheskoy basy, neobkhodimoy dlya termodinamicheskogo modelirovaniya ognevogo rafinirovaniya med']. *Vestnik YUUrGU. Seriya "Metallurgiya"* [Bulletin of the South Ural State University. Series "Metallurgy"], 2010, vol. 15, no. 34 (210), pp. 35–38.
4. Samoilova O.V., Makrovets L.A., Mikhailov G.G., Trofimov E.A. Thermodynamic Analysis of the Cu–Si–Ni–O System. *Russian Journal of Non-Ferrous Metals*, 2012, vol. 53, no. 3, pp. 223–228.
5. Gadalla A.M.M., Ford W.F., White J. Equilibrium relationships in the system CuO–Cu₂O–SiO₂. *Transactions of British ceramic society*, 1963, vol. 62, no. 1, pp. 45–66.
6. Kuxmann U., Kurre K. Die Mischungslücke im system kupfer-sauerstoff und ihre beeinflussung durch die oxide CaO, SiO₂, Al₂O₃, MgO·Al₂O₃ und ZrO₂. *Erzmetall.*, 1968, vol. XXI, pp. 199–209.
7. Sikora B., Blacha L., Kowal B. Temperatury topnienia ukladu Cu₂O–SiO₂ w zakresie do 15 % SiO₂. *Rudy metale*, 1984, vol. 29, pp. 490–492.
8. Morachevskiy A.G., Tsemekhman L.SH., Tsymbulov L.B. *Termodinamika sistemy med'-kislorod* [Thermodynamics of the Copper-Oxygen System]. Saint-Petersburg, Saint-Petersburgii Politech. Univ., 2009. 148 p.
9. Kazenas E.K., Tsvetkov YU.V. *Isparenie oksidov* [Evaporation of Oxides]. Moscow, Nauka, 1997. 543 p.

Поступила в редакцию 11 марта 2013 г.

ЭНТАЛЬПИЯ ЭЛЕКТРОМАГНИТНОГО ВЗАИМОДЕЙСТВИЯ, ПОТЕНЦИАЛ ИОНИЗАЦИИ И ЭНТАЛЬПИЯ ОБРАЗОВАНИЯ КАТИОНА

О.Н. Груба, Н.В. Германюк, А.Г. Рябухин

Доказана возможность применения модели энталпии кристаллической решетки для адекватного расчета энталпии образования $\Delta H^\circ(Me^{z+}, g)$ и потенциала ионизации с использованием радиуса катиона. Предложено деление групп Периодической таблицы Д.И. Менделеева в соответствии с электронным строением простых катионов и анионов.

Ключевые слова: катион, энталпия образования, газ, потенциал ионизации, радиус катиона.

Любое взаимодействие на атомно-молекулярном уровне включает в себя электромагнитное взаимодействие. Это связано с дуализмом электрона, обладающего вещественными и волновыми свойствами. В результате начала движения заряда (по тем или иным причинам, в тех или иных направлениях, линейным или другим траекториям) сопровождается индуцированием электромагнитного поля.

Рассмотрим два различных подхода к расчету электромагнитного взаимодействия.

В расчетах термические характеристики выражены в $\text{кДж}\cdot\text{моль}^{-1}$, линейные – в ангстремах (10^{-8} см).

Вариант 1

В 1911 году Эрнест Резерфорд создал планетарную модель атома на примере атома водорода (положительно заряженное ядро и вращающийся вокруг него отрицательно заряженный электрон). Индивидуальный атом водорода находится в вакууме. Притяжение ядро – электрон осуществляется кулоновским электромагнитным взаимодействием. Энергия электромагнитного притяжения (потенциальная энергия) обратно пропорциональна расстоянию между частицами. В этом случае электромагнитное поле простирается в бесконечность.

Его ученик Нильс Бор в 1913 году на базе планетарной модели создал основы квантовой химии. Он ввел понятие стационарных орбит, переходы с которых сопровождаются появлением электромагнитных квантов энергии (спектры водорода) и предложил способ расчета потенциала ионизации. Однако, экспериментально потенциал ионизации измеряется не по одному свободному атому, а по весовому количеству вещества.

Противоречие очевидно: конечная величина потенциала ионизации можетискажаться противодействием других электромагнитных полей.

Последователи Бора улучшали и расширяли возможности модели, но суть – электромагнитное взаимодействие – осталась изначальной.

Вариант 2

В 1840 году Г.И. Гесс открыл законы термохимии, которые продолжают играть большую роль не только в химии, но и в других естественных науках.

В 1975 году ИЮПАК (Международный союз чистой и прикладной химии) определили понятие стандартного состояния (ст. сост.). Стандартное состояние (давление, температура, состав) выбирается из удобства расчетов и меняется от одной задачи к другой.

В нашем случае для всех газообразных веществ стандартные условия: чистое вещество (молярная доля $x^\circ = 1$) в состоянии идеального газа с давлением 1 атм при любой фиксированной температуре (обычно используется $T = 298,15 \text{ К}$).

В химической термодинамике для простых веществ в той форме, в которой они существуют при стандартных условиях, энталпия образования принята равной нулю. В этом заключено одно из противоречий термодинамики, так как для любых веществ при $T = 0 \text{ К}$ $\Delta H = 0$.

Физическая химия

Образование катиона K^{z+} можно представить в виде последовательных реакций



$\Delta H^\circ(K^0, g)$ определяется из температурной зависимости давления пара (газа) K^0 .



По определению

$$\Delta_f H^\circ(K^{z+}, g) = \Delta_f H^\circ(K^0, g) + F \sum I + z \cdot \Delta H^\circ(\bar{e}, g). \quad (3)$$

Здесь $F = 96,48456 \cdot 10^3$ Кл·моль⁻¹ – постоянная Фарадея; I – потенциал ионизации, эВ; $\Delta H^\circ(\bar{e}, g) = 6,1965$ – молярная энталпия электронного газа; z – количество потенциалов ионизации [1].

Потенциал ионизации (энергия ионизации FI) количественно характеризует взаимосвязь ядро – электрон, то есть потенциальную энергию электромагнитного взаимодействия.

Таким образом, энталпия образования катиона щелочного металла равна энталпии электромагнитного взаимодействия ядро – электрон.

Электромагнитному полю катиона противодействуют поля других катионов, компенсируя его, то есть, ограничивая размеры. Противодействующие катионы должны располагаться сферически симметрично. Наиболее простой конструкцией в этом случае является кубическая (октаэдр, тетраэдр).

В соответствии с принципом минимальной энергии между частицами должно быть минимальное расстояние (межцентровое расстояние) r_p .

В работе [2] доказано, что радиусы катионов постоянны, они меняются при изменении степени окисления. Межцентровое расстояние в этом случае

$$r_p = 2r(K^{z+}). \quad (4)$$

Периодическую систему (таблицу) обычно принято делить на периоды (строки) и группы, состоящие из подгрупп (графы). Подобное, но более информативное деление с учетом внешнего и предвнешнего электронного строения ионов можно представить так.

1. Начальные Э_{нач} (период 2, Li⁺...F⁻; 1s²...1s²2s²p⁶).
2. Связующие Э_{св} (период 3, Na⁺...Cl⁻; 2s²p⁶...2s²p⁶3s²p⁶).
3. Полные аналоги Э_{пан} (периоды 4–7) входят в состав подгрупп А и В
Подгруппа А: 1A – K⁺...Fr⁺; 2s²p⁶3s²p⁶...5s²p⁶6s²p⁶.
7A – Br⁻...At⁻; 2s²p⁶3s²p⁶4s²p⁶...4s²p⁶5s²p⁶6s²p⁶.
Подгруппа В: 3B – Sc³⁺...Ac³⁺; 2s²p⁶3s²p⁶...5s²p⁶6s²p⁶.
7B – Mn⁵⁺...Re⁵⁺; 2s²p⁶3s²p⁶d⁵...4s²p⁶5s²p⁶d⁵.

Математическая модель энталпии кристаллической решетки ΔH_{kp} [4], адекватность которой подтверждается наиболее надежными экспериментальными (справочными) термическими и рентгеновскими данными, базируется на двух уравнениях.

По определению энталпия разрушения (образования) кристаллической решетки

$$\Delta H_{kp}(KA) = \Delta_f H^\circ(K^+, g) + \Delta_f H^\circ(A^-, g) - \Delta_f H^\circ(KA, kp). \quad (5)$$

В соответствии с моделью ΔH_{kp} складывается из двух величин: энталпии нулевого уровня ΔH_0 и энталпии электромагнитного взаимодействия $\Delta H_{вз}$.

$$\Delta H_{kp} = \Delta H_0 + \Delta H_{вз} = 83,581728 \cdot z_K^2 \cdot z_A^2 \cdot f_1 + 138,9305405 A_M (\text{к.ч.}) z_K z_A f_2 r_p^{-1}. \quad (6)$$

Численные коэффициенты являются комбинациями фундаментальных констант, A_M – число Маделунга; к.ч. – координационное число; f_1 и f_2 – структурные функции (в случае полных аналогов группы $f_1 = \text{const}_1$ и $f_2 = \text{const}_2$).

Важной особенностью f_1 и f_2 является сохранение «памяти» о предшествующем строении частиц [2–4]. Для полных аналогов щелочных металлов (K–Fr):

$$f_1 = \alpha_{\text{тетр}} \cdot \alpha_{\text{ГЦК}} = \left(\frac{8}{3\sqrt{3}} \right)^2 \cdot 2 \cdot \left(1 + \frac{4}{7} \right)^{-1} = 3,016835;$$

$$f_2 = \alpha_{\text{ОЦК}} \cdot \alpha_{\text{ГЦК}} = \frac{\sqrt{3}}{3} \cdot 2 \left(\sqrt{2} - 1 \right) = 0,478292.$$

Уравнение (6) принимает аналитическую форму:

$$\Delta H_{kp} = 252,152 + 696,7475 r_p^{-1}. \quad (7)$$

Исходные данные и результаты расчетов приведены в таблице.

Сравнение величин колонок 5 и 4, 6 и 3 показывает их хорошее согласие, что подтверждает адекватность модели.

Полное совпадение расчетной величины $\Delta_f H^\circ(Fr^+, g)$ со справочным значением подтверждает его принадлежность к полным аналогам щелочных металлов. Это позволяет уточнить наименее надежную величину, входящую в уравнение (3), то есть потенциал ионизации:

$$I(Fr) = \frac{1}{F} [\Delta_f H^\circ(Fr^+, g) - \Delta_f H^\circ(Fr^0, g) - 6,197] = \frac{1}{96,48456} [455,359 - 66,944 - 6,197] = \\ = 3,960 \pm 0,030 \text{ эВ (в [5] приводится } I_1 = 3,98 \pm 0,10 \text{ эВ).}$$

Расчет стандартной энталпии образования катионов щелочных металлов

| $r(Me^+)$, [2] | I_1 , эВ, [5] | $\Delta_f H^\circ(Me^0, g)$, [5–8] | $\Delta_f H^\circ(Me^+, g)$, [6–8] | $\Delta_f H^\circ(Me^+, g)$, ур. (7) | $\Delta_f H^\circ(Me^0, g)$, ур. (3) |
|-----------------|-----------------------|-------------------------------------|-------------------------------------|---------------------------------------|---------------------------------------|
| 1 | 2 | 3 | 4 | 5 | 6 |
| Na 0,94880 | $5,13915 \pm 0,00005$ | $107,696 \pm 0,837$ | $609,741 \pm 0,842$ | 609,378 | 107,333 |
| K 1,33053 | $4,34070 \pm 0,00005$ | $89,000 \pm 0,418$ | $514,007 \pm 0,423$ | 513,983 | 88,976 |
| Rb 1,48148 | $4,17719 \pm 0,00001$ | $78,073 \pm 0,418$ | $487,304 \pm 0,419$ | 487,305 | 78,074 |
| Cs 1,68161 | $3,89397 \pm 0,00005$ | $77,571 \pm 0,418$ | $459,475 \pm 0,418$ | 459,319 | 77,415 |
| Fr 1,71326 | $3,98 \pm 0,10$ | $66,944 \pm 2,092$ | $455,219 \pm 0,837$ | 455,359 | 66,944 |

Особая роль принадлежит «связующим элементам» (натрий, магний и т. д.), отражающим специфические свойства элементов и их однотипных соединений, входящих в А и В-подгруппы Периодической системы Д.И. Менделеева. Катионы «связующих элементов» обладают электронным строением $ns^2(n+1)s^2p^6$. В этом случае координационное число равно 6 (определяется геометрией s^2p^6). Структурные факторы f_1 и f_2 в уравнении энталпии кристаллической решетки также содержат структурные постоянные, характерные для ОЦК и ГЦК решеток, но отличные от коэффициентов, характеризующих свойства «полных аналогов». Это различие определяется несходством электронных структур: у ионов «связующих элементов» (в отличие от «полных аналогов») предвнешний энергетический уровень n содержит только s -подуровень.

$$f_1 = \alpha_{\text{OЦК}} \cdot \alpha_{\text{ГЦК}} = 4(\sqrt{2} - 1) \cdot 2 = 3,313709.$$

$$f_2 = \alpha_{\text{OЦК}} \cdot \alpha_{\text{ГЦК}} = \frac{\sqrt{3}}{2} \cdot \frac{1}{2} = 0,2165064.$$

$$\Delta_f H^\circ(Na^+, g) = 276,966 + 315,3937 r_{(Na^+)}^{-1} = 509,381.$$

$$\Delta_f H^\circ(Na^0, g) = \Delta_f H^\circ(Na^+, g) - (F \cdot I + 6,197) = 107,344 \text{ кДж/моль.}$$

Полученное значение согласуется со справочными данными (строка 1 таблицы).

Заключение

1. На примере полных аналогов (K, Rb, Cs, Fr) показано, что стандартная энталпия образования катионов в газовой фазе может быть рассчитана по уравнению, первоначально разработанному для энталпии образования (разрушения) кристаллической решетки.

2. На примере щелочных металлов показана возможность термодинамического определения потенциала ионизации атома с использованием значений стандартных энталпий образования.

Физическая химия

3. По результатам вычислений произведено уточнение значения первого потенциала ионизации иона франция $I_1(\text{Fr}) = 3,930 \pm 0,030$ эВ.

4. Исходя из электронного строения внешних и предвнешних энергетических уровней для катионов в высшей степени окисления и анионов с заполненными внешними подуровнями предложено следующее деление групп Периодической системы Д.И. Менделеева: $\mathcal{E}_{\text{нац}}$ (начальные) – элементы 2 периода; $\mathcal{E}_{\text{св}}$ (связующие) – элементы 3 периода; и $\mathcal{E}_{\text{пан}}$ (полные аналоги) – элементы 4–7 периодов.

Литература

1. Физический энциклопедический словарь. – М.: СЭ, 1983. – 928 с.
2. Рябухин, А.Г. Эффективные ионные радиусы. Энталпия кристаллической решетки. Энталпия гидратации ионов: моногр. / А.Г. Рябухин. – Челябинск: Изд-во ЮУрГУ, 2000. – 115 с.
3. Рябухин, А.Г. Математическая модель метаморфизма кристаллических структур в кубическую / А.Г. Рябухин // Вестник ЮУрГУ. Серия «Металлургия». – 2007. – Вып. 9. – № 21 (93). – С. 3–6.
4. Груба, О.Н. Взаимосвязь структурных и энталпийных характеристик мета- и ортосиликатов щелочных и щелочноземельных металлов / О.Н. Груба, Н.В. Германюк, А.Г. Рябухин // Вестник ЮУрГУ. Серия «Химия». – 2012. – Вып. 7. – № 1 (260). – С. 44–50.
5. Энергия разрыва химических связей. Потенциалы ионизации и сродство к электрону: справ. изд. / под ред. В.Н. Кондратьева. – М.: Наука, 1974. – 351 с.
6. Свойства элементов: справ.: в 2 ч. / под ред. Г.В. Самсонова. – М.: Металлургия, 1975. – Ч. 1. – 599 с.
7. Термодинамические свойства индивидуальных веществ: справ. изд.: в 4 т. / под ред. В.П. Глушко. – М.: АН СССР, ВИНИТИ. – Т. IV, кн. 2. – 1982. – 560 с.
8. Киреев, В.А. Методы практических расчетов в термодинамике химических реакций / В.А. Киреев. – М.: Химия, 1970. – 519 с.
9. Краткая химическая энциклопедия: в 5 т. – М.: СЭ. – 1957. – Т. 5. – 1184 с.

Груба Оксана Николаевна – кандидат химических наук, доцент, кафедра неорганической химии, Южно-Уральский государственный университет. 454080, г. Челябинск, пр. им. В.И. Ленина, 76. E-mail: grox73@mail.ru

Германюк Нина Васильевна – кандидат химических наук, доцент, кафедра физической химии, Южно-Уральский государственный университет. 454080, г. Челябинск, пр. им. В.И. Ленина, 76.

Рябухин Александр Григорьевич – доктор химических наук, профессор, кафедра физической химии, Южно-Уральский государственный университет. 454080, г. Челябинск, пр. им. В.И. Ленина, 76. E-mail: ryabukhin@inbox.ru

**Bulletin of the South Ural State University
Series “Chemistry”
2013, vol. 5, no. 2, pp. 21–25**

ENTHALPY ELECTROMAGNETIC INTERACTION, THE IONIZATION POTENTIAL AND THE ENTHALPY OF CATIONIC

O.N. Gruba, South Ural State University, Chelyabinsk, Russian Federation, grox73@mail.ru,
N.V. Germanyuk, South Ural State University, Chelyabinsk, Russian Federation,
A.G. Ryabukhin, South Ural State University, Chelyabinsk, Russian Federation, ryabukhin@inbox.ru

The possibility of applying the model of the crystal lattice enthalpy to adequately calculate the enthalpy of formation $\Delta_f H^\circ(Me^{2+}, g)$ and the ionization potential has been demonstrated; the cation radius is used. A division of Mendeleev periodic table in accordance with electronic structure of simple cations and anions has been proposed.

Keywords: cation, enthalpy of formation, gas, ionization potential, cation radius.

References

1. Physical Encyclopaedia [*Fizicheskij jenciklopedicheskij slovar'*]. Moskow, SE, 1983. 928 p.
2. Rjabuhin A.G. *Jeffektivnye ionnye radiusy. Jental'pija kristallicheskoy reshetki. Jental'pija gidratacii ionov: monografija* [Effective Ionic Radii. Enthalpy of the Crystal Lattice. Enthalpy of Hydration of Ions: Monograph]. Chelyabinsk, SUSU Publ., 2000. 115 p.
3. Rjabuhin A.G. Mathematical Model of Metamorphism in the Cubic Crystal Structures [Matematicheskaja model' metamorfizma kristallicheskikh struktur v kubicheskiju]. *Vestnik JuUrGU. Serija «Metallurgija»* [Bulletin of the South Ural State University. Series «Metallurgy»]. 2007, Vol. 9, no. 21(93), pp. 3–6.
4. Gruba O.N., Germanjuk N.V., Rjabuhin A.G. The Relationship of Structural and Enthalpy Characteristics of Meta- and Orthosilicates Alkali and Alkaline Earth Metals [Vzaimosvjaz' strukturnyh i jental'pijnyh harakteristik meta- i ortosilikatov shhelochnyh i shhelochnozemel'nyh metallov]. *Vestnik JuUrGU. Serija "Himija"* [Bulletin of the South Ural State University. Series «Chemistry»]. 2012, Vol. 7, no. 1(260), pp. 44–50.
5. Energy Required to Break Chemical Bonds. The Ionization Potentials and Electron Affinities. RB / Ed. VN Kondratiev. [*Jenergija razryva himicheskikh svjazej. Potencialy ionizacii i srodstvo k elektronu. Spr. izd. / Pod red. V.N. Kondrat'eva*]. Moscow, Nauka Publ., 1974. 351 p.
6. Properties of Elements: RB / Ed. GV Samsonov [*Svojstva jelementov: Spravochnik / pod red. G.V. Samsonova*]. Moscow, Publ. Metallurgy, Part 1, 1975. 599 p.
7. Thermodynamic Properties of Individual Substances: Reference Book in 4 volumes / Ed. VP Glushko. [*Termodinamicheskie svojstva individual'nyh veshhestv: Spravochnoe izdanie v 4 t. / Pod red. V.P. Glushko*]. Moscow, USSR Academy of Sciences Publ., VINITI. - Vol. IV, Prince 2, 1982. 560 p.
8. Kireev V.A. *Metody prakticheskikh raschetov v termodinamike himicheskikh reakcij* [Methods of Practical Calculations in Thermodynamics of Chemical Reactions]. Moscow, Publ. Chemistry, 1970. 519 p.
9. Concise Encyclopedia of Chemical in 5 tons [*Kratkaja himicheskaja jenciklopedija v 5 t.*]. Moscow, FE Publ., Vol. 5, 1957. 1184 p.

Поступила в редакцию 3 января 2013 г.

ЗАКОНОМЕРНОСТИ СОРБЦИИ АНИОНОВ АМОРФНЫМИ ОКСИГИДРОКСИДАМИ (ОБЗОР)

С.И. Печенюк

Кратко изложены основные результаты систематического фундаментального исследования сорбции анионных комплексов платиновых металлов, хрома и железа и анионов-загрязнителей окружающей среды (арсенат, хромат, фосфат, оксалат) аморфными оксигидроксидами железа, циркония, алюминия и хрома. Представлены механизмы сорбции в свете современных взглядов на взаимодействие ионов с электрически заряженной поверхностью и образование поверхностных сорбционных комплексов.

Ключевые слова: сорбция, сорбционный комплекс, поверхностный заряд, изотерма сорбции, извлечение, механизм сорбции, точка нулевого заряда.

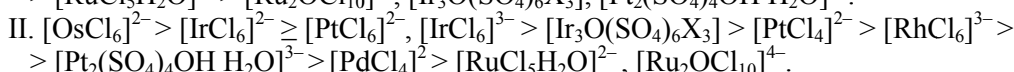
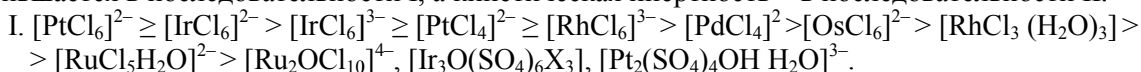
Систематическое фундаментальное исследование сорбции анионов оксигидроксидами было начато в 1975 г. и продолжалось по 2012 г. включительно. В разные годы в этой работе принимали участие сотрудники Института химии и технологии редких элементов и минерального сырья Кольского научного центра Российской академии наук им. И.В. Тананаева (ИХТРЭМС КНЦ РАН): Л.Ф. Кузьмич, Е.И. Дементьева, А.Г. Касиков, Е.В. Калинкина, Т.Г. Кашулина, С.И. Матвеенко, В.В. Семушин, Ю.П. Семушкина, Д.П. Домонов. На основе полученных данных были защищены кандидатские диссертации А.Г. Касиковым, Т.Г. Кашулиной, Е.В. Калинкиной и Ю.П. Семушкиной и докторская диссертация автора.

Сорбционный метод концентрирования микрокомпонентов растворов и (или) очистка растворов от микропримесей позволяет обрабатывать большие объемы растворов без изменения их состава и внесения дополнительных загрязнений, в отличие от реагентных методов, а также экстракции. Поэтому сорбция, по-видимому, никогда не исчезнет из практики. Однако успешное применение сорбции требует правильного выбора сорбента и условий его применения, для чего необходимо знание механизма сорбционного процесса. Процессы же сорбции очень разнообразны и радикально различаются по своим механизмам (комплексообразовательная, ионообменная, электростатическая, гидролитическая и проч.).

Первыми объектами изучения из числа анионных сорбатов являлись комплексные анионы платиновых металлов. Имевшаяся на 1975 г. литература по концентрированию благородных металлов (БМ), например, обзоры [1–3] и ознакомление с состоянием производства на комбинате «Североникель» и «Норильский никель» показали, что имеется ряд многочисленных проблем в области извлечения БМ из различных технологических растворов, что создавало широкое поле деятельности для исследователей, владеющих одновременно техникой сорбционных исследований, работы с БМ и знаниями и навыками в области координационной химии. В качестве адсорбентов были выбраны оксигидраты металлов, или, как теперь принято называть, оксигидроксиды. Под оксигидроксидами подразумеваются труднорастворимые соединения типа $\text{MO}_x(\text{OH})_y$. Выбор был обусловлен простотой синтеза, доступностью и дешевизной этих сорбентов, простотой их регенерации и извлечения из них ценных компонентов.

Из совокупности изученной литературы следовало, что в процессах сорбционного концентрирования БМ из водных растворов большую роль играет взаимодействие сорбируемых ионов или молекул с водой. В случае комплексных ионов сорбата это гидролиз с последующим депротонированием аквапроизводного, в случае простых ионов – присоединение гидроксидов или протонов [4, 5]. Это тесно связывает между собой теорию сорбции, координационную химию и кислотно-основные равновесия. Галогенидные и сульфатные комплексы платиновых металлов (ПМ) в качестве сорбатов были избраны, во-первых, в силу практической важности вопроса о их сорбционном извлечении из растворов, поскольку исследованиями С.А. Симановой и др. [6, 7] и

Н.М. Синицына и др. [8, 9] было доказано, что именно эти формы присутствуют в технологических растворах медно-никелевого производства, которое в течение последних 50–70 лет является основным источником получения БМ. Во-вторых, они являются классическими объектами координационной теории, о составе, строении и свойствах которых имеются обширные сведения. В растворах ПМ являются микрокомпонентами; в то же время, их комплексы весьма устойчивы и инертны, что обуславливает устойчивость их состояния в растворе и усугубляет трудность их извлечения. Исходя из литературных данных о константах устойчивости комплексов и константах скорости акватации (гидролиза) в растворах, которые весьма неполны, а также ряда косвенных данных, можно утверждать, что термодинамическая устойчивость комплексов-сорбатов уменьшается в последовательности I, а кинетическая инертность – в последовательности II.



Изучение литературы в начале исследования выявило **две особенности** сорбционных исследований тех лет. Во-первых, авторы их зачастую не обращали внимания на состав сорбатов, т. е. природу сорбируемых комплексов, хотя в зависимости от степени окисления центрального атома, реакции среды и концентрации лиганда эта природа сильно различается. Во-вторых, удивительно мало уделялось внимания кинетическому аспекту сорбции, что, как оказалось, для ПМ имеет первостепенное значение [10]. Поэтому само исследование сорбции было построено преимущественно как кинетическое. Основными экспериментальными данными служили кинетические кривые извлечения в координатах C_p или $A = f(t)$ (рис. 1). В экспериментах использовали высокий ионный фон: хлорид и сульфат натрия и их смесь, с ионной силой 1–2 [11]. Условия изучения сорбции представлены в табл. 1.

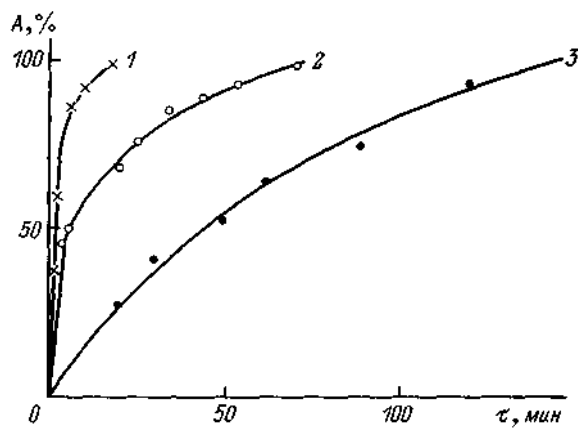


Рис. 1. Кинетические кривые гетерогенного гидролиза $[\text{RuH}_2\text{OCl}_5]^{2-}$ на поверхности $\text{Y}_2\text{O}_3 \cdot n\text{H}_2\text{O}$ (30°C). Ионный фон С, моль/л: 1 – $0,1 \text{ NaCl}$; 2 – $4,0 + 0,5 (\text{NaCl} + \text{Na}_2\text{SO}_4)$; 3 – $4,0 \text{ NaCl}$

Условия исследования гетерогенного гидролиза

| Комплексы | Сорбенты | Температурный интервал, $^\circ\text{C}$ | Область pH, ед. | Концентрация сорбента, г/л |
|--|--|--|-----------------|----------------------------|
| $[\text{Ru}_2\text{OCl}_{10}]^{4-}$ | $\text{Y}_2\text{O}_3, \text{Sm}_2\text{O}_3$, феррогели | 3–50 | 2–4 | 1–40 |
| $[\text{RuH}_2\text{OCl}_5]^{2-}$ | | | | 1–20 |
| $[\text{RhCl}_6]^{3-}$, $[\text{OsCl}_6]^{2-}$ | | 20–70 | | 5 |
| $[\text{RhCl}_3(\text{H}_2\text{O})_3]$ | $\text{Y}_2\text{O}_3, \text{Sm}_2\text{O}_3, \text{Dy}_2\text{O}_3$ | 20–50 | | 3–10 |
| $[\text{PdCl}_4]^{2-}$ | Ln_2O_3 , феррогели | 3–80 | 3–12 | 1–20 |
| $[\text{PtCl}_4]^{2-}, [\text{PtCl}_6]^{2-}, [\text{IrCl}_6]^{2-}, [\text{IrCl}_6]^{3-}$ | | 20–80 | | |
| $[\text{PtX}_4]^{2-}$ (X = Br^- , CNS^- , CN^- , NO_2^-) | $\text{Y}_2\text{O}_3, \text{Sm}_2\text{O}_3$ | 40–80 | 4–5 | 5 |
| $[\text{Ir}_3\text{O}(\text{SO}_4)_6\text{X}_3]$ (X = SO_4^{2-} , HSO_4^- , H_2O), $[\text{Pt}_2(\text{SO}_4)_4\text{OH}\text{H}_2\text{O}]^{3-}$ | $\text{Y}_2\text{O}_3, \text{Sm}_2\text{O}_3, \text{Eu}_2\text{O}_3$, феррогели | 40–75 | 3–5 | 5 |

Электролиты и область их концентраций: NaCl , Na_2SO_4 , NaClO_4 , 0,1–4,0 моль/л; концентрации комплекса: $(1–10) \cdot 10^{-4}$ моль/л.

Физическая химия

Изучение сорбции ПМ на оксигидратах было начато с использованием в качестве сорбентов сухих кристаллических оксидов РЗЭ. Это было в достаточной мере случайно потому, что в институте много занимались выделением РЗЭ из местного сырья. Были опробованы все индивидуальные оксиды РЗЭ, кроме скандия, прометия, тулия и лютения, и установлено, что во всех случаях оксидов Ln^{3+} процесс идет аналогичным образом, поэтому большая часть экспериментов была выполнена затем на полутораоксидах иттрия, самария и иттербия. Оказалось, что для всех изученных комплексов ПМ процесс идет аналогичным образом, но сильно отличается в отношении скорости. Скорость реакции для всех комплексов, кроме комплекса палладия, хорошо описывается уравнением I порядка по концентрации комплекса в растворе, поэтому процессы извлечения ПМ в дальнейшем характеризовали величиной наблюдаемой константы скорости K_n . В зависимости от природы ПМ величины K_n при одинаковых температурах различаются на 4–5 порядков (табл. 2). Поэтому для разных комплексов-сорбатов для определения величин энергий активации использовали разные наборы температур в интервале 3–80 °С. Зависимость скорости процесса от природы РЗЭ иллюстрирует рис. 2.

Таблица 2

Зависимость констант скорости ($K_n \cdot 10^4 \text{ с}^{-1}$) гетерогенного гидролиза хлорокомплексов платиновых металлов на поверхности оксигидратов РЗЭ от природы ионного фона

| Комpleксы | ОГ | Темпера- тура, °C | Ионный фон, моль/л | | | |
|---|-------------------------|-------------------------|--------------------|-------------------------|---------------------------------|----------------------|
| | | | Без фона | 0,1 NaClO_4 | 0,5 Na_2SO_4 | 1,0 NaCl |
| $[\text{RuH}_2\text{OCl}_5]^{2-}$ | Y_2O_3 | 30 | — | — | 27,2 | 9,5 |
| $[\text{RhCl}_3(\text{H}_2\text{O})_3]$ | Sm_2O_3 | 50 | 16,2 | 17,2 | 123 | 9,5 |
| $[\text{RhCl}_6]^{3-}$ | | 40 | — | — | 10,5 | 1,9 |
| $[\text{IrCl}_6]^{3-}$ | | 70 | 4,6 | 1,7 | 15,4 | 2,8 |
| $[\text{IrCl}_6]^{2-}$ | Y_2O_3 | 80 | 9,1 | 7,0 | 1,2 | 4,7 |
| $[\text{PtCl}_6]^{2-}$ | | 80 | 0,9 | 0,3 | 0,1 | — |
| $[\text{PtCl}_4]^{2-}$ | Sm_2O_3 | 75 | 33,7 | 30 | 25 | 0,4 |
| | | | | | | 1,2 |

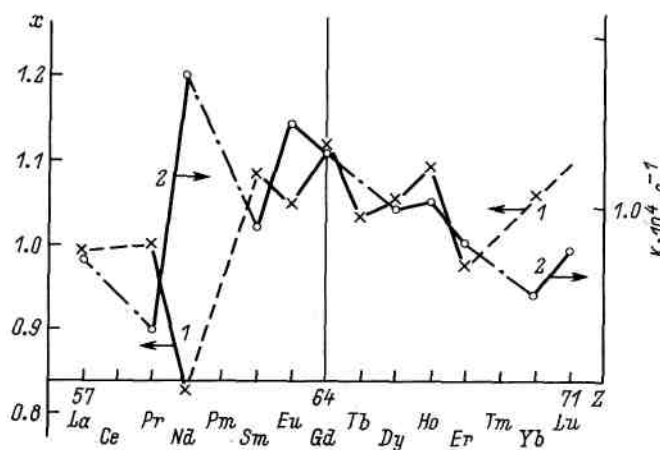


Рис. 2. Зависимость степени превращения $[\text{PtCl}_6]^{2-}$ (1) и константы скорости гетерогенного гидролиза $[\text{IrCl}_6]^{3-}$ (2) ($K \cdot 10^4, \text{ с}^{-1}$) на поверхности $\text{Ln}_2\text{O}_3 \cdot n\text{H}_2\text{O}$ от атомного номера Ln . $C_{\text{Ir}} = 5 \cdot 10^{-5}$ моль/л; $C_{\text{Pt}} = 1,25 \cdot 10^{-4}$ моль/л; $n_{\text{Ln}_2\text{O}_3} = 1 \cdot 10^{-3}$ моль; температура, °C: 1 – 50; 2 – 80; x – отношение степени превращения на поверхности $\text{Ln}_2\text{O}_3 \cdot n\text{H}_2\text{O}$ к степени превращения на поверхности $\text{Y}_2\text{O}_3 \cdot n\text{H}_2\text{O}$; Z – атомный номер

Процесс сорбции на поверхности оксигидратов РЗЭ (и как потом оказалось, также феррогелей, осажденных щёлочью и MCO_3 , где $\text{M} = \text{Ca}, \text{Sr}, \text{Ba}$) [10, 11] протекает следующим образом. Когда мы вносим навеску воздушно-сухого оксида в раствор (на примере взаимодействия с раствором фонового электролита, рис. 3), псевдоравновесие гидратации устанавливается не более чем за 10 мин при 25 °C для всех оксидов РЗЭ во всех используемых ионных средах. При более высоких температурах, естественно, скорее. Далее процесс удаления ПМ из раствора является самопроизвольно pH-статическим (рис. 4), т. е. 60–70 % ПМ удаляется при постоянном значении pH, и только потом начинается слабый рост pH (~ на 0,5 ед.). Величина остаточной концентрации близка к нулю при достаточно длительном контакте раствора и сорбента. Анализ фильтратов дисперсионной среды и сорбента с сорбированными ПМ показал, что все изученные хлоридные и сульфатные комплексы, кроме $[\text{PtCl}_6]^{2-}$ и отчасти $[\text{RhCl}_6]^{3-}$, в результате взаимодействия с поверхностью к моменту $A \approx 100\%$ полностью разлагаются с отщеплением и переходом в раствор

всех координированных лигандов ($100 \pm 3\%$, что соответствует точности определения хлорид- и сульфат-ионов). Процессы перехода лигандов в раствор и перехода ПМ на поверхность сорбента происходят одновременно. В случае хлоридной и сульфатно-хлоридной сред приходится ограничиться анализом твердой фазы. Pt (IV) и Rh (III) удерживают в фазе сорбента 2 и 1, соответственно, иона хлора. Аналогично происходит процесс сорбции ПМ на карбонатах щелочноземельных металлов. Белые и бледно окрашенные оксиды РЭ и карбонаты II группы приобретают за счет осаждения ПМ характерную окраску, для рутения – зеленовато-серую, для родия и Pt (IV) – желтую, для палладия – коричневую, для осмия и Pt (II) – серую (черную), для Ir (IV) – фиолетовую. Осажденные фазы ПМ аморфны, электронографический и ИК-спектроскопический методы регистрируют только сорбент. Электронные микрофотографии показывают, что осажденная фаза располагается на поверхности сорбента в виде островков или корки. Растворы, полученные взаимодействием хлорной кислоты и сорбента с осажденной фазой ПМ, показывают электронные спектры поглощения, характерные для аквагидроксополикатионов ПМ. Ионный обмен подтверждает, что ПМ в этих растворах находится в катионной форме. Совокупность полученных результатов анализа осажденных форм ПМ показывает, что сорбция комплексов ПМ на оксигидратах РЭ, MCO_3 и феррогелей (в присутствии ионного фона с ионной силой $\geq 0,1$) сопровождается их гидролитическим расщеплением с полным высвобождением лигандов и переходом их в раствор и осаждением ПМ на поверхности оксигидратов в виде полимерных гидроксидов. Гидролиз комплексов при этом идет значительно быстрее и более глубоко, чем в растворе. По совокупности этих признаков мы стали именовать вышеописанный процесс **гетерогенным гидролизом** в отличие от **гомогенного**, т. е. происходящего в растворе. Процессы гетерогенного гидролиза имеют величины энергий активации, характерные для химической реакции – 60–120 кДж/моль, причем E_a тем больше, чем больше константа устойчивости комплекса. Наиболее высокое значение E_a наблюдается для комплексов иридия. Скорость процесса уменьшается с увеличением концентрации хлорид-ионов в растворе (избытка лиганда) и возрастает с увеличением концентрации сульфат-ионов, согласно уравнению: $K_h = a \pm b [L]$ без существенных изменений E_a .

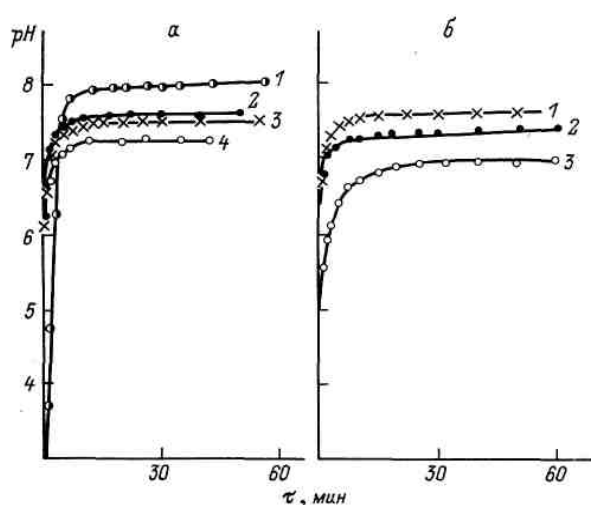


Рис. 3. Установление равновесия гидратации при контакте воздушно-сухих оксидов РЭ с раствором электролита при 25 °C: а – Y_2O_3 ; электролит (1,0 моль/л): 1 – Na_2SO_4 ; 2 – NaNO_3 ; 3 – NaCl ; 4 – NaClO_4 ; б – в растворе 1,0 моль/л NaNO_3 : 1 – Y_2O_3 ; 2 – Sm_2O_3 ; 3 – Yb_2O_3

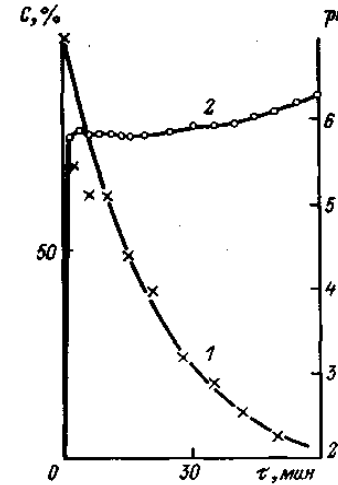


Рис. 4. Синхронные измерения остаточной концентрации $[\text{RuH}_2\text{OCl}_5]$ (1) и pH (2) при гетерогенном гидролизе в растворе 1,0 моль/л NaCl ($C_{\text{Ru}}=5,3 \cdot 10^{-4}$ моль/л) на поверхности Y_2O_3 при 30 °C

Извлечение ПМ из раствора оксидами РЭ вполне пригодно для практических целей, если раствор не содержит больших количеств цветных металлов и железа (ЦМ). Так, в 1984 г. нами успешно были проведены полупромышленные испытания извлечения платины техническим оксидным концентратом РЭ из растворов перхлората натрия (электролитическое производство перхлората).

Оксиды РЭ создают в растворе pH около 6–7, поэтому использование их в растворах ЦМ приводит к сильному осаждению гидроксидов ЦМ. Кроме того, оксиды РЭ дороги. Более при-

Физическая химия

влекательным сорбентом является оксигидрат Fe (III), которое к тому же является естественным спутником ПМ в рудах. Оксигидрат Fe (III) выделяется в процессе очистки анолита при производстве никеля и меди и самопроизвольно концентрирует в себе большую часть растворенных при электролизе чернового никеля (меди) ПМ.

Оксигидрат Fe (III) использовали в 2 вариантах: применяя в качестве осадителя NaOH и Na₂CO₃ и различные pH осаждения в интервале 4–11. Гетерогенный гидролиз на поверхности феррогелей протекает только в присутствии фонового электролита (хлорид, сульфат, нитрат, перхлорат натрия) с ионной силой не менее 0,1, в отличие от оксидов РЗЭ. При ионной силе, создаваемой самими комплексами, т. е. близкой к 0, комплексы ПМ очень быстро (в течение нескольких минут) сорбируются при комнатной температуре. Сорбированное вещество включает несколько форм: исходный комплекс и частично аквативированные его производные, например, для Pt (IV) – [PtCl₆]²⁻, [PtCl₅H₂O]⁻, [PtCl₄(H₂O)₂]⁰ и т. д.

Гетерогенный гидролиз на поверхности феррогелей сохраняет те же закономерности, что и на оксидах РЗЭ, но с некоторыми особенностями.

Наиболее общими чертами реакций гетерогенного гидролиза (ГГ) являются следующие:

1. Хорошее соответствие скорости процесса уравнению первого (псевдопервого) порядка для всех комплексов, кроме палладия и осмия.

2. Довольно низкая скорость процесса: $K_h = 10^{-5} - 10^{-3}$ с⁻¹ в интервале температур 3–80 °C. Величины K_h и E_a в системах с оксидаами РЗЭ, феррогелями и карбонатами II группы очень близки, существенное ускорение процесса наблюдается только для [PtCl₆]²⁻ на феррогелях.

3. Ярко выраженная температурная зависимость скорости, которая показывает, что скорость определяющей стадией процесса является химическая реакция.

4. Возможность аффинных преобразований кинетических кривых для различных величин параметров процесса (температура, концентрация ионного фона), что указывает на сохранение последовательности элементарных актов, т. е. на неизменность механизма процесса при изменении этих параметров.

5. Зависимость величины константы скорости $K_h = a \pm b [L]$; в системах с оксидаами РЗЭ знак « \leftrightarrow » соответствует $L = Cl^-$, знак « $\leftrightarrow +$ » – $L = SO_4^{2-}$, для феррогелей – наоборот.

6. Во всех случаях гетерогенный гидролиз происходит в условиях постоянного содержания кислоты и основания в системе. При добавлении сорбента к раствору сорбата имеет место первоначальный скачок pH, после чего на оксидах РЗЭ, МСО₃ и OH-феррогелях процесс происходит в самопроизвольном pH-статическом режиме.

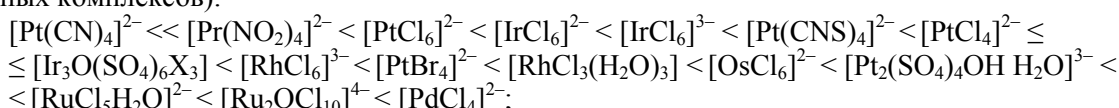
7. Концентрации сорбента и сорбата относительно слабо влияют на скорость процесса.

8. Все зависимости ГГ сохраняются для феррогелей (и как потом оказалось, для гелей оксигидратов других металлов) при обязательном условии наличия фонового электролита с ионной силой не менее 0,1; в противном случае на гелях ОГ происходит быстрая электростатическая сорбция с сохранением состава сорбата.

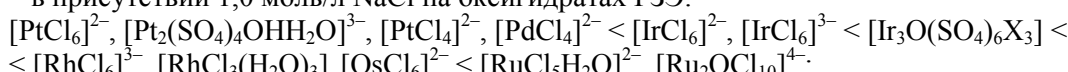
9. Скорость ГГ на феррогелях зависит, кроме вышеперечисленных факторов, от pH осаждения (pH_{oc}), природы исходной соли и природы осадителя (щелочь и сода). Это означает, как будет показано дальше, что скорость ГГ зависит от знака и плотности поверхностного заряда, структуры поверхности геля и суммарного содержания кислоты и основания в системе. Поскольку гидрогели металлов являются неравновесными, термодинамически неустойчивыми образованиями, продолжительность их жизни должна сильно сказываться на их свойствах. В дальнейшем было проведено исследование влияния старения гидрогелей на их сорбционные свойства.

10. Скорость ГГ зависит от природы комплекса-сорбата для одного и того же сорбента следующим образом:

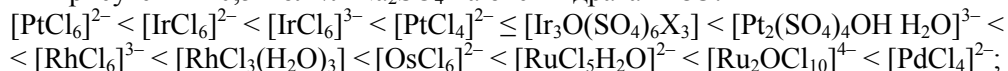
– в отсутствие ионного фона на оксигидратах РЗЭ, полный кинетический ряд (для всех изученных комплексов):



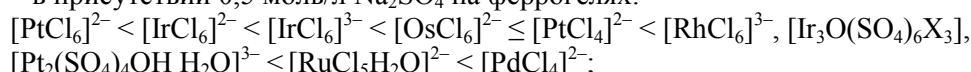
– в присутствии 1,0 моль/л NaCl на оксигидратах РЗЭ:



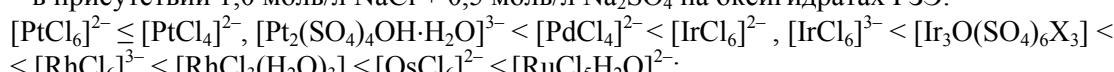
– в присутствии 0,5 моль/л Na_2SO_4 на оксигидратах РЗЭ:



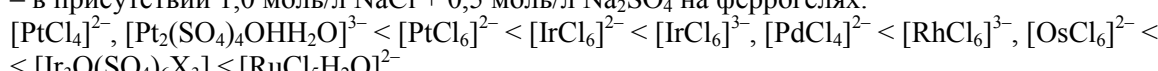
– в присутствии 0,5 моль/л Na_2SO_4 на феррогелях:



– в присутствии 1,0 моль/л NaCl + 0,5 моль/л Na_2SO_4 на оксигидратах РЗЭ:



– в присутствии 1,0 моль/л NaCl + 0,5 моль/л Na_2SO_4 на феррогелях:



Ряды зависимости E_a от природы комплекса являются, за малыми исключениями, обратными рядам зависимости скорости. Гетерогенный гидролиз не является окислительно-восстановительной реакцией, и только для комплексов иридия и рутения он сопровождается окислительно-восстановительными превращениями III \leftrightarrow IV, которые происходят и в растворах при изменении кислотности среды.

Закономерности, полученные для ГГ на оксигидратах РЗЭ, MCO_3 и феррогелях, хорошо совпадают друг с другом, и это показывает, во-первых, что скорость ГГ в большой степени определяется природой комплекса, и во-вторых, что между этими сорбентами, несмотря на их химическое различие, существует значительное сходство, связанное, по-видимому, со свойствами поверхности.

Поскольку скорость ГГ разных комплексов различается на несколько порядков, ясно, что путем ГГ можно разделять смеси ПМ. Так, при комнатной температуре можно выделить из смеси рутений. Подняв температуру раствора на 10–20 °C, выделить затем осмий и родий. Подняв температуру до 80 °C, на оксигидратах РЗЭ можно выделить иридий, после чего в растворе останутся только платина и палладий.

Феноменологическое описание сорбции анионных комплексов ПМ, механизм гетерогенного гидролиза, анализ литературных данных и, частично, изучение взаимодействия оксигидратов с растворами электролитов описано в монографии автора [10]. Последнее направление было продолжено после публикации монографии.

Анализ литературных данных показал, что для объяснения влияния фоновых электролитов на процесс ГГ необходимо воспользоваться представлением о заряженной поверхности оксигидрата на границе раздела оксигидрат – водный раствор [12–15]. Это представление уже в 80-х гг. прошлого века широко использовалось в зарубежной литературе, тогда как в отечественной литературе по вопросам сорбции существование двойного электрического слоя (ДЭС) на указанной границе раздела практически совсем игнорировали. В моделях, учитывающих наличие ДЭС, поверхность сорбента в контакте с раствором электролита рассматривают аналогично поверхности электрода в контакте с раствором в электрохимии и применяют соответствующее понятие о потенциалопределяющих ионах. Для оксигидратов такими ионами являются H^+ (H_3O^+) и OH^- . Распределение этих ионов между твердой фазой и раствором создает поверхностный заряд сорбента и разность потенциалов в ДЭС. В случае порошкообразных оксигидратов или гелей разность потенциалов измерить, по-видимому, невозможно, но легко определить экспериментально поверхностный заряд (методом потенциометрического титрования).

Чтобы отличить специфическую сорбцию ионов (не кулоновскую) от неспецифической, пользуются представлением о точке нулевого заряда (ТНЗ), которое отделилось от понятия изоэлектрической точки (ИЭТ) только около 1970 г. [16, 17]. Нулевым раствором в электрохимии называют раствор, в равновесии с которым данный электрод имеет нулевой потенциал. Авторы работ по адсорбции [12–17] подразумевают под рНтнз рН нулевого раствора. Величины рНтнз в настоящее время входят в число характеристик сорбента, обязательно приводимых во всех работах мирового уровня по сорбции наряду с величиной удельной поверхности.

Доказано, что при отсутствии специфической сорбции ионов электролита рНтнз не зависит от его концентрации, а при наличии – зависит. Кривые зависимости заряда от pH пересекаются в точке, которая и является рНтнз (рис. 5). Влияние кристаллической структуры на поверхностный

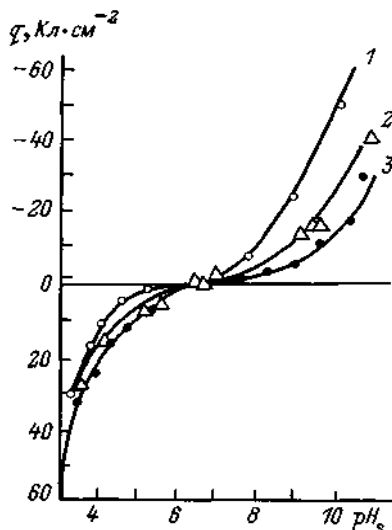


Рис. 5. Зависимость поверхностного заряда q магнетита Fe_3O_4 от pH раствора. Электролит – KNO_3 , концентрация, моль/л: 1 – 1,0; 2 – 0,1; 3 – 0,01

заряд, $pH_{nз}$ и $pH_{иэ}$ очень велико, поэтому очень важен способ и условия получения образца. В зависимости от этих факторов величины $pH_{nз}$ для образца одного и того же химического состава могут различаться до 2–3 ед. Строго специфически сорбируются только очень малые количества ионов. При концентрации электролита около 0,001 моль/л все адсорбционные центры уже заняты. Изотермы сорбции специфически сорбируемых ионов не ленгмюровские, а «высокого сродства»[18], части которых, однако, описываются уравнением Ленгмюра. Специфически сорбируются двух- и трехзарядные катионы и анионы, катион лития и фторид-ион, неспецифически – однозарядные катионы и анионы. В растворах неспецифически сорбируемых электролитов $pH_{nз} = pH_{иэ}$. Считают, что специфическая сорбция происходит на центрах $-OH$, $-OH_2$ и $-OH_2^+$, и связана с перераспределением протонов. $pH_{nз}$ является характеристикой, которая делает условно эквивалентными в отношении основности самые различные вещества и позволяет сравнивать их кислотно-основные свойства.

Координационно-химическая теория адсорбции на оксидной поверхности основана на предположении, что на этой поверхности в контакте с водяными парами или жидкой водой диссоцииативно сорбируются молекулы воды, в результате чего поверхность покрывается слоем гидроксильных групп: 2–10 OH/nm^2 [14, 19]. Эти OH -группы участвуют в протолитических реакциях с компонентами раствора; они энергетически неоднородны. Реакции описываются соответствующими уравнениями и константами равновесия протолиза.

При pH растворов, не равных $pH_{nз}$, происходит перезарядка поверхности: при $pH > pH_{nз}$ поверхность заряжена отрицательно и наоборот. При отсутствии строго специфической сорбции катионы сорбируются на «–»-поверхности, анионы – на «+».

Мы исследовали взаимодействие оксидов РЗЭ и феррогелей с растворами электролитов методом точки нулевого заряда [16, 20–22]. Установили, что хлорид-, перхлорат- и нитрат-ионы неспецифически сорбируются на оксидах РЗЭ и феррогелях, а сульфат-ионы – специфически (рис. 6, 7 и табл. 3). При увеличении концентрации Na_2SO_4 от 0,01 до 1,0 моль/л $pH_{nз}$ оксигидратов РЗЭ увеличивается на 1,0–1,5 ед., что увеличивает положительный заряд поверхности и ее основные свойства, с чем мы связываем увеличение скорости ГГ на оксигидратах РЗЭ в сульфатной среде [20].

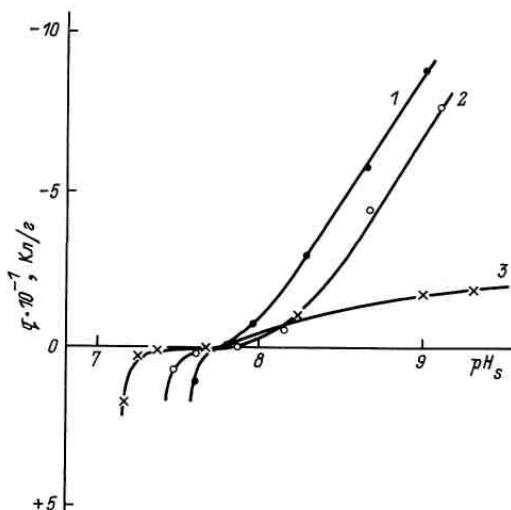


Рис. 6. Сорбция H_3O^+ и OH^- на $Y_2O_3 \cdot nH_2O$ в растворе KNO_3 . C_{KNO_3} , моль/л: 1 – 1,0; 2 – 0,1; 3 – 0,01 (25 °C); q – заряд; pH_s – pH суспензии

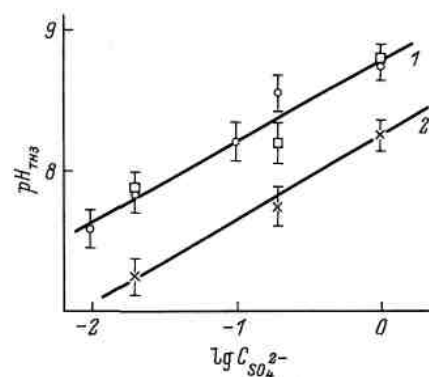


Рис. 7. $pH_{nз}$ как функция $lg C(SO_4^{2-})$ (25 °C); 1 – Y_2O_3 (○), Sm_2O_3 (□); 2 – Yb_2O_3

Таблица 3

рНтнз оксигидратов РЭ

| Электролит | Y_2O_3 | Sm_2O_3 | Yb_2O_3 |
|------------------------------------|------------------------|-------------------------|-------------------------|
| NaClO_4 | $7,45 \pm 0,15$ | — | — |
| NaCl | $7,60 \pm 0,10$ | $7,45 \pm 0,15$ | $7,15 \pm 0,15$ |
| KNO_3 | $7,80 \pm 0,10$ | $7,80 \pm 0,10$ | $7,20 \pm 0,15$ |
| Na_2SO_4 , г-экв/л | | | |
| 0,01 | $7,60 \pm 0,15$ | — | — |
| 0,02 | $7,85 \pm 0,15$ | $7,90 \pm 0,20$ | $7,25 \pm 0,15$ |
| 0,1 | $8,20 \pm 0,15$ | — | — |
| 0,2 | $8,55 \pm 0,15$ | $8,20 \pm 0,15$ | $7,75 \pm 0,15$ |
| 1,0 | $8,75 \pm 0,10$ | $8,80 \pm 0,10$ | $8,25 \pm 0,15$ |

С феррогелями (аморфными оксигидратами железа (III) дело обстоит гораздо сложнее (рис. 8 и табл. 4) [21, 22]. Оказалось, что рНтнз феррогелей, не прошедших стадии высушивания, всегда зависят от концентрации электролита, состоит ли он из специфически или неспецифически сорбируемых ионов. Затем, величины рНтнз зависят от рН_{oc} феррогелей. При равных условиях (одинаковых рН_{oc} и концентрациях электролита) рНтнз следующим образом зависит от природы аниона электролита: $\text{ClO}_4^- < \text{NO}_3^- < \text{Cl}^- < \text{SO}_4^{2-}$, причём, значение рНтнз возрастает с увеличением $C_{эл}$. Наконец, рНтнз зависит также от природы исходной соли для получения феррогелей: для феррогелей, полученных из сульфата железа (III), рНтнз на 0,5–1,5 ед. ниже, чем для полученных из хлорида и нитрата, которые очень сходны. Последнее мы объяснили тем, что степень замещения сульфат-ионов на гидроксил при одинаковых рН ниже, чем для хлорид- и нитрат-ионов.

Что же до зависимости рНтнз от концентрации любого из использованных электролитов, мы пришли к следующему выводу. Поскольку при различных рН_{oc} степень замещения анионов соли на гидроксилах различна [45], мы получаем при этом уже электрически заряженные фазы: когда $\text{pH}_{oc} < \text{pHтнз}$, поверхность заряжена положительно, и наоборот, при $\text{pH}_{oc} > \text{pHтнз}$, поверхность содержит избыточные, сорбированные OH-группы. При внесении образцов в раствор электролита происходит перераспределение протонов и (или) OH-групп между гелем и раствором. Однако и для гелей должна быть истинная ТНЗ, что мы и показали в дальнейшем [24]. Для всех образцов с рН_{oc} ниже этой точки увеличение $C_{эл}$ приводит к снижению поверхностного заряда, что и приводит к замедлению ГГ.

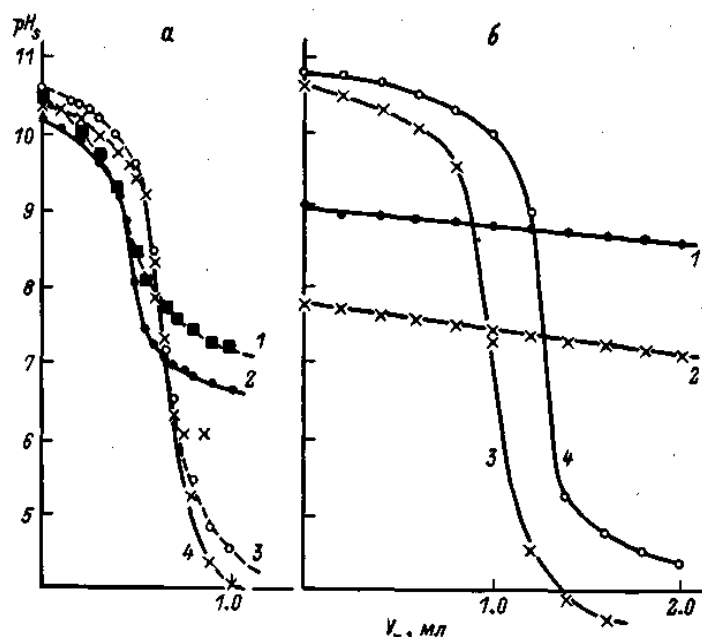


Рис. 8. Потенциометрическое титрование $\text{Y}_2\text{O}_3 \cdot n\text{H}_2\text{O}$ (а) и феррогеля $\text{Fe}(\text{NO}_3)_3/\text{NaOH}$, $\text{pH}_{oc}=7,5$, для определения рНтнз; электролит, моль/л: а – 0,1 NaCl (1, 4), 0,1 Na_2SO_4 , (2, 3); б – 0,5 Na_2SO_4 (1, 4), 1,0 KNO_3 (2, 3); а (1, 2), б (1, 2) – титрование супензии; а (3, 4), б (3, 4) – титрование электролита (холостой опыт), V_t – объем титранта (кислота), мл

Физическая химия

Таблица 4

Результаты определения рНтнз феррогелей, полученных действием NaOH на растворы Fe(NO₃)₃ (I), FeCl₃ (II) и Fe₂(SO₄)₃ (III), методом потенциометрического титрования

| Электролит | Концентрация, моль/л | рНтнз при pH _{oc} | | | | | | | |
|--|----------------------|----------------------------|------|------|------|------|------|------|------|
| | | 6,0 | | 7,5 | | | 9,0 | | |
| | | I | II | I | II | III | I | II | III |
| NaCl | 1,0 | 6,30 | 6,27 | 7,48 | 7,72 | 6,16 | 8,84 | 8,76 | 8,24 |
| | 0,1 | — | 5,47 | — | 7,28 | — | — | 9,12 | — |
| | 0,01 | — | 4,48 | — | 6,32 | — | — | 9,73 | 9,26 |
| Na ₂ SO ₄ | 0,5 | 7,53 | 7,52 | 8,72 | 8,35 | 7,31 | 9,38 | 9,13 | 8,89 |
| | 0,05 | — | 7,10 | 8,32 | 8,21 | — | — | 9,46 | — |
| | 0,005 | — | 6,71 | 7,82 | 7,82 | 6,69 | 9,71 | 9,87 | 8,90 |
| NaCl + Na ₂ SO ₄ | 1,0 + 0,5 | — | 7,02 | — | 8,32 | — | — | 8,96 | 8,57 |
| | 0,10 + 0,05 | 7,34 | 7,26 | 8,13 | 8,12 | — | 9,40 | 9,30 | 8,76 |
| | 0,001 + 0,005 | — | 6,80 | — | 7,84 | — | — | 9,64 | — |
| NaClO ₄ | 1,0 | 5,54 | 5,54 | 6,88 | 6,85 | — | 8,94 | 8,35 | — |
| | 0,01 | 4,48 | 4,17 | 5,85 | 5,76 | 5,85 | 9,22 | 9,82 | — |
| KNO ₃ | 1,0 | 6,08 | — | 7,44 | 7,51 | — | 8,82 | 8,79 | — |
| | 0,01 | — | — | 6,23 | 6,23 | 6,53 | 9,94 | 9,25 | 8,36 |

Основываясь на полученных данных, мы могли утверждать, что взаимосвязь скорости ГГ с состоянием поверхности ОГ свидетельствует о том, что процесс ГГ локализован на поверхности ОГ, что и обеспечивает существование pH-статического режима. Эксперименты по изучению влияния соотношения $C_{\text{сорбат}} / C_{\text{сорбент}}$ на скорость ГГ показали, что скорость ГГ лимитируется как числом реакционноспособных частиц комплекса, так и числом активных сорбционных центров (СЦ) поверхности. Рассмотрение кинетических кривых показывает, что: 1) имеющиеся сорбционные центры используются не мгновенно, а постепенно; 2) увеличение $C_{\text{сорбент}}$ при $C_{\text{сорбат}} = \text{const}$ сопровождается уменьшением относительного количества использованных СЦ за один и тот же промежуток времени; 3) увеличение $C_{\text{сорбат}}$ при $C_{\text{сорбент}} = \text{const}$ сопровождается увеличением относительного числа использованных СЦ. Это свидетельствует, что скорость ГГ в значительной степени определяется количеством реакционноспособных частиц сорбата, причем последние не являются исходными анионами. Следовательно, речь идет именно об образовании интермедиата на поверхности твердой или гелевой фазы сорбента. Только при низких $C_{\text{сорбент}}$ недостаток СЦ начинает лимитировать скорость ГГ. Увеличение массы сорбента никогда не приводит к мгновенному осаждению сорбата, если только это не характерно для самого комплекса, например, $[\text{PdCl}_4]^{2-}$ в среде перхлората натрия. Изотермы сорбции комплексов ПМ на оксигидратах РЗЭ и железа принадлежат к типу «высокого сродства», величины A не зависят от температуры.

Полученные экспериментальные данные послужили основой для **построения модели механизма ГГ**. При этом **надлежало ответить на 3 вопроса**: 1) почему устойчивые и инертные комплексы в ходе реакции распадаются с отщеплением всех или почти всех координированных лигандов на границе раздела раствор-оксигидрат, хотя процесс происходит при одном и том же pH, слишком низком для выделения гидроксида центрального иона; 2) почему этот процесс происходит с измеримой скоростью и значительно быстрее, чем процесс гомогенного гидролиза, но медленнее, чем осаждение гидроксида при нужном pH; 3) почему скорость ГГ возрастает при частичной замене координированных лигандов на воду, тогда как при гомогенном гидролизе имеет место обратное?

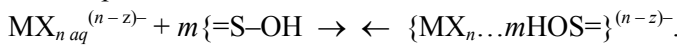
В отсутствии влияния электролита кинетический ряд ГГ соответствует ряду термодинамической устойчивости комплексов (несмотря на установившееся среди специалистов по координационной химии убеждение, что термодинамические свойства комплекса не связаны с кинетикой его реакций). Природа продуктов свидетельствует о том, что в процессе есть стадия кислотно-основного характера. Рассмотрение всех возможных вариантов механизма с учетом экспериментальных данных по кинетике гомогенного гидролиза привело нас к следующей модели ГГ. На поверхность сорбента-оксигидрата из раствора перемещается доминирующая в растворе форма комплекса (т. е. исходная). На основании величин энергии активации ГГ относится к кинетиче-

ской области макрокинетики, но по этой же причине адсорбционная стадия не может быть скоростьюпределяющей. На поверхности локализована скоростьпределяющая стадия – акватация сорбированного комплекса и последующая стадия превращения аквакомплекса в гидроксид. Ускорение акватации комплекса в сорбированном состоянии можно объяснить искажением координационного полиэдра под влиянием поверхности оксигидрата и искажением молекулярных орбиталей по модели, например, транс-влияния.

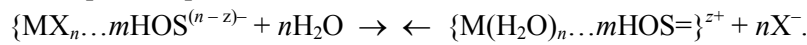
Чувствительность скорости ГГ к концентрации хлорид-ионов (лиганда) коррелирует с кинетической лабильностью комплексов; для наиболее лабильного $[PdCl_4]^{2-}$ это влияние проявляется в наибольшей степени. Когда большая кинетическая лабильность комплекса сочетается с относительно невысокой термодинамической устойчивостью, скорость ГГ особенно велика (рутений, палладий). При этом соотношение скоростей при гомо- и гетерогенном гидролизе для комплексов разных ПМ примерно одинаково. Псевдоверный порядок скорости реакции ГГ говорит о том, что существует только одна реакционноспособная форма, в которую превращаются все остальные (промежуточные и побочные). Если считать, что реакционноспособная форма образуется путем замещения лигандов на воду, понятно, почему частично акватированные формы ($[RhCl_3(H_2O)_3]$, $[Ir_3O(SO_4)_6(H_2O)_3]^{4-}$) реагируют быстрее, чем исходные ($[RhCl_6]^{3-}$, $[Ir_3O(SO_4)_9]^{10-}$).

Схема механизма гетерогенного гидролиза

1. Адсорбционная стадия



2. Скоростьпределяющая стадия



3. Стадия фиксации продуктов



Процесс ГГ по природе не окислительно-восстановительный и не катализитический. Предложенная модель механизма позволяет объяснить подавляющее большинство фактов и закономерностей ГГ.

Определение ГГ: многостадийный гетерогенный процесс в высокодисперсной системе, скоростьпределяющей стадией которого является реакция замещения лигандов на воду, происходящая в момент нахождения обратимо сорбированного комплекса на поверхности дисперсной фазы сорбента-оксигидрата, скорость которой значительно (на несколько порядков) превышает скорость соответствующей реакции замещения в растворе.

Особенности систем, состоящих из твердых фаз с непостоянной величиной поверхности и компонентов раствора переменного состава, описаны в работе [23]. ГГ представляет собой особое физико-химическое явление. Коренное отличие ГГ от других сорбционных процессов состоит в том, что сорбат не закрепляется на поверхности в виде исходного соединения, как при ионном обмене или физической сорбции. Случай сорбции, наблюдавшиеся Н.М. Синицыным и С.А. Симановой, например, [24, 25], представляют собой ГГ с очень медленной второй стадией.

Как известно, высокими сорбционными свойствами обладают не только аморфные оксигидроксиды железа (III), но также оксигидроксиды Ti (IV), Zr (IV), Al (III), Cr (III) и др. Естественно возник вопрос: присущи ли закономерности, найденные нами для феррогеля, для аморфных оксигидроксидов других металлов?

Исследования феррогелей привели нас к убеждению, что для всех металлов, образующих труднорастворимые оксигидроксиды, могут быть получены их гели с заданными сорбционными свойствами, в числе которых будет способность к ГГ. Исходя из этого, было проведено сравнительное изучение сорбционных свойств ОГ ряда металлов с целью создания теоретической модели для прогнозирования условий извлечения металлов-комплексообразователей из комплексообразующих сред ОГ-сорбентами [26–36].

Для ОГ Ti (IV), Zr (IV), Sn (IV), In (III), Cr (III), Al (III), Sm (III), Co (II), Zn (II) были изучены химические составы ОГ (гидро- и ксерогелей) методами капельного титрования и химического анализа образцов, их кислотно-основные свойства методом точки нулевого заряда и их сорбционная активность в реакциях гетерогенного гидролиза (индикаторные реакции ГГ $[IrCl_6]^{2-}$ и $[RhCl_6]^{3-}$). Целью этой части работы было: установить взаимосвязь между фундаментальными свойствами катионов, образующих ОГ (табл. 5), и сорбционными (поверхностными) свойствами ОГ.

Фундаментальные характеристики катионов ОГ

Таблица 5

| Катион | Кристаллохимические радиусы по Бокию и Белову, Å | Ионный потенциал, z/r | Электронная структура |
|----------|--|-------------------------|-----------------------|
| Fe (III) | 0,67 | 4,48 | $3d^5$ |
| In (III) | 0,92 | 3,26 | $4d^{10}$ |
| Sm (III) | 0,97 | 3,09 | $5d^{10}$ |
| Sn (IV) | 0,67 | 5,97 | $4d^{10}$ |
| Co (II) | 0,78 | 2,56 | $3d^7$ |
| Zn (II) | 0,83 | 2,41 | $3d^{10}$ |
| Ti (IV) | 0,64 | 6,25 | $3p^6$ |
| Zr (IV) | 0,82 | 4,88 | $4p^6$ |
| Cr (III) | 0,64 | 4,69 | $3d^3$ |
| Al (III) | 0,57 | 5,26 | $2p^6$ |

Все изученные нами случаи образования ОГ металлов при нейтрализации раствора соли металла щелочью разделяются на 2 типа. Первому типу соответствует резкий излом кривой титрования при величине отношения OH^-/Me , далекой от точки эквивалентности, с последующим медленным ростом величины этого отношения при одновременном резком росте pH супензии. К этому типу относятся Ti (IV), Zr (IV), Cr (III), Al (III). Второму типу отвечает резкий излом кривой титрования при OH^-/Me , близком к точке эквивалентности, с последующим очень медленным ростом этого соотношения (Fe (III), In (III), Sm (III), Sn (IV), Co (II), Zn (II)).

ОГ хрома, самария, алюминия и цинка практически во всем используемом интервале pH осаждения удерживают в своем составе остаточные анионы исходной соли, не удаляемые трехкратной отмывкой (от 1 до 0,3 X/Me), содержание которых уменьшается с увеличением pH_{oc} и является максимальным для ОГ алюминия. Некоторое количество остаточных анионов при pH_{oc} 4–6 наблюдается у ОГ железа и циркония. При pH_{oc} 7–9 осаждается ZnOHCl .

Гелеобразные ОГ, полученные по нашей стандартной методике (выдержка в течение ~5 мин при pH_{oc} и трехкратная отмывка при центрифугировании с 2000 об/мин), содержат 60–130 моль $\text{H}_2\text{O}/\text{моль ОГ}$. Для ОГ титана, циркония и хрома наблюдается некоторая склонность к оксоляции прямо в процессе осаждения с образованием $\text{MeO}_x(\text{OH})_y$, где x не превышает 0,4 (у титана). ОГ железа, индия, олова склонны при высоких pH_{oc} (10–13) удерживать NaOH : 0,1 у Fe, 0,25 у In, 0,4 у Sn (моль/моль). При высушивании гидрогелей при комнатной температуре над кристаллической щелочью у всех ОГ, кроме ОГ индия, алюминия и самария, оксоляция возрастает: x увеличивается до 1–1,6, а y уменьшается до 0,8–1,6, максимальная величина $x = 1,6$ у ОГ олова. ОГ цинка превращается в этих условиях в кристаллический ZnO .

Исследование высущенных указанным способом ОГ методом РДА показало, что ксерогели титана, циркония, хрома рентгеноаморфны, ОГ железа слабо кристаллизован по типу Fe(OH)_3 , ОГ индия, самария и кобальта кристаллизованы довольно отчетливо [35, 36].

Для изученных систем подтвердилось то, что было установлено для феррогелей: 1) значение $\text{pH}_{\text{tнз}}$, определяемое по методу Паркса, для всех изученных ОГ, кроме ОГ Co (II), зависит от концентрации фонового электролита и 2) кривые зависимости $\text{pH}_{\text{tнз}}$ от pH_{oc} при разных концентрациях электролита пересекаются в одной точке, которую мы считаем истинной точкой нулевого заряда и которая в зарубежной литературе называется точкой нулевого солевого эффекта (TНСЭ) [37].

Эти величины различаются для одного и того же металла в зависимости от природы исходной соли и ионной среды (рис. 9). Истинный $\text{pH}_{\text{tнз}}$ является характеристикой кислотно-основных свойств гидрогеля ОГ.

Следует уделить внимание вопросу о **воспроизводимости** данных о составе и поверхностных свойствах гидрогелей ОГ и **стабильности** этих свойств. Вопреки широко распространенному убеждению в том, что гидрогели ОГ нестабильны и поэтому их свойства плохо воспроизводимы, мы утверждаем и доказали это экспериментально, что при соблюдении воспроизводимых условий осаждения геля, т. е. исходной концентрации прекурсора и щелочи, температуры, разбавления и продолжительности осаждения и отмычки и точного выдерживания величины pH_{oc}

наблюдаются очень хорошая воспроизводимость вышеуказанных свойств ОГ. Более того, для всех рассмотренных гидрогелей ОГ при соблюдении вышеописанных условий получения наблюдаются **длительные периоды метастабильности**, в течение которых их состав, поверхностные и сорбционные свойства не изменяются. Продолжительность периодов метастабильности составляет от нескольких суток до нескольких месяцев, что предоставляет полную возможность как изучать, так и использовать свойства гелеобразных ОГ так же свободно, как свойства термодинамически стабильных систем.

Величины рН_{ТНЗ} по Парксу для гидрогелей ОГ линейно зависят от концентрации электролита и могут быть определены по графику для любой концентрации в пределах 0,001 до 1–2 моль/л. Нами определены величины истинных рН_{ТНЗ} в среде хлорида и сульфата натрия (табл. 6).

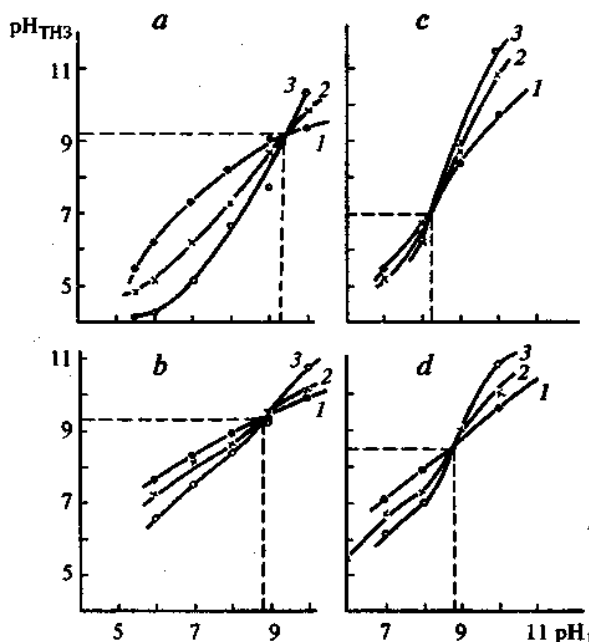


Рис. 9. Зависимости рН_{ТНЗ} от рН₁. Гели: нитратные (а, б); сульфатные (с, д); фоновый электролит: NaCl (а, с); Na₂SO₄ (б, д); концентрации фонового электролита, моль/л: 1,0 или 0,5 (1); 0,1 или 0,05 (2); 0,01 или 0,005 (3)

Таблица 6

Величины истинных рН_{ТНЗ} гидрогелей ОГ металлов

| рН | Электролит | Прекурсор | | | | | | | |
|-------------------|---------------------------------|-------------------|-------------------|------------------------------------|-------------------|-----------------------------------|-----------------------------------|-----------------------------------|-------------------|
| | | FeCl ₃ | TiCl ₄ | ZrO(NO ₃) ₂ | CrCl ₃ | Al(NO ₃) ₃ | In(NO ₃) ₃ | Sm(NO ₃) ₃ | SnCl ₄ |
| pH _{ос} | NaCl | 8,1 | 4,5 | 9,4 | 8,4 | 9,2 | 10,0 | 7,0 | 4,0 |
| pH _{ТНЗ} | | 8,1 | 4,5 | 9,2 | 7,9 | 9,3 | 10,2 | 7,6 | 4,1 |
| pH _{ос} | Na ₂ SO ₄ | 7,95 | — | 8,8 | 9,1 | 9,2 | 10,0 | — | 4,0 |
| pH _{ТНЗ} | | 8,6 | — | 9,3 | 9,1 | 9,2 | 10,0 | — | 4,1 |

Поскольку скорость ГГ хлорокомплексов ПМ очень хорошо характеризует сорбционные свойства ОГ, мы использовали в качестве индикаторных реакций ГГ комплексов [IrCl₆]²⁻, [RhCl₆]³⁻ и [PtCl₄]²⁻, которые отличаются наилучшей воспроизводимостью и высокими энергиями активации. Здесь оказалось возможным также учесть влияние геометрической конфигурации комплекса на процесс ГГ.

Найдено, что скорости ГГ одного и того же комплекса на разных ОГ сильно различаются, а величины E_a остаются постоянными. Разница между E_a ГГ для октаэдрических комплексов [IrCl₆]²⁻ и [RhCl₆]³⁻ и плоскоквадратного [PtCl₄]²⁻ значительно превышает ту же разницу для гомогенного гидролиза (20–50 кДж/моль против 10). Этот факт с очевидностью указывает, что ГГ комплексов разной геометрической конфигурации идет по различным механизмам скоростью определяющей стадии (СОС). Поскольку СОС ГГ является реакция замещения Cl⁻ на H₂O, есть основания думать, что для октаэдрических комплексов сохраняется диссоциативный, а для плоскоквадратных – ассоциативный характер замещения, как в растворе. Если при сорбции октаэдр может присоединяться к поверхности только боковой треугольной гранью, то квадрат – своей плоскостью. Во втором случае поляризующее действие поверхности должно быть более значительным, поэтому скорость ГГ в случае [PtCl₄]²⁻ должна больше зависеть от природы поверхности. Саму поверхность в ГГ также можно рассматривать как нуклеофильный заместитель. Нуклеофильность поверхности можно связать со свойствами металла основы ОГ через ионный потенциал. Чем он выше, тем сильнее катион стягивает электронное облако, и тем меньше нуклеофильность поверхности. С этой точки зрения понятно, почему на ОГ титана и олова замещение по ас-

Физическая химия

социативному механизму идет медленнее. Но и поверхность титаногеля в условиях ГГ должна иметь высокий отрицательный заряд. Высокая концентрация ОГ-групп вблизи поверхностей с высоким отрицательным зарядом способствует замещению лигандов на OH с образованием растворимых гидроксокомплексов Pt (II), что приводит к снижению сорбции. Сопоставление фундаментальных характеристик катионов ОГ и кислотно-основных свойств ОГ со скоростями ГГ комплексов ПМ показывает, что электронная структура катионов ОГ каким-то сложным образом также влияет на характер процесса ГГ [28, 34].

Наилучшими сорбционными свойствами обладают ферро- и цирконогели, имеющие средние значения ионного потенциала и высокие значения pH_{Tz} .

Одним из важных следствий проведенной работы по изучению состава, кислотно-основных свойств и взаимодействия гидрогелей ОГ с растворами электролитов явилась разработка способа определения удельной поверхности (S_{ud}) гидрогелей ОГ [38]. В литературе неоднократно отмечалось [39–41], что подготовка образцов ОГ к определению их S_{ud} традиционными методами, например, по БЭТ, с неизбежным высушиванием, радикально изменяет определяемую величину, и полученные ее значения, как правило, сильно отличаются от истинных. Очевидно, необходимы методы, основанные на адсорбции из раствора. Существующие методы определения S_{ud} мокрых образцов в суспензии по отрицательной адсорбции катионов столь сложны для исполнения и трактовки результатов, что не получили распространения. Адсорбция красителей не универсальна, большие размеры их молекул не позволяют им входить в микропоры. Таким образом, наиболее достоверные результаты способен дать метод, основанный на адсорбции из раствора частиц с простым составом, малыми размерами и устойчивой структурой, концентрацию которых в растворе можно определять быстро, легко и точно. Такими частицами являются OH-группы. Нами разработан **метод определения удельной поверхности гидрогелей по величине адсорбции OH-групп**, пригодный для изучения ОГ с преимущественно основным характером, которые заметно не растворяются в щелочи. Таковы ОГ железа, титана, циркония, индия, но не алюминия и не олова. Для ОГ Cr (III) этот метод также оказался пригоден.

Чтобы использовать этот метод, надо знать вид изотермы адсорбции OH-групп на ОГ и величину посадочной площадки OH-группы (S_{OH}). Так как литературные данные о величинах S_{OH} очень противоречивы, мы определили эту величину экспериментально. Для этого необходимо было взять сухие оксиды, имеющие незаряженную поверхность. Исходя из величин адсорбции OH-групп и S_{ud} по БЭТ для этих образцов (оксиды алюминия, хрома, индия, самария и иттрия) величину S_{OH} оценили в 50 \AA^2 , что хорошо согласуется со многими литературными данными [40–45]. Мы считаем эту величину одинаковой для всех гидрогелей ОГ, что составляет **основное допущение** этого метода.

Для определения величин адсорбции OH-групп A_{OH} использовали потенциометрическое титрование в атмосфере аргона. Титрование обратимо, следовательно, образцы в процессе титрования не изменяются. Мы пользуемся метастабильностью состояния гидрогелей ОГ. При расчете величин A_{OH} по данным измерения pH использовали коэффициенты активности, которые определяли по кривой холостого титрования для данного интервала pH (11–12). Изотермы сорбции OH-групп принадлежат к типу высокого сродства и могут быть обработаны по уравнению Ленгмюра (рис. 10). По мере увеличения pH_{oc} величины A_{OH} для всех гидрогелей снижаются. Причиной этого является, как было отмечено выше, то обстоятельство, что при разных pH_{oc} мы получаем электрически заряженные фазы (чем выше pH_{oc} , тем ниже «+» заряд и выше «-» заряд поверхности). Незаряженную фазу можно получить только при pH_{oc} , соответствующем pH_{Tz} . Но стремиться провести осаждение при этом pH не надо, так как трудно точно попасть в эту точку. Достаточно получить изотермы для 4–5 величин pH_{oc} . Оказалось, что величины A_{OH} , полученные из этих изотерм, хорошо ложатся на прямую для всех изученных ОГ (рис. 11). Прежде всего это свидетельствует, что величина удельной поверхности гидрогеля ОГ не зависит от pH_{oc} , когда мы исследуем свежеосажденный гель. Из этого графика легко можно найти величину адсорбции, соответствующую истинной величине pH_{Tz} , т. е. сорбции на незаряженной поверхности. Отсюда по формуле $S_{ud} = S_{OH} A_{OH} N_A / 10^{20}$ получаем значение величины в $\text{m}^2/\text{г}$. Найдено значение S_{ud} для оксигидратов: железа – 585, циркония – 420, титана – 1219, хрома – 930, индия – 240 $\text{m}^2/\text{г}$. Полученные значения хорошо согласуются с имеющимися литературными данными [39–42].

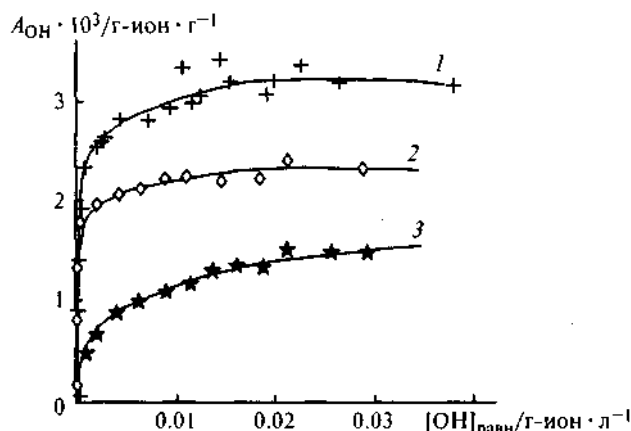


Рис. 10. Изотермы адсорбции ОН-групп ($A_{\text{ОН}}$) на поверхности свежеосажденных оксогидроксидов Zr (IV) при pH_{oc} 5,5 (1); 7 (2); 10 (3), $[\text{OH}]_{\text{равн}}$ – равновесная концентрация ОН-групп в суспензии

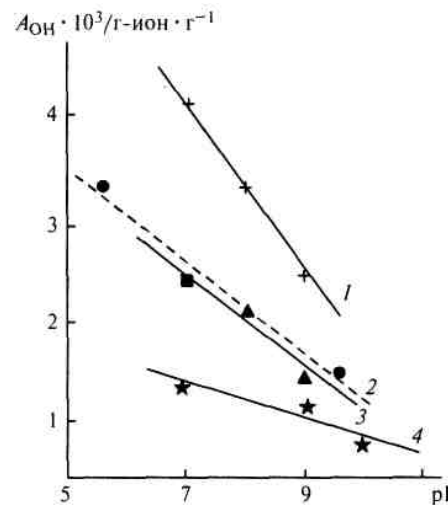


Рис. 11. Зависимость величин предельной адсорбции ОН-групп ($A_{\text{ОН}}$) на гидрогелях оксогидроксидов от их pH_{oc} : 1 – хромогели; 2 – цирконогели; 3 – феррогели; 4 – индиогели

Вопрос об устойчивости свойств гидрогелей ОГ принципиально важен, поскольку полученные нами данные по этому вопросу опровергают ряд устоявшихся предрассудков (о нестабильности гидрогелей). Поэтому мы уделили этой проблеме большое внимание, изучив влияние старения как на скорость ГГ, так и на величину $\text{pH}_{\text{тнз}}$ ОГ [43–49].

Применяли образцы, состаренные в следующих условиях:

1. Свежеосажденные отмытые образцы помещали в 1 М раствор NaCl , NaClO_4 или 0,5 М раствор сульфата натрия или их смеси и нагревали на кипящей водяной бане или выдерживали в термостате при 20 или 80 °C в течение 2 или 20 ч [44–46, 49].

2. Подвергали криогранулированию, т. е. водную суспензию свежеосажденного неотмытого гидрогеля замораживали, оттаивали и отмывали, а затем сушили в вышеописанных мягких условиях [43].

3. Свежеосажденный отмытый гидрогель отжимали и сушили до постоянной массы, как указано выше [35, 36].

Было установлено, что выдерживание феррогелей в солевых растворах приводит к снижению их основных свойств, причем инактивирующее влияние анионов изменяется следующим образом: $\text{ClO}_4^- < \text{Cl}^- < \text{Cl}^- + \text{SO}_4^{2-} \ll \text{SO}_4^{2-}$. Соответственно при старении феррогеля уменьшается скорость ГГ комплексов ПМ на его поверхности. Повышение продолжительности и температуры выдерживания в солевом растворе и повышение концентрации солевого раствора усиливает инактивацию геля в ГГ. При старении в растворах электролитов изменяется состав гидрогелей ОГ.

Было изучено, каким образом изменяется при старении состав гидрогелей. Так, оказалось, что даже при 2-часовой выдержке при 80 °C в растворах хлорида и сульфата натрия ферро-, индио- и цирконогели теряют от 20 до 60 % содержащейся в них воды, тогда как титаногели почти не изменяют ее содержания, а хромогели даже несколько увеличивают. Снижение содержания воды в гидрогелях можно объяснить протеканием дополнительных реакций оксолиации гелей при нагревании и под действием растворов с высокой ионной силой. Исходя из литературных данных о том, что при щелочном гидролизе оляция и оксолиация, за счет которых происходит полимеризация гидролизованных катионов металлов, протекает очень быстро, мы сделали вывод, что метастабильные микроструктуры в гидрогелях (рентгеноаморфных) образуются непосредственно в момент гидролитического осаждения, что особенно ярко выражено для ОГ хрома, циркония и титана, у ОГ железа протекает значительно медленнее, как следует из литературы, что и отражается в более заметных изменениях феррогелей при старении. ОГ индия кристаллизован в значительно большей степени (т.е. заметно) уже свежеосажденный. Установлено также, что гидрогели ОГ содержат заметные количества **анионов исходной соли** (первичные примесные ионы), содержание которых уменьшается с увеличением pH_{oc} . Содержание вторичных примесных ионов (из раствора фонового электролита) на порядок ниже, чем первичных. Вероятно, это объясняется

Физическая химия

тем, что первичные примесные ионы распределены по всему объему геля, а вторичные – только на поверхности. При старении содержание первичных примесей снижается.

Соответственно, при старении снижаются и значения рН_{тнз}, определяемые для разных рН_{ос}. Истинные значения рН_{тнз} также изменяются; это удалось зафиксировать для ОГ циркония и хрома. После 2-часовой выдержки при 80 °C в растворе хлорида натрия истинный рН_{тнз} для цирконогеля с 9,2 снизился до ~6, а после 2-часовой выдержке при 80 °C в растворе сульфата натрия – до ~8,7; для хромогеля, соответственно, от 7,9 до 6,5 и 8,2.

Было изучено, как старение гидрогелей ОГ железа, титана, циркония и хрома сказывается на их сорбционной активности в реакции ГГ. Здесь роль старения не одинакова. Так, для титаногелей наблюдается инактивация образца только при высоком рН_{ос} (10), а при рН_{ос} = 7 K_h остается постоянной в пределах доверительного интервала. Для цирконо- и феррогелей во всех случаях наблюдается снижение K_h , не слишком сильное, но заметное, и при старении в сульфатном растворе – более сильное. Для хромогеля во всех случаях имеет место явное и значительное возрастание K_h . Таким образом, видно, что результаты и механизм старения гидрогелей разных ОГ различен [46].

Итак, хромогель в отношении старения резко отличается от прочих, но во всех остальных отношениях он отличается только несимметричным электронным строением *d*-подуровня атома хрома. Видимо, найденные нами в литературе указания на особенно замечательные сорбционные свойства хромогеля имеют глубокий смысл.

Способ криогранулирования был нами использован только для феррогелей. В результате криогранулирования мы во всех случаях получали рентгеноаморфный Fe(OH)₃ с небольшой примесью гетита. Определение рН_{тнз} и скоростей ГГ показало, что криогранулирование сильно снижает основные свойства ОГ железа и даже устраниет их зависимость от рН_{ос} и уменьшает скорость ГГ. По-видимому, разделение фаз при замораживании суспензии приводит к удалению не только избыточной щелочи маточного раствора, но и большей части сорбированной. В результате разница рН_{тнз} образцов с рН_{ос} 7,5 и 11,0 уменьшилась с 3,0 ед. до 0,6, а K_h ГГ хлороиридат-иона при 80 °C снижается в 2–8 раз. Замораживание стабилизирует свойства ОГ железа, хотя и снижает его сорбционную активность и основные свойства. Простое высушивание свежеосажденных феррогелей в тех же условиях приводит к получению менее обводненных образцов (Fe₂O₃·*n*H₂O, где *n* < 3), более основных и сорбционно активных, чем криогранулированные.

В связи с полученными данными по старению нами было поставлено следующее специальное исследование [47, 48]. Дело в том, что исследователей обычно интересуют емкость сорбента, степень извлечения, реже кинетика и механизм сорбции, но крайне редко – вопрос о дальнейших превращениях использованных сорбентов. Однако этот вопрос очень важен, так как зачастую использованные сорбенты хранят или захоранивают, и тогда они могут стать источниками вторичного загрязнения окружающей среды или старение сделает затруднительным их дальнейшую переработку. Было изучено долговременное старение гидрогелей ОГ железа, титана, циркония, алюминия и хрома, которые сразу после получения были насыщены катионами цветных металлов (ЦМ): Cu, Ni, Pb, Cr, Cd. Старение проводили в 0,25 M растворе NaCl при комнатной температуре. Контролировали pH суспензии и концентрацию сорбата в растворе в течение нескольких (2–3) лет через промежутки времени продолжительностью от недели до месяца. В качестве контрольных образцов использовали свежеосажденные ОГ без сорбата.

Для всех изученных систем, как основных, так и контрольных, кроме систем Ti-гель/Cd и Cr-гель/Cd, наблюдали самопроизвольное подкисление суспензий во времени. В качестве механизма этого процесса предложено рассматривать дальнейшую полимеризацию гидрогелей за счет оксоляции. Степень подкисления сильно зависит от природы и сорбента и сорбата. В контрольных экспериментах Al > Zr > Ti > Fe ≥ Cr. В основных экспериментах существует зависимость степени подкисления от природы как центрального иона ОГ, так и от природы сорбированного катиона. Для сорбированных катионов меди, никеля и свинца это Al > Fe > Zr > Ti > Cr, катиона хрома – Al > Zr > Fe > Ti, катиона кадмия – Fe > Al > Zr > Ti > Cr. Видно, что, вне зависимости от природы сорбата, наиболее устойчивой системой является ОГ хрома, а наименее – алюминия. Наконец, в системах с одним и тем же сорбентом однозначная зависимость степени подкисления от природы сорбата отсутствует, но чаще всего наибольшее подкисление соответствует сорбированным катионам меди и никеля, а наименьшее – свинца и кадмия.

В контрольных системах за 200 суток значительных изменений pH во времени не наблюдали. В системах с сорбатом все изменения pH находятся в интервале 8,5–6,0, кроме ОГ алюминия с интервалом 8,5–5,0. Для систем с ОГ алюминия, железа и титана почти исчезает супензионный эффект (разница в pH супензии и фильтрата), который характерен для систем с заряженной поверхностью, что указывает на почти полное исчезновение заряда поверхности ОГ за счет старения с сорбатом (рис. 12), что в ряде случаев подтверждается десорбцией сорбата, в наибольшей степени десорбируется кадмий с поверхности ОГ железа, алюминия и циркония. С поверхности алюмогеля заметно десорбируются также свинец и никель. Хромо-, титано- и цирконогелипрочно удерживают сорбированные катионы в процессе старения.

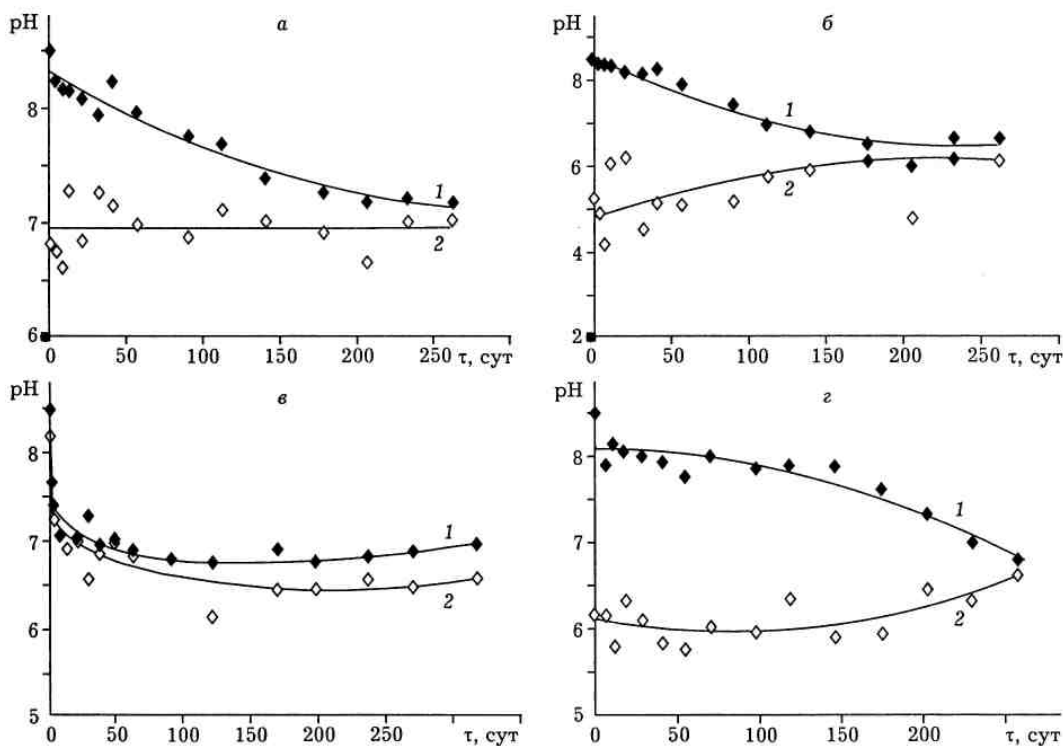


Рис. 12. Изменение кислотности супензии (1) и фильтрата (2) при старении оксигидроксидов в 0,25 М растворе NaCl при комнатной температуре: а – Fe-гель; б, г – Zr-гель; в – Al-гель; а, б – в отсутствие сорбата; в, г – с сорбатом Cd²⁺ и Cr³⁺ соответственно

По полулогарифмической зависимости активности протонов от времени рассчитали константы скорости подкисления (оксолиации) ОГ, которые находятся в пределах 10^{-7} – 10^{-8} с⁻¹ при комнатной температуре, для алюмогеля ($0,7$ – $3,5$)· 10^{-6} с⁻¹.

Случаи наиболее интенсивного старения (ферро- и алюмогели) были исследованы более подробно. Установлено, что феррогели с сорбированными ЦМ в результате старения в течение 2–3 лет в указанных условиях теряют 60–80 % исходного содержания воды (больше всего с сорбированными катионами свинца и кадмия) и кристаллизуются: по типу гематита (с Cu²⁺, Ni²⁺, Cd²⁺ и контрольный) или по типу гематита с примесью гетита (с Pb²⁺, Cr³⁺). В системах с Cu²⁺, Ni²⁺ наблюдается сильное снижение pHнз и супензионного эффекта, в остальных случаях – незначительное. Изучили также старение алюмогелей в растворах электролитов при нагревании [49]. Подтвердилось, что из всех изученных гидрогелей ОГ алюмогель стареет (и в этих условиях) наиболее интенсивно. pHнз снижается на 1,5–2,0 ед. В результате 18-часовой выдержки в 0,5 М растворе сульфата и хлорида натрия зависимость pHнз алюмогеля от концентрации электролита почти исчезает. Алюмогель при этом кристаллизуется до диаспора или кубического тригидроксида (при выдержке в растворах NaCl) или до бемита (при выдержке в растворах Na₂SO₄).

Изучение литературы, которое первоначально производилось в поисках сведений о pHнз и поверхностных свойствах ОГ, привело нас к выводу, что не только имевшиеся сведения о сорбции ПМ не были результатами систематических исследований, но что такие систематические ис-

следования отсутствовали и для сорбции простых ионов, особенно в отношении гидрогелей [50]. Обычно объектами сорбционных исследований являлись более или менее охарактеризованные кристаллические ОГ (гетит, акаганеит, оксиды титана – рутил и анатаз, оксид хрома). Кроме того, сорбции катионов обычно уделялось гораздо больше внимания, чем сорбции анионов. Исходя из этого, мы предприняли систематическое исследование сорбции анионов гидрогелями ОГ металлов: Fe, Zr, Cr, Al [51–62]. Сначала в качестве сорбатов использовали фосфат- и арсенат-ионы, позднее к ним добавили $C_2O_4^{2-}$, CrO_4^{2-} , CO_3^{2-} , цитрат- и тартрат-ионы. Кроме того, исследовали сорбцию некоторых комплексных анионов, которые, в силу высокой термодинамической устойчивости или особенностей строения, не подвергаются ГГ: $[Fe(CN)_6]^{(3)4-}$ [54] и $[Cr(C_2O_4)_3]^{3-}$.

Была исследована зависимость сорбции фосфат- и арсенат- ионов от времени, температуры, концентраций компонентов, наличия и природы ионного фона и кислотно-основных свойств сорбентов [51, 52, 55, 56]. Для оксалат-, карбонат-, хромат-, цитрат- и тартрат-ионов, а также для комплексных анионов температурную зависимость не изучали. Было установлено, что фосфат- и арсенат-ионы, способные изменять свой заряд за счет протолиза в зависимости от кислотности среды, сорбируются в интервале pH 3–13 (где сорбенты могут существовать без растворения) в значительных количествах, независимо от знака заряда поверхности. Анионы же $[Fe(CN)_6]^{(3)4-}$ и $[Cr(C_2O_4)_3]^{3-}$, заряд которых не зависит от pH, сорбируются только на положительно заряженной поверхности. Скорость установления сорбционного псевдоравновесия для фосфат- и арсенат-ионов при комнатной температуре для ОГ железа и циркония составляет 10 мин и 2 ч, соответственно, а для хромогеля – сутки. Изотермы сорбции принадлежат к нескольким разновидностям (рис. 13), все они полностью или частично могут быть обработаны по уравнению Ленгмюра (для фосфата и арсената в ряде случаев получаются ступенчатые изотермы, 1-я ступень которых описывается уравнением Ленгмюра).

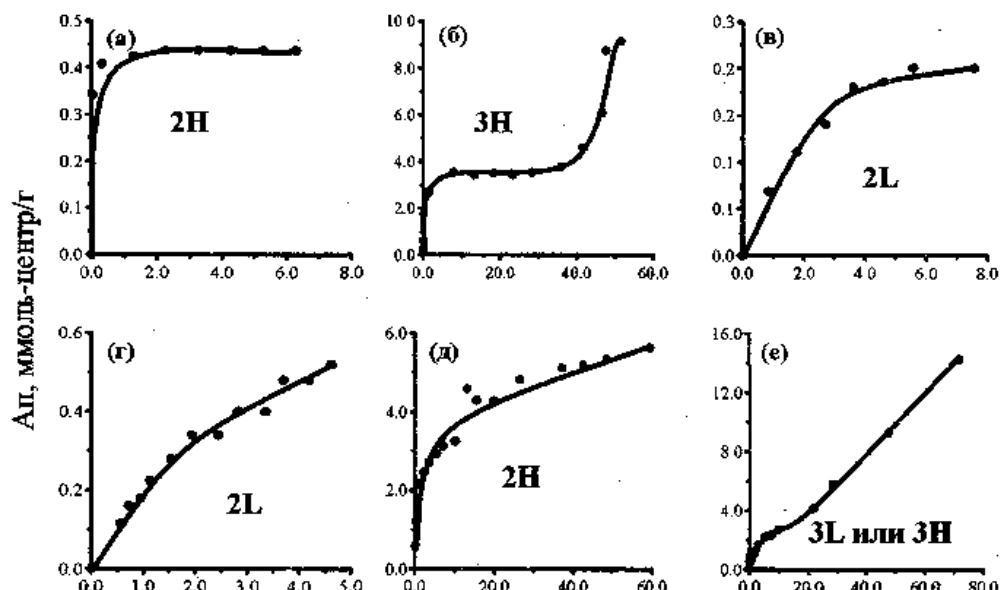


Рис. 13. Примеры изотерм сорбции: а – $[Fe(CN)_6]^{3-}$ -ионов на Fe-гелях, pH_{oc} 7, б/ф; б – фосфат-ионов на Fe-гелях, pH_{oc} 4, б/ф; в – $[Fe(CN)_6]^{3-}$ -ионов на Zr-гелях, pH_{oc} 6, 0,5 М NaCl; г – $[Fe(CN)_6]^{(3)4-}$ -ионов на Zr-гелях, pH_{oc} 6, 0,167 М Na_2SO_4 ; д – фосфат-ионов на Cr-гелях, pH_{oc} 11, 0,5 М NaCl; е – арсенат-ионов на Fe-гелях, pH_{oc} 9, б/ф

В современной литературе сорбцию наиболее часто рассматривают как поверхностное комплексообразование, соответственно, даны определения внутри- и внешнесферного сорбционного комплекса (СК) [63, 64]. Внутрисферным СК (ВнСК) называют случай, когда сорбат внедряется в слой Гельмгольца двойного электрического слоя (ДЭС) поверхности и соприкасается с ней непосредственно (не через слой гидратной воды), а внешнесферным (ВшСК) – когда ионы сорбата остаются на внешней границе ДЭС и сохраняют свои гидратные оболочки. Мы показали, что фосфат- и арсенат-ионы образуют ВнСК, а комплексные анионы – ВшСК. Установлена зависи-

мость величин предельной сорбции и констант уравнения Ленгмюра для изученных сорбатов от pH_{oc} гидрогелей ОГ. Показано, что присутствие фонового электролита (хлорида и сульфата натрия) не препятствует сорбции фосфат- и арсенат-ионов, но различным образом влияет на сорбцию $[\text{Fe}(\text{CN})_6]^{4-}$ и $[\text{Fe}(\text{CN})_6]^{3-}$: хлоридный фон снижает сорбцию обоих комплексов, а сульфатный – даже подавляет сорбцию $[\text{Fe}(\text{CN})_6]^{3-}$ на ферро- и цирконогелях, но не на хромогелях. Комплексные анионы могут сорбироваться только на положительно заряженной поверхности.

Отмечено резкое отличие в сорбционном поведении ферро- и цирконогелей, с одной стороны, которые очень сходны друг с другом, и хромогелей с другой. Выше уже было отмечено, что сорбционное псевдоравновесие на хромогелях устанавливается очень медленно. Установлено, что при исходных концентрациях фосфат-ионов ~ 4 ммоль/л сорбция имеет характер реакции первого порядка по концентрации сорбата с E_a , равной 73 ($\text{pH}_{\text{oc}} 9,0$) и 43 кДж/моль. Фоновый электролит способствует сорбции фосфата и особенно сорбции гексацианоферрат-ионов на хромогелях. Изотерма сорбции арсенат-ионов на хромогелях имеет линейную форму.

Было изучено влияние сорбированных фосфат- и арсенат-ионов на величину $\text{pH}_{\text{tнз}}$ ферро-, цирконо- и хромогелей с $\text{pH}_{\text{oc}} 9,0$ [56]. Сорбция анионов HPO_4^{2-} приводит к повышению $\text{pH}_{\text{tнз}}$ свежеосажденных гидрогелей, а анионов H_2AsO_4^- – наоборот, к снижению. Вероятно, это связано с гораздо большей кислотностью дигидроарсената по сравнению с гидрофосфатом. Старение гидрогелей с сорбированными анионами в растворах электролитов приводит, в случае сорбированного фосфата, к некоторому снижению $\text{pH}_{\text{tнз}}$, а в случае арсената – к некоторому повышению. При математической обработке изотерм сорбции фосфата оказалось, что если величину сорбции выражать не в моль/г, а в моль-центрах/г, то область применимости уравнения Ленгмюра к изотермам значительно расширяется. (1 моль-центр – количество монодентатных сорбционных центров, СЦ, равное числу Авогадро.) При обработке мы принимали, что однозарядный анион занимает на поверхности 1 СЦ, двухзарядный – 2 и т. д. Поскольку в зависимости от pH среды фосфат-ион может существовать в виде 3 разновидностей, а также их смеси, для выражения сорбции в моль-центрах нужно умножить сорбцию в моль/г на усредненный заряд иона, рассчитанный для данного pH из констант диссоциации соответствующей кислоты. Из полученного материала следует, что не только разные ионы по-разному ведут себя по отношению к одному и тому же сорбенту, но и разные сорбенты ведут себя по-разному по отношению к одному и тому же иону.

Вопрос о том, является ли сорбция того или иного иона внутри- или внешнесферным комплексообразованием, – один из наиболее спорных в современных сорбционных исследованиях. Еще никто не рассматривал этого вопроса с кинетической точки зрения. Хотя логично предположить, что если классические комплексы металла с ацидолигандом неустойчивы и лабильны, то сорбция данного аниона на поверхности соответствующего металла должна протекать быстро и наоборот, но корреляция между устойчивостью комплекса и сорбируемостью аниона отсутствует (анализ литературных данных). Например, (псевдо)галогениды образуют с железом и хромом прочные и инертные комплексы, но слабо сорбируются соответствующими ОГ.

Мы предположили, что если сорбция анионов ОГ происходит путем замещения поверхностных молекул воды, то должна быть взаимосвязь между скоростью установления сорбционного равновесия и скоростью обмена воды в аквакомплексах ц.и. ОГ. Это предположение было экспериментально проверено [65] для ОГ металлов, для которых известны соответствующие константы скорости обмена воды, с^{-1} : $\text{Fe} - 3 \cdot 10^3$, $\text{Cr} - 5 \cdot 10^{-7}$, $\text{Al} - 1$ [66]. В качестве сорбата использован гидрофосфат. Для свежеосажденных гидрогелей наблюдается одинаковая картина для всех трех ОГ. При постоянном относительном содержании сорбата и сорбента в системе при изменении pH суспензии происходит очень быстрое (~ 1 мин) перераспределение фосфата между раствором и гелевой фазой (табл. 7). Видно, что во всех случаях сорбция в моль/г с понижением pH возрастает, а в моль-центрах/г – остается постоянной. То есть PO_4^{3-} занимает 3 СЦ, HPO_4^{2-} – 2СЦ, H_2PO_4^- – 1СЦ. В результате длительной выдержки сорбента в контакте с фосфатом при нагревании картина изменяется: для хромогеля изменение pH среды уже не приводит к перераспределению сорбата. В случае ферро- и алюмогеля количество используемых СЦ сокращается в 1,5 раза при переходе из щелочной области в кислую.

Таблица 7

Перераспределение фосфат-ионов при сорбции на свежеосажденных ОГ на фоне 0,5 М NaCl

| Феррогель, pH _{oc} =8,1 C _{исх} =31,36 ммоль/л | | | Алюмогель, pH _{oc} =8,3 C _{исх} =29,3 ммоль/л | | | Хромогель, pH _{oc} =9,0 C _{исх} =31,04 ммоль/л | | |
|---|---------------|------------------------|--|---------------|------------------------|---|---------------|------------------------|
| pH _{суп} | A, ммоль/г | A, ммоль- центров/г | pH _{суп} | A, ммоль/г | A, ммоль- центров/г | pH _{суп} | A, ммоль/г | A, ммоль- центров/г |
| 11,14 | 1,25 | 2,97 | 10,77 | 1,97 | 4,34 | 10,97 | 0,99 | 2,26 |
| 10,87 | 1,33 | 2,99 | 10,67 | 2,12 | 4,61 | 10,69 | 0,76 | 1,66 |
| 10,41 | 1,38 | 2,87 | 10,19 | 2,33 | 4,82 | 10,01 | 0,96 | 1,96 |
| 8,73 | 1,63 | 3,23 | 8,86 | 2,85 | 5,66 | 8,63 | 1,25 | 2,47 |
| 6,94 | 1,94 | 2,88 | 7,07 | 3,91 | 6,02 | 7,20 | 1,70 | 2,74 |
| 5,68 | 2,34 | 2,47 | 4,87 | 5,81 | 5,85 | 6,23 | 1,94 | 2,22 |

Из этих наблюдений были сделаны следующие выводы: 1) образование СК происходит путем замещения воды в гидратной оболочке поверхностных атомов металла ОГ; 2) число занимаемых ионом сорбата СЦ равно его заряду; 3) образец ОГ, полученный в определенных условиях, имеет постоянное число СЦ; 4) при непродолжительном контакте гидрогеля ОГ с раствором фосфата последний образует с поверхностью всех трех ОГ ВнСК, а при длительной выдержке СК на поверхности хромогеля полностью превращается в инертный ВнСК. Для алюмо- и феррогелей такого полного превращения не происходит.

Затем были изучены закономерности сорбции некоторых других анионов (оксалат, карбонат, хромат и тартрат) с целью уяснить влияние заряда и конфигурации анионов и их способности к протонированию [61]. Было установлено, что изотермы сорбции всех этих анионов также описываются уравнением Ленгмюра. Определены константы уравнения. Характеристики анионов и сравнительные данные по сорбции приведены в табл. 8 и 9.

Видно, что в большинстве случаев наилучшей сорбируемостью обладает фосфат-ион. Плоскостная конфигурация аниона не дает существенных преимуществ в отношении сорбируемости. Очень значительна сорбируемость карбонат-иона. Наименьшей сорбируемостью, в общем, обладают хромат- и сульфат-ионы, причем на алюмогелях сульфат препятствует сорбции хромата [61].

Была изучена конкурентная сорбция [60] в бинарных системах (при совместном присутствии) в парах оксалат – хромат, оксалат – карбонат, хромат – карбонат, хромат – фосфат. Все конкурирующие ионы подавляют сорбцию хромата; полнота подавления: фосфат > карбонат > оксалат. Карбонат также в значительной степени подавляет сорбцию оксалата.

В связи с тем, что была зафиксирована различная сорбция одного и того же иона по отношению к гидрогелям ОГ одного и того же металла, полученным из разных солей-прекурсоров, была изучена сорбционная способность ОГ, полученных из хлоридов, нитратов, перхлоратов и сульфатов железа и алюминия, по отношению к оксалат- и хромат-ионам [62]. Найдено, что сорбционная активность по отношению к оксалат-ионам следующим образом зависит от природы прекурсора: $\text{Al}_2(\text{SO}_4)_3 > \text{Al}(\text{NO}_3)_3 > \text{AlCl}_3 > \text{ZrO}(\text{NO}_3)_2 > \text{Fe}_2(\text{SO}_4)_3 > \text{FeCl}_3 > \text{Fe}(\text{ClO}_4)_3$. ОГ железа, осажденный при pH 4, представляет собой пентаоксисульфат железа (III). Хотя последний и алюмогель обладают наибольшей сорбционной способностью по отношению к $\text{C}_2\text{O}_4^{2-}$, но это преимущество исчезает в присутствии сульфат-ионов. Цирконогель обладает плохо воспроизводимыми свойствами. Наиболее устойчивым в работе является феррогель, полученный их хлорного железа.

По отношению к хромат-ионам в хлоридной среде наблюдается следующий ряд сорбционной активности ОГ для прекурсоров: $\text{Al}_2(\text{SO}_4)_3 > \text{Fe}_2(\text{SO}_4)_3 > \text{FeCl}_3 > \text{Al}(\text{NO}_3)_3 > \text{Fe}(\text{ClO}_4)_3$, а в сульфатной среде: $> \text{Fe}_2(\text{SO}_4)_3 > \text{FeCl}_3 > \text{Fe}(\text{ClO}_4)_3 > \text{Al}_2(\text{SO}_4)_3 > \text{Al}(\text{NO}_3)_3$. Наблюдаемые явления мы объяснили влиянием структурных остаточных и поверхностных сорбированных сульфат-ионов. Считали, на основании литературных данных [42], что структурные остаточные ионы препятствовали полимеризации металл-кислородных цепей, обеспечивая очень высокую удельную поверхность сульфатных. В последнем вопросе есть еще очень много неясностей. Особенно непонятен случай в тройной системе: алюмогель – хромат – сульфат, потому что сульфат подавляет сорбцию хромата не только на сульфатном, но даже на нитратном геле. Случай следовало бы изучить специально.

Таблица 8

Характеристики сорбируемых анионов

| Состав | Обозна- чение | K_d соотв- етствующих 25°C | Соотношение ионных форм | | | Размер, нм | Конфигурация |
|---|------------------|---|---|---|---|-----------------------|---------------------------------------|
| | | | pH=5,0 | pH=9,0 | pH=11,0 | | |
| PO_4^{3-} | Ph | $K_1=7,9 \cdot 10^{-3}$ $K_2=10^{-7}$ $K_3=4,5 \cdot 10^{-12}$ | $[\text{HPO}_4^{2-}]/[\text{H}_2\text{PO}_4^-] = 10^{-2};$ $[\text{PO}_4^{3-}]/[\text{HPO}_4^{2-}] = 4,5 \cdot 10^{-7}$ | $[\text{HPO}_4^{2-}]/[\text{H}_2\text{PO}_4^-] = 10^2;$ $[\text{PO}_4^{3-}]/[\text{HPO}_4^{2-}] = 4,5 \cdot 10^{-3}$ | $[\text{PO}_4^{3-}]/[\text{HPO}_4^{2-}] = 0,45$ | Радиус сферы 0,154 | Тетраэдр |
| CO_3^{2-} | Carb | $K_1=4,45 \cdot 10^{-7}$ $K_2=4,69 \cdot 10^{-11}$ | $[\text{CO}_3^{2-}]/[\text{HCO}_3^-] = 4,69 \cdot 10^{-6}$ | $[\text{CO}_3^{2-}]/[\text{HCO}_3^-] = 4,69 \cdot 10^{-2}$ | $[\text{CO}_3^{2-}]/[\text{HCO}_3^-] = 4,69$ | Радиус круга 0,129 | Равносторон- ний треуголь- ник |
| CrO_4^{2-} | Chr | $K_1=1,8 \cdot 10^{-1}$ $K_2=3,2 \cdot 10^{-7}$ | $[\text{CrO}_4^{2-}]/[\text{HCrO}_4^-] = 3,2 \cdot 10^{-2}$ | $[\text{CrO}_4^{2-}]/[\text{HCrO}_4^-] = 3,2 \cdot 10^2$ | $[\text{CrO}_4^{2-}]/[\text{HCrO}_4^-] = 3,2 \cdot 10^{-4}$ | Радиус сферы 0,165 | Тетраэдр |
| SO_4^{2-} | Su | $1,2 \cdot 10^{-2}$ | $[\text{SO}_4^{2-}] \approx 100\%$ | $[\text{SO}_4^{2-}] = 100\%$ | $[\text{SO}_4^{2-}] = 100\%$ | Радиус сферы 0,148 | Тетраэдр |
| $\text{C}_2\text{O}_4^{2-}$ | Ox | $K_1=6,5 \cdot 10^{-2}$ $K_2=6,1 \cdot 10^{-5}$ | $[\text{C}_2\text{O}_4^{2-}]/[\text{HC}_2\text{O}_4^-] = 6,1$ | $[\text{C}_2\text{O}_4^{2-}]/[\text{HC}_2\text{O}_4^-] = 6,1 \cdot 10^4$ | $[\text{C}_2\text{O}_4^{2-}]/[\text{HC}_2\text{O}_4^-] = 6,1 \cdot 10^6$ | По диагонали 0,44 | — |
| $(\text{CHOH})_2(\text{COO})_2^{2-}$ | Tart | $K_1=6,0 \cdot 10^{-4}$ $K_2=1,53 \cdot 10^{-5}$ | $[\text{Htar}^2]/[\text{H}_2\text{tar}] = 60$ $[\text{tar}^2]/[\text{Htar}] = 1,53$ | $[\text{Htar}^2]/[\text{H}_2\text{tar}] = 6,0 \cdot 10^5;$ $[\text{tar}^2]/[\text{Htar}] = 1,53 \cdot 10^4$ | $[\text{tar}^2]/[\text{Htar}] = 1,53 \cdot 10^6$ | Длина 0,75 | Цепь |
| $\text{C}(\text{OH})(\text{CH}_2)_2(\text{COO})_3^{3-}$ | Zit | $K_1=8,6 \cdot 10^{-4}$ $K_2=1,7 \cdot 10^{-5}$ $K_3=4,0 \cdot 10^{-6}$ | $[\text{H}_2\text{Zit}]/[\text{H}_3\text{Zit}^-] = 86;$ $[\text{HZit}^2]/[\text{H}_2\text{Zit}^-] = 1,7$ $[\text{Zit}^3]/[\text{HZit}^2] = 0,4$ | $[\text{HZit}^2]/[\text{H}_2\text{Zit}^-] = 1,7 \cdot 10^4$ $[\text{Zit}^3]/[\text{HZit}^2] = 4,0 \cdot 10^3$ | $[\text{HZit}^2]/[\text{H}_2\text{Zit}^-] = 1,77 \cdot 10^6$ $[\text{Zit}^3]/[\text{HZit}^2] = 4,0 \cdot 10^5$ | Cм. текст | Уплощенная трехгранная пирамида |

Физическая химия

Ряды относительной сорбируемости анионов в разных условиях

Таблица 9

| ОГС | Ионный фон | pH _{oc} | Характеристика | Ряд сорбируемости | |
|---------|------------|------------------|----------------|------------------------------------|--|
| Fe-гель | NaCl | 5,0 | A_{∞} | Ph > Ox ≈ Carb > Chr ≈ Tart > Zit | |
| | | | K | Zit > Chr > Tart > Carb > Ph > Ox | |
| | | | N* | Ph > Ox ≈ Carb ≥ Zit > Chr > Tart | |
| | Na_2SO_4 | 9,0 | A_{∞} | Ph > Carb > Tart > Chr > Ox | |
| | | | K | Ph > Carb ≈ Tart > Chr > Ox | |
| | | | N | Ph > Tart > Carb ≈ Chr > Ox | |
| | Na_2SO_4 | 5,0 | A_{∞} | Ph > Carb > Ox > Tart ≈ Chr | |
| | | | K | Ph ≈ Tart > Chr > Ox > Carb | |
| | | | N | Ph > Carb > Ox > Chr ≈ Tart | |
| Al-гель | NaCl | 6,0 | A_{∞} | Ph > Carb > Ox > Tart > Zit > Chr | |
| | | | K | Tart > Ph > Ox > Zit > Carb > Chr | |
| | | | N | Ph > Carb > Ox > Zit > Tart > Chr | |
| | Na_2SO_4 | | A_{∞} | Ph > Carb > Ox > Tart >> Su >> Chr | |
| | | | K | Tart > Ox > Ph > Carb >> Chr | |
| | | | N | Ph > Carb > Ox > Tart >> Su >> Chr | |
| Zr-гель | NaCl | 4,0 | A_{∞} | Carb > Ox > Ph > Chr | |
| | | | K | Ph, Chr > Ox > Carb | |
| | | | N | Carb > Ox > Ph > Chr | |
| | Na_2SO_4 | | A_{∞} | Ph > Ox > Chr | |
| | | | K | Ph > Ox > Chr | |
| | | | N | Ph > Ox > Chr | |

* N – число занимаемых СЦ, моль-центров/моль сорбента.

Относительно возможностей сорбционной очистки водных растворов от хромата с помощью ОГ-сорбентов мы пришли к следующему выводу. Таковая возможна, если, кроме хромата, в растворах содержатся хлорид-, нитрат-, перхлорат-ионы; оксалат-ионы с концентрацией не более 2–3 ммоль/л, сульфат с концентрацией не более 0,1 моль/л. Фосфат-ионы полностью подавляют сорбцию хромата, если их концентрация равна или выше, чем хромата. Нежелателен также контакт с атмосферой с высоким содержанием углекислоты, но обычный атмосферный уровень содержания CO₂ заметного влияния не оказывает. Необходимый расход сорбента – 3–4 кг/м³, и в зависимости от состава раствора может варьироваться от 1 до 10 кг/м³.

Это обзорное изложение более чем 35-летней работы было прочитано автором и руководителем этого исследования в качестве курса лекций на кафедре экологии и природопользования (ЭкиП) Южно-Уральского государственного университета. Обзоры по отдельным частям этой работы – это публикации [10, 11, 23, 28, 34, 50, 51, 67, 69, 70].

Автор благодарит своих соавторов за многолетнее плодотворное сотрудничество.

Литература

1. О состоянии платиновых металлов в сульфатно-хлоридных растворах в присутствии неблагородных металлов / Ю.Н. Кукушкин, С.А. Симанова, Е.П. Леоненко, В.П. Алашкевич // Изв. СО АН СССР. Сер. хим. наук. – 1970. – Вып. 4. – № 9. – С. 42–46.
2. Новиков, А.И. Разделение рутения, родия и палладия соосаждением с гидроокисью железа. / А.И. Новиков, С. Рустамов. // Журн. неорган. химии. – 1971. – Т. 13, № 1. – С. 134–136.

3. Симанова, С.И. Комплексообразование платиновых металлов при сорбции гранулированными ионитами и хелатообразующими сорбентами. / С.И. Симанова, Ю.Н. Кукушкин // Изв. вузов. Химия и хим. технология. – 1985. – Т. 28, № 3. – С. 3–15.
4. Гринберг, А.А. Введение в химию комплексных соединений / А.А. Гринберг. – М.; Л.: Наука, 1966. – 631 с.
5. Аналитическая химия платиновых металлов / С.И. Гинзбург, Н.А. Езерская, И.В. Прохофьев и др. – М.: Наука, 1972. – 613 с.
6. О состоянии платиновых металлов в растворах, полученных при хлорировании никельсодержащих сплавов, окислов и сульфидов. / С.А. Симанова, Е.И. Маслов, Л.Г. Мельгунова, Ю.Н. Кукушкин // Журн. приклад. химии. – 1976. – Т. 49, № 12. – С. 2608–2612.
7. О формах нахождения платины, родия и иридия в сульфатно-хлоридных электролитах при анодном растворении бинарных сплавов с никелем. / С.А. Симанова, Ю.Н. Кукушкин, Е.И. Маслов, Г.П. Гурьянова // Изв. СО АН СССР. Сер. хим. наук. – 1974. – Вып. 2, № 4. – С. 67–70.
8. Борбат, В.Ф. Поведение платиновых металлов при растворении платинусодержащих анодов / В.Ф. Борбат, О.Н. Семенова. – М.: Цветметинформация, 1977. – 35 с.
9. Изучение поведения комплексных сульфатов иридия в сульфатно-хлоридных растворах / Н.М. Синицын, Ю.С. Шориков, А.М. Орлов и др. // Журн. неорган. химии. – 1978. – Т. 23, № 3. – С. 741–747.
10. Печенюк, С.И. Сорбционно-гидролитическое осаждение платиновых металлов на поверхности неорганических сорбентов / С.И. Печенюк. – Л.: Наука, 1991. – 246 с.
11. Печенюк, С.И. Сорбционно-гидролитическое осаждение платиновых металлов на оксигидратах: дис. ... д-ра хим. наук / С.И. Печенюк. – Новосибирск, 1990. – 270 с.
12. Breeuwsma, A. Physical and chemical adsorption of ions in the electrical double layer on haematite / A. Breeuwsma, I. Lyklema // J. Colloid Interface Sci. – 1973. – Vol. 43, no. 2. – P. 437–448.
13. Westall, J. A comparison of electrochemical models for the oxide/solution interface / J. Westall, H. Hohl // Adv. Coll. Int. Sci. – 1980. – Vol. 18, no. 4. – P. 265–294.
14. Schindler, W. Grenzflachenchemie oxidischer mineralien / W. Schindler // Österreich. Chem. Z. – 1985. – Vol. 86, no. 6. – P. 141–146.
15. Ahmed, S.M. Studies of the Oxide Surfaces of the Liquid-Solid Interface. Part II. Iron Oxides / S.M. Ahmed, D. Maksimov // Can. J. Chem. – 1968. – Vol. 46, no. 24. – P. 3841–3846.
16. Parks, G.A. The zero point of charge of oxides / G.A. Parks, P.L. de Bruyn // J. Phys. Chem. – 1962. – Vol. 66, no. 6. – P. 967–973.
17. Parks, G.A. The isoelectric points of solid oxides, solid hydroxides and aqueous hydroxo complex system / G.A. Parks // Chem. Rev. – 1965. – Vol. 65, no. 2. – P. 177–198.
18. Адсорбция из растворов на поверхности твёрдых тел / под ред. Г. Парфита и К. Рочестера. – М.: Мир, 1986. – 486 с.
19. Surface hydroxyl site densities on metal oxides as a measure for the ion-exchange capacity / H. Tamura, A. Tanaka, K. Mita, R. Furuichi // J. Colloid Interface Sci. – 1999. – Vol. 209. – P. 225–231.
20. Печенюк, С.И. Адсорбция потенциалопределяющих ионов на поверхности оксигидратов иттрия, самария и иттербия / С.И. Печенюк // Журн. физ. химии. – 1987. – Т. 61, № 1. – С. 165–169.
21. Печенюк, С.И. Адсорбция потенциалопределяющих ионов на поверхности аморфных оксигидратов железа (III) / С.И. Печенюк, Е.В. Калинкина // Коллоид. журн. – 1990. – Т. 52. – № 4. – С. 716–721.
22. Печенюк, С.И. Кислотно-основные свойства аморфных оксигидратов железа (III) и сорбция анионов / С.И. Печенюк, Е.В. Калинкина // Журн. приклад. химии. – 1991. – Т. 64, № 1. – С. 26–31.
23. Печенюк, С.И. Гетерогенные реакции твердых фаз с непостоянной величиной поверхности и компонентов раствора переменного состава / С.И. Печенюк // Журн. физ. химии. – 1989. – Т. 63, № 8. – С. 2155–2163.
24. Высокотемпературная сорбция иридия на гематите / К.А. Большаков, Н.М. Синицын, В.В. Борисов и др. // Журн. неорган. химии. – 1985. – Т. 30, № 8. – С. 2065–2068.
25. Никольская, Л.В. О кинетике и механизме сорбции хлорокомплексов иридия (III) из разбавленных растворов на гидратированном диокside циркония / Л.В. Никольская, С.А. Симанова, Е.С. Бойчинова // Журн. приклад. химии. – 1987. – Т. 60, № 4. – С. 735–739.

Физическая химия

26. Печенюк, С.И. Сорбционные свойства титаногелей / С.И. Печенюк, Е.В. Калинкина // Журн. физ. химии. – 1993. – Т. 67, № 6. – С. 1251–1254.
27. Печенюк, С.И. Сорбционные свойства цирконогелей / С.И. Печенюк, Е.В. Калинкина // Изв. АН. Сер. хим. – 1996. – № 11. – С. 2653–2657.
28. Гетерогенный гидролиз хлорокомплексов платины, иридия и родия на поверхности оксигидроксидов железа, титана, циркония, хрома и индия / С.И. Печенюк, Е.В. Калинкина, Л.Ф. Кузьмич, С.И. Матвеенко / Координац. химия. – 1997. – Т. 23, № 10. – С. 768–772.
29. Сорбционные свойства оксигидроксидов индия / С.И. Печенюк, С.И. Матвеенко, Е.В. Калинкина, Н.Л. Михайлова // Изв. АН. Сер. хим. – 1998. – № 2. – С. 242–247.
30. Сравнительная характеристика сорбционных свойств кристаллического и аморфного оксигидроксидов самария (III) / С.И. Печенюк, Л.Ф. Кузьмич, Е.В. Калинкина, С.И. Матвеенко // Изв. АН. Сер. хим. – 1998. – № 4. – С. 583–588.
31. Sorption properties of chromium (III) amorphous oxyhydroxides / S.I. Pechenyuk, L.P. Kuz'mich, S.I. Matveenko, E.V. Kalinkina // Colloids and Surfaces. – 1998. – Vol. 144, no. 1. – P. 43–48.
32. Сорбционные свойства оксигидроксидов, получаемых щелочным гидролизом растворов солей кобальта и цинка / С.И. Печенюк, Л.Ф. Кузьмич, С.И. Матвеенко, Е.В. Калинкина // Журн. приклад. химии. – 2000. – Т. 73, № 3. – С. 397–402.
33. Печенюк, С.И. Сорбционные свойства свежеосажденных алюмогелей / С.И. Печенюк, В.В. Семушин // Изв. АН. Сер. хим. – 2003. – № 1. – С. 60–64.
34. Печенюк, С.И. Сорбционные свойства гидрогелей оксигидроксидов переходных и р-металлов / С.И. Печенюк // Изв. АН. Сер. хим. – 1999. – № 2. – С. 229–237.
35. Физико-химическое исследование ксерогелей оксигидроксидов железа (III), хрома (III) и индия (III) / С.И. Печенюк, Н.Л. Михайлова, Л.Ф. Кузьмич, Т.И. Макарова // Журн. неорган. химии. – 2003. – Т. 48, № 8. – С. 1255–1265.
36. Печенюк, С.И. Физико-химическое исследование ксерогелей оксигидроксидов титана (IV) и циркония (IV) / С.И. Печенюк, Н.Л. Михайлова, Л.Ф. Кузьмич // Журн. неорган. химии. – 2003. – Т. 48, № 9. – С. 1420–1425.
37. Some physicochemical Properties of Chromium (III) Hydrous Oxide – Aqueous Solution Interface / C.E. Giacomelli, M.J. Avena, O.R. Camara, C.P. De Pauli // J. Colloid Interface Sci. – 1995. – Vol. 169. – P. 149–160.
38. Печенюк, С.И. Оценка удельной поверхности оксигидроксидов по величинам адсорбции OH-групп / С.И. Печенюк, С.И. Матвеенко, В.В. Семушин // Изв. АН. Сер. хим. – 2000. – № 8. – С. 1329–1332.
39. Davis, J.A. Surface ionization and complexation at the oxide/water interface. II. Surface properties of amorphous iron oxyhydroxide and adsorption of metal ions / J.A. Davis, J.O. Leckie // J. Colloid Interface Sci. – 1978. – Vol. 67. – P. 90–107.
40. Исследование гидрогелей Fe(III), рентгеноаморфных продуктов их старения и термической дегидратации магнитными методами / А.В. Голован, П. Криворучко, Р.А. Буянов, Б.П. Золотовский // Изв. СО АН СССР. Сер. хим. – 1981. – Вып. 4, № 9. – С. 70–78.
41. Formation and Crystallization of Fe(III) Hydroxides. Influence of precipitation temperature and the nature of the starting Fe(III) salt on Fe(III) hydroxide crystallization in alkaline medium / O.P. Kri-voruchko, B.P. Zolotovskii, R.A. Buyanov, A. Šolcová, Dr.J. Šubrt // Zeitschrift für anorganische und allgemeine Chemie. – 1983. – Vol. 504. – P. 179–186.
42. Давыдов Д.Ю. Гидролиз катионов Fe^{3+} с образованием полиядерных гидроксокомплексов в присутствии перхлорат-, хлорид-, нитрат- и сульфат-анионов в растворе / Д.Ю. Давыдов // Журн. неорган. химии. – 2005. – Т. 50, № 6. – С. 1043–1046.
43. Состав и свойства криогранулированных оксигидратов железа (III) / С.И. Печенюк, Е.В. Калинкина, Р.А. Попова и др. / Журн. приклад. химии. – 1991. – Т. 64, № 1. – С. 31–36.
44. Печенюк, С.И. Изменение кислотно-основных свойств гидрогелей оксигидроксидов металлов при старении в растворах электролитов / С.И. Печенюк, С.И. Матвеенко // Изв. РАН. Сер. хим. – 2000. – № 8. – С. 1329–1332.
45. Печенюк, С.И. Изменение состава гидрогелей оксигидроксидов металлов при старении в растворах электролитов / С.И. Печенюк, Л.Ф. Кузьмич // Журн. неорган. химии. – 2000. – Т. 45, № 9. – С. 1462–1467.

46. Pechenyuk, S.I. Changes in the adsorption activity of metal oxyhydroxide hydrogels during their ageing in electrolyte solutions / S.I. Pechenyuk, L.P. Kuzmich // Colloids and Surfaces A. – 2001. – Vol. 180. – P. 259–266.
47. Печеник, С.И. Старение оксигидроксидных сорбентов, насыщенных катионами цветных металлов / С.И. Печеник, В.В. Семушин, Т.Г. Кашулина // Химия в интересах устойчивого развития. – 2003. – Т. 11, № 4. – С. 663–669.
48. Печеник, С.И. Влияние сорбионных катионов цветных металлов на старение оксигидроксида железа (III) / С.И. Печеник, В.В. Семушин // Сорбц. и хроматогр. процессы. – 2008. – Т. 8, № 1. – С. 106–112.
49. Печеник, С.И. Кислотно-основные свойства поверхности гидрогелей оксигидроксида алюминия / С.И. Печеник, В.В. Семушин, И.В. Архипов // Изв. Челябинского науч. центра УрО РАН. – 2006. – № 4. – С. 64–68.
50. Печеник, С.И. Сорбция анионов на оксигидроксидах. / С.И. Печеник // Сорбц. и хроматогр. процессы. – 2008. – Т. 8, № 3. – С. 380–429.
51. Семушина, Ю.П. Сорбция анионов из водных растворов гелеобразными оксигидроксидами железа (III), хрома (III) и циркония (IV): дис. ... канд. хим. наук. / Ю.П. Семушкина. – Челябинск, 2009. – 179 с.
52. Печеник, С.И. Оценка удельного содержания и природы сорбционных центров оксигидроксидов железа (III) и циркония (IV) / С.И. Печеник, Ю.П. Семушкина, Л.Ф. Кузьмич // Изв. АН. Сер. хим. – 2005. – № 8. – С. 1736–1741.
53. Печеник, С.И. Пористость некоторых ксерогелей оксигидроксидов железа (III), хрома (III) и циркония (IV) / С.И. Печеник, Ю.П. Семушкина, Ю.В. Иванов // Журн. неорган. химии. – 2006. – Т. 51, № 2. – С. 233–236.
54. Печеник, С.И. Сорбция ионов $[Fe(CN)_6]^{3-}$ и $[Fe(CN)_6]^{4-}$ из водных растворов на поверхности гидрогелей оксигидроксидов Fe(III), Cr(III), Zr(IV) / С.И. Печеник, Ю.П. Семушкина, Л.Ф. Кузьмич // Журн. физ. химии. – 2006. – Т. 80, № 10. – С. 1902–1907.
55. Печеник, С.И. Сорбция фосфат-ионов на оксигидроксидах Fe (III), Cr (III), Zr (IV) из водных растворов электролитов / С.И. Печеник, Ю.П. Семушкина // Журн. физ. химии. – 2006. – Т. 81, № 8. – С. 1473–1478.
56. Семушкина, Ю.П. Кислотно-основные свойства поверхности гидрогелей оксигидроксидов железа (III), циркония (IV) и хрома (III) / Ю.П. Семушкина, С.И. Печеник // Вестник ЮУрГУ. Сер. «Математика, физика, химия». – 2006. – Вып. 7. – № 7 (62) – С. 244–247.
57. Печеник, С.И. Сорбция оксалат-ионов феррогелями / С.И. Печеник, Л.Ф. Кузьмич, Ю.П. Семушкина // Сорбц. и хроматогр. процессы. – 2010. – Т. 10, № 1. – С. 61–68.
58. Сорбция оксалат- и карбонат-ионов на цирконогелях / С.И. Печеник, Л.Ф. Кузьмич, Ю.П. Семушкина, Г.И. Кадырова // Сорбц. и хроматогр. процессы. – 2011. – Т. 11, № 3. – С. 372–381.
59. Печеник, С.И. Гелеобразные оксигидроксиды и цитрат-ионы: конкуренция между адсорбцией и комплексообразованием / С.И. Печеник, Ю.П. Семушкина, Г.И. Кадырова // Сорбц. и хроматогр. процессы. – 2012. – Т. 12, № 5. – С. 719–724.
60. Печеник, С.И. Конкурентная сорбция хромат-, оксалат- и карбонат-ионов на цирконогелях / С.И. Печеник, Ю.П. Семушкина, Л.Ф. Кузьмич // Сорбц. и хроматогр. процессы. – 2012. – Т. 12, № 2. – С. 189–195.
61. Печеник, С.И. Адсорбционное сродство анионов к оксигидроксидам металлов / С.И. Печеник, Ю.П. Семушкина, Л.Ф. Кузьмич // Журн. физ. химии. – 2013. – Т. 87, № 3. – С. 505–511.
62. Печеник, С.И. Влияние природы соли-прекурсора оксигидроксидного сорбента на сорбцию оксалат-ионов / С.И. Печеник, Л.Ф. Кузьмич, Ю.П. Семушкина // Журн. физ. химии. – 2012. – Т. 86, № 9. – С. 1584–1587.
63. Hiemstra, T. A surface structural approach to ion adsorption the charge distribution model / T. Hiemstra, W.H. van Rjemsdijk // J. Colloid Interface Sci. – 1996. – Vol. 179. – P. 488–508.
64. Hiemstra, T. Surface structural ion adsorption modeling of competitive binding of oxyanions by metal (hydr) oxides / T. Hiemstra, W.H. van Rjemsdijk // J. Colloid Interface Sci. – 1999. – Vol. 210. – P. 182–193.
65. Печеник, С.И. О природе сорбционного комплекса на поверхности оксигидроксидов металлов / С.И. Печеник, Л.Ф. Кузьмич // Сорбц. и хроматогр. процессы – 2008. – Т. 8, № 5. – С. 790–795.

Физическая химия

66. Басоло, Ф. Механизмы неорганических реакций / Ф. Басоло, Р. Пирсон. – М.: Мир, 1971. – 592 с.
67. Печенюк, С.И. Современное состояние исследований сорбции неорганических соединений из водных растворов оксигидроксидами / С.И. Печенюк // Успехи химии. – 1992. – Т. 61, № 4. – С. 711–733.
68. Добош, Д. Электрохимические константы: справ. – М.: Мир, 1980. – 365 с.
69. Печенюк, С.И. Гетерогенные реакции комплексных соединений платиновых металлов, меди и ртути с оксигидроксидами / С.И. Печенюк, Т.Г. Кашулина // Координац. химия. – 1995. – Т. 21, № 1. – С. 3–11.
70. Печенюк, С.И. Использование значений pH точки нулевого заряда для характеристики свойств оксигидроксидов / С.И. Печенюк // Изв. АН. Сер. хим. – 1999. – № 6. – С. 1029–1035.

Печенюк София Ивановна – доктор химических наук, профессор, ИХТРЭМС КНЦ РАН. 184209, г. Апатиты, Академгородок, 26а. E-mail: pechenyuk@chemy.kolasc.net.ru

**Bulletin of the South Ural State University
Series “Chemistry”
2013, vol. 5, no. 2, pp. 26–54**

THE REGULARITIES OF ANION SORPTION BY AMORPHOUS OXYHYDROXIDES (REVIEW)

S.I. Pechenyuk, ICTREM RM KSC RAS, Apatity, Russian Federation, pechenyuk@chemy.kolasc.net.ru

The main results of systematical fundamental research of anionic complexes of platinum metals, chromium and iron sorption, as well as anions that are environment pollutants (arsenate, phosphate, oxalate), by amorphous oxyhydroxides of iron, zirconium, aluminium and chromium have been summarily expounded. The sorption mechanisms are presented in the light of the modern view upon the interaction of ions with an electrically charged surface and the formation of sorption complexes.

Keywords: sorption, sorption complex, surface charge, sorption isotherm, extraction, sorption mechanism, point of zero charge.

References

1. Kukushkin Yu.N., Simanova S.A., Leonenko E.P., Alashkevich V.P. About Platinum Metal State in sulphate and chloride mixed Solutions in the Presence of non-ferrous Metals [О состоянии платиновых металлов в сульфатно-хлоридных растворах в присутствии неметаллических металлов]. *Известия SO AN СССР. Серия Хим. наук.* 1970, vol. 4, no. 9, pp. 42–46.
2. Novikov A.I., Rustamov S. The Separation of Ruthenium, Rhodium and Palladium using Precipitation with Iron Hydroxide. [Разделение родиевого, родия и палладия со сорбцией гидроксидом железа]. *Russian J. Inorg. Chem.* 1971, vol. 13, no. 1, pp. 134–136.
3. Simanova S.A., Kukushkin Yu.N. Platinum Metal Complex Formation at the Sorption with granulated Ion-Exchangers and chelating Sorbents [Комплексообразование платиновых металлов при сорбции гранулированными ионитами и хелатообразующими сорбентами]. *Известия вузов. Химия и хим. технология,* 1985, vol. 28, no. 3, pp. 3–15.
4. Grinberg A.A. *Vvedenie v chimiyu kompleksnykh soedinenii* [Introduction in Complex Compound Chemistry]. Moscow-Leningrad, Nauka, 1966, 631 p.
5. Ginzburg S.I., Ezerskaya N.A., Prokofieva I.V. a.o. *Analiticheskaya chimiya platinovich metallov* [Analytical Chemistry of Platinum Metals]. Moscow, Nauka, 1972. 613 p.
6. Simanova S.A., Maslov E.I., Melgunova L.G., Kukushkin Yu.N. About Platinum Metal State in Solutions obtained with Chlorination of Nickel-containing Alloys, Oxides and Sulphides [О состоянии платиновых металлов в растворах, полученных хлорированием никельсодержащих сплавов, оксидов и сульфидов]. *Известия вузов. Химия и хим. технология,* 1985, vol. 28, no. 3, pp. 3–15.

platinovikh metallov v rastvorakh, poluchennikh pri chlorirovaniyu nikelsoderzashchikh splavov, oxidov i sulfidov]. *Russian J. Appl. Chem.* 1976, vol. 49, no. 12, pp. 2608–2612.

7. Simanova S.A., Kukushkin Yu.N., Maslov E.I., Guryanova G.P. About Occurrence Forms of Platinum, Rhodium and Iridium in Sulphate and Chloride mixed Electrolyte at anodic Solution of double-Alloys with Nickel [O formakh nakhodeniya platini, rodiya i iridiya v sulfatno-khloridnikh elektrolytakh pri anodnom rastvorenii binarnikh splavov s nikellem]. *Izvestiya SO AN SSSR. Seriya Khim. nauk.* 1974, vol. 2, no. 4, pp. 67–70.

8. Borbat V.F., Semenova O.N. *Povedenie platinovikh metallov pri rastvorenii platinosoderzashchikh anodov* [Platinum Metal Behavior at Platinum-containing Anode Solution]. Moscow. Zhetmetinformatsiya. 1977, 35 p.

9. Sinitzin N.M., Shorikov Yu.S., Orlov A.M. a.o. The Study of Iridium Sulphate Complex Behaviour in sulphate and chloride mixed Solutions [Izuchenie povedeniya kompleksnykh sulfatov iridiya v sulfatno-chloridnikh rastvorakh]. *Russian J. Inorg. Chem.* 1978, vol. 23, no. 3, pp. 741–747.

10. Pechenyuk S.I. *Sorbtsionno-gidroliticheskoe osazdenie platinovikh metallov na poverchnosti neorganicheskikh sorbentov* [Sorption-hydrolytical Precipitation of Platinum Metals on the inorganic Sorbent Surface]. Leningrad, Nauka. 1991, 246 p.

11. Pechenyuk S.I. Sorption-hydrolytical Precipitation of Platinum Metals on Oxyhydroxides. Doctor's thesis. Apatity-Novosibirsk. 1990.

12. Breeuwsma A., Lyklema J. Physical and chemical Adsorption of Ions in the electrical double Layer on Haematite. *J. Colloid Interface Sci.* 1973, vol. 43, no. 2, pp. 437–448.

13. Westall J., Hohl H. A Comparison of electrochemical Models for the Oxide/Solution Interface. *Adv. Coll. Int. Sci.* 1980, vol. 18, no. 4, pp. 265–294.

14. Schindler W. Grenzflachenchemie oxidischer mineralien. *Österreich. Chem. Z.* 1985, vol. 86, no. 6, pp. 141–146.

15. Ahmed S.M., Maksimov D. Studies of the Oxide Surfaces of the Liquid-Solid Interface. Part II. Iron Oxides. *Can. J. Chem.* 1968, vol. 46, no. 24, pp. 3841–3846.

16. Parks G.A., Bruyn P.L. de. The Zero Point of Charge of Oxides. *J. Phys. Chem.* 1962, vol. 66, no. 6, pp. 967–973.

17. Parks G.A. The isoelectric Points of solid Oxides, solid Hydroxides and aqueous hydroxo complex System. *Chem. Rev.* 1965, vol. 65, no. 2, pp. 177–198.

18. *Adsorption from Solution at the solid/liquid Interface*. Ed. G.D.Parfitt and C.H.Rochester. L. N.-Y. 1983.

19. Tamura H., Tanaka A., Mita K., Furuichi R. Surface Hydroxyl Site Densities on Metal Oxides as a Measure for the ion-exchange Capacity. *J. Colloid Interface Sci.* 1999, vol. 209, pp. 225–231.

20. Pechenyuk S.I. Adsorption of potential-determining Ions on the Surface of Ittrium, Samarium and Itterbium Oxyhydroxides [Adsorbtsiya potentialopredelyayushchikh ionov na poverhnosti oxigidratov ittriya, samariya i itterbiya]. *Russian J. Phys. Chem.* 1987, vol. 61, no. 1, pp. 165–169.

21. Pechenyuk S.I., Kalinkina E.V. Adsorption of potential-determining Ions on the Surface of amorphous Iron(III) Oxyhydroxides [Adsorbtsiya potentialopredelyayushchikh ionov na poverhnosti amorfnykh oxigidratov zheleza (III)]. *Russian Colloid J.* 1990, vol. 52, no. 4, pp. 716–721.

22. Pechenyuk S.I., Kalinkina E.V. Acid-basic Properties of amorphous Iron(III) Oxyhydroxides and Anion Adsorption [Kislotno-osnovnie svoistva amorfnykh oxigidratov zheleza(III) i sorbtsiya anionov]. *Russian J Appl. Chem.* 1991, vol. 64, no. 1, pp. 26–31.

23. Pechenyuk S.I. Heterogeneous Reactions of Solids with changeable Surface Value and Solution Components with variable Composition [Geterogennie peaktsii tverdikh faz s nepostoyannoi velichinoi poverhnosti i komponentov rastvora peremennogo sostava]. *Russian J. Phys. Chem.* 1989, vol. 63, no. 8, pp. 2155–2163.

24. Bol'shakov K.A., Sinitzin N.M., Borisov V.V. a.o. Iridium Sorption on Haematite at high Temperatures [Visokotemperturnaya sorbtsiya iridiya na gemitite]. *Russian J. Inorg. Chem.* 1985, vol. 30, no. 8, pp. 2065–2068.

25. Nikol'skaya L.V., Simanova S.A., Boichinova E.S. The Kinetics and Mechanism of Iridium chlоро Complexes Sorption from dilute Solutions on hydrated Zirconium Dioxid [O kinetike i mekanizme sorbtsii khlorokompleksov iridiya(III) iz pasbavlenikh rastvorov na gidratirovannom diokside zirkoniya]. *Russian J. Appl. Chem.* 1987, vol. 60, no. 4, pp. 735–739.

Физическая химия

26. Pechenyuk S.I., Kalinkina E.V. Sorption Properties of Titanogels [Sorbtionnie svoistva titanogelei]. *Russian J. Phys. Chem.* 1993, vol. 67, no. 6, pp. 1251–1254.
27. Pechenyuk S. I., Kalinkina E. V. Sorption Properties of Zirconogels. / *Russian Chemical Bulletin*. 1996, vol. 45, no. 11, pp. 2653–2657.
28. Pechenyuk S. I., Kalinkina E. V., Kuz'mich L. F., Matveenko S. I. Heterogeneous Hydrolysis of Platinum, Iridium, and Rhodium chloro Complexes on the Iron, Titanium, Zirconium, Chromium, and Indium Oxyhydroxide Surfaces. *Russian J. Coordination Chem.* 1997. vol. 23, no. 10. pp. 720–724.
29. Pechenyuk S.I., Matveenko S.I., Kalinkina E.V., Mikhailova N.L. Sorption Properties of Indium Oxohydroxides. *Russian Chemical Bulletin*. 1998, vol. 47, no. 2, pp. 242–247.
30. Pechenyuk S.I., Kuz'mich L.F., Kalinkina E.V., Matveenko S.I. Comparison of the Sorption Properties of crystalline and amorphous Samarium(III) Oxohydroxides. *Russian Chemical Bulletin*. 1998, vol. 47, no. 4, pp. 583–588.
31. Pechenyuk S. I., Kalinkina E. V., Kuz'mich L. F., Matveenko S. I. Sorption Properties of Chromium(III) amorphous Oxyhydroxides. *Colloids and Surfaces*. 1998, vol. A144, no. 1–3, pp. 43–48.
32. Pechenyuk S. I., Kuz'mich L. F., Matveenko S. I., Kalinkina E. V. Sorption Properties of Oxohydroxides Prepared by Alkaline Hydrolysis of Cobalt(II) and Zinc(II) Salt Solutions. *Russian J. Appl. Chem.* 2000, vol. 73, no. 3. pp. 419–424.
33. Pechenyuk S.I., Semushin V.V. Sorption Properties of freshly precipitated Alumogels. *Russian Chemical Bulletin*. 2003, vol. 52, no. 1, pp. 60–64.
34. Pechenyuk S.I. Sorption Properties of Hydrogels of transition and p-metal Oxide Hydroxides. *Russian Chemical Bulletin*. 1999, vol. 48, no. 2, pp. 228–238.
35. Pechenyuk S.I., Mikhailova N.L., Kuz'mich L.F., Makarova T.I. Physicochemical study of iron(III), Chromium(III), and Indium(III) Oxohydroxide Xerogels. *Russian J. Inorg. Chem.* 2003, vol. 48, no 8. pp. 1136–1146.
36. Pechenyuk S.I., Mikhailova N.L., Kuz'mich L.F. Physicochemical Investigation of Titanium(IV) and Zirconium(IV) Oxohydroxide Xerogels. *Russian J. Inorg. Chem.* 2003, vol. 48, no 9, pp. 1286–1291.
37. Giacomelli C.E., Avena M.J., Camara O.R., Pauli C.P. de. Some physicochemical Properties of Chromium (III) hydrous Oxide - aqueous Solution Interface. *J. Colloid Interface Sci.* 1995, vol. 169, pp. 149–160.
38. Pechenyuk S.I., Matveenko S.I., Semushin V.V. Estimation of Oxyhydroxide specific Surface Area using the Amounts of OH Groups adsorbed. *Russian Chemical Bulletin*. 2001, vol. 50, no. 9, pp. 1505–1511.
39. Davis J.A., Leckie J.O. Surface Ionization and Complexation at the Oxide/Water Interface. II. Surface Properties of amorphous Iron Oxyhydroxide and Adsorption of Metal Ions. *J. Colloid Interface Sci.* 1978, vol. 67, pp. 90–107.
40. Golovan A.V., Krivoruchko O.P., Buyanov R.A., Zolotovskii B.P. The Study of Iron(III) Hydrogels, its Aging Products and thermal Dehydration with magnetic Methods [Issledovanie gidrogelei Fe(III), rentgenoamorfnykh produktov ich stareniya i termicheskoi degidratatsii magnitnimi metodami]. *Isvestiya SO AN SSSR. Seriya Khim. nauk.* 1981, vol. 4, no. 9, pp. 70–78.
41. Krivoruchko O.P., Zolotovskii B.P., Buyanov R.A. a.o. Influence of Precipitation Temperature and the Nature of the starting Fe(III)-Salt on Fe(III)-Hydroxide Crystallization in alkaline Medium. *Zanorg. allg. Chem.* 1983, B. 504, S. 179–186.
42. Davydov D.Yu. Hydrolysis of the Fe^{3+} Cation into polynuclear Hydroxo Complexes in the Presence of ClO_4^- , Cl^- , NO_3^- , and SO_4^{2-} Ions in Solution. *Russian J. Inorg. Chem.* 2005, vol. 50, no. 6, pp. 962–965.
43. Pechenyuk S.I., Kalinkina E.V., Popova R.A., Rogatchev D.L., Zalkind O.A. The Composition and Properties of criogranulated Iron(III) Oxyhydroxides [Sostav i svoistva kriogranulirovannikh oksigidratov zheleza(III)]. *Russian J. Appl. Chem.* 1991, vol. 64, no. 1, pp. 31–36.
44. Pechenyuk S.I., Matveenko S.I. Changes in the acid-base Properties of Hydrogels of Metal Oxide Hydroxides induced by Aging in Solutions of Electrolytes. *Russian Chemical Bulletin*. 2000, vol. 49, no. 8, pp. 1329–1332.
45. Pechenyuk S.I. and Kuz'mich L.F. Variation of the Composition of Hydrous Metal Oxide Hydroxides during Aging in Electrolyte Solutions. *Russian J. Inorg. Chem.* 2000, vol. 45, no 9, pp. 1335–1339.

46. Pechenyuk S.I. and Kuz'mich L.F. Changes in the Sorption Activity of Metal Oxyhydroxide Hydrogels during their Ageing in Electrolyte Solutions. *Colloids and Surfaces*. 2001, vol. A180, pp. 259–266.
47. Pechenyuk S.I., Semushin V.V. and Kashulina T.G. Aging of Oxyhydroxide Sorbents saturated with the Cations of non-ferrous Metals. *Chemistry for Sustainable Development*. 2003, no. 11, pp. 627–633.
48. Pechenyuk S. I., Semushin V. V. The Influence of sorbed non-ferrous Metal Cations on the Aging of Iron(III) Oxyhydroxides [Vliyanie sorbirobnikh kationov tsvetnikh metallov na starenie oksigidroksidov zheleza(III)]. *Sobtsionnie i khromatograficheskie protsesi*. 2008, vol. 8, no. 1, pp. 106–112.
49. Pechenyuk S. I., Semushin V. V., Arkhipov I.B. Acid-basic Properties of the Surface of Aluminium Oxyhydroxide Hydrogels [Kislotno-osnovnie svoistva poverkhnosti gidrogelei oksigidroxida aluminija]. *Izvestiya Chelyabinskogo nauchnogo Tsentra. Khimiya i biologiya*. 2006, no., pp.4–68.
50. Pechenyuk S.I. Anion Sorption on Oxyhydroxides [Sorbsiya anionov na oksigidroksidakh]. *Sobtsionnie i khromatograficheskie protsesi*. 2008, vol. 8, no. 3, pp. 380–429.
51. Semushina Yu.P. The Study of Anion Sorption Laws from aqueous Solutions with gel-like Oxyhydroxides of Iron(III), Chromium(III) and Zirconium(IV). Candidate's thesis. Apatity-Chelyabinsk. 2009.
52. Pechenyuk S.I., Semushina Yu.P., Kuz'mich L.P. Estimation of specific Content and Nature of Sorption Sites on Iron(III) and Zirconium (IV) Oxyhydroxides. *Russian Chemical Bulletin*. 2005, vol. 54, no. 8, pp. 1787–1792.
53. Pechenyuk S.I., Ivanov Yu.V., Semushina Yu.P. Porosity of some Iron(III), Chromium(III), and Zirconium(IV) Hydroxide Oxide Xerogels. *Russian J. Inorg. Chem.* 2006, vol. 51, no. 2, pp. 189–193.
54. Pechenyuk S.I., Semushina Yu.P., Kuz'mich L.F. Sorption of $[Fe(CN)_6]^{3-}$ and $[Fe(CN)_6]^{4-}$ Ions on the Surface of Fe(III), Cr(III), and Zr(IV) Oxyhydroxide Hydrogels from aqueous Solutions. *Russian J. Phys. Chem. A*. 2006, vol. 80, no.0, pp. 1692–1697.
55. Pechenyuk S.I., Semushina Yu.P. Sorption of Phosphate Ions on Iron(III), Zirconium(IV), and Chromium(III) Oxyhydroxides from aqueous Electrolyte Solutions. *Russian J. Phys. Chem. A*. 2007, vol. 81, no. 8, pp. 1298–1302.
56. Semushina Yu.P., Pechenyuk S.I. Acid-basic Properties of the Surface of Iron(III), Zirconium(IV) and Chromium(III) Oxyhydroxide Hydrogels [Kislotno-osnovnie svoistva poverkhnosti hidrogelei oksigidroxidov zheleza(III), zirkoniya(IV) i chroma(III)]. *Vestnik YuURGU. Matematika, Fizika, Khimiya*. 2006, vol. 7, no. 7 (62), pp.244–247.
57. Pechenyuk S.I., Kuz'mich L.P., Semushina Yu.P. Oxalate Ion Sorption on the Ferrogels [Sobtsiya okcalat-ionov na ferrogelyakh]. *Sobtsionnie i khromatograficheskie protsesi*. 2010, vol. 10, no. 1, pp. 61–68.
58. Pechenyuk S.I., Kuz'mich L.P., Semushina Yu.P. Kadirova G.I. Oxalate and Carbonate Ions on the Zirconogels [Sobtsiya okcalat- i karbonat-ionov na zirkonogelyakh]. *Sobtsionnie i khromatograficheskie protsesi*. 2011, vol. 11, no. 3, pp. 372–381.
59. Pechenyuk S.I., Semushina Yu.P. Kadirova G.I. Gelatineous Oxyhydroxides: Competition between Adsorption and Complexation [Geleobraznie oksigidroksidi: kohkurentsiya mezhdru adsorbtsiei i komplekssoobrasovaniem]. *Sobtsionnie i khromatograficheskie protsesi*. 2012, vol. 12, no. 5, pp. 719–724.
60. Pechenyuk S.I., Semushina Yu.P., Kuz'mich L.P. The competitive Sorption Chromate, Oxalate and Carbonate Ions on the Zirconogels [Konkurentnaya sorbsiya khromat-, oksalat- i karbonat-ionov na zirkonogelyakh]. *Sobtsionnie i khromatograficheskie protsesi*. 2012, vol. 12, no. 2, pp. 189–195.
61. Pechenyuk S.I., Semushina Yu.P., Kuz'mich L.F. Adsorption Affinity of Anions on Metal Oxyhydroxides. *Russian J. Phys. Chem. A*. 2013, vol. 87, no. 3, pp. 490-496.
62. Pechenyuk S. I., Kuz'mich L. F., Semushina Yu. P..Effect of the Nature of the Salt Precursor of an Oxide–Hydroxide Sorbent on the Sorption of Oxalate Ions. *Russian J. Phys. Chem. A*. 2012, vol. 86, no. 9, pp. 1465–1468.
63. Hiemstra T., Rjemsdijk W.H.van. A Surface structural Approach to Ion Adsorption the Charge Distribution Model. *J. Colloid Interface Sci.* 1996, vol. 179, pp. 488–508.
64. Hiemstra T., Rjemsdijk W.H.van. Surface structural Ion Adsorption Modeling of competitive Binding of Oxyanions by Metal (hydr)Oxides. *J. Colloid Interface Sci.* 1999, vol. 210, pp.182–193.

Физическая химия

65. Pechenyuk S.I., Kuz'mich L.F. About the Nature of Sorption Complex on the Surface of Metal Oxyhygroxides [O prirode sorbtionnogo kompleksa na poverkhnosti oksigidroksidov metallov]. *Sobstionnie i khromatograficheskie protsesi*. 2008, vol. 8, no. 5, pp. 790–795.
66. Basolo F., Pearson R.G. *Mechanisms of Inorganic Reactions. A Study of Metal Complexes in Solution*. J. Wiley and sons, N.-Y. – L. – S. 1967.
67. Pechenyuk S.I. Present State of Research on the Sorption of Inorganic Compounds by Oxide Hydroxides from aqueous Solutions. *Russian Chemical Reviews*. 1992, vol. 61, no. 4, pp. 385–398.
68. Dobosh D. *Elektrokhimicheskie konstanty: spravochnik* [The Electrochemical Constants: Data Book]. Moskow, Mir, 1980. 365 p.
69. Pechenyuk S.I., Kashulina T.G. Heterogeneous Reactions of Complex Compounds of Platinum Metals, Copper and Mercury with Oxyhydroxides [Geterogenie reaktsii kompleksnikh soedinenii platinovikh metallov, medi i rtuti s oksigidroksidami]. *Koordinatsionnaya khimiya*. 1995, vol. 21, no. 1, pp. 3–11.
70. Pechenyuk S.I. The Use of the pH at the Point of Zero Charge for Characterizing the Properties of Oxide Hydroxides. *Russian Chemical Bulletin*. 1999, vol. 48, no. 6, pp. 1029–1035.

Поступила в редакцию 22 февраля 2013 г.

ПРАВИЛА ДЛЯ АВТОРОВ

1. В редакцию предоставляется электронная (MS Word 2003) и печатная версии статьи на русском языке, экспертное заключение о возможности опубликования работы в открытой печати, сведения об авторах (Ф.И.О., место работы и должность для всех авторов на русском и английском языках), контактная информация, лицензионный договор (неисключительная лицензия), акт приемки-передачи произведения, согласие на обработку персональных данных. В случае необходимости редакция оставляет за собой право запросить разрешение на опубликование статьи из организации, в которой выполнена работа или работает первый автор.

2. Структура статьи: УДК, название, инициалы и фамилии авторов, аннотацию на русском и английском языках (не более 1000 символов на каждом языке) и ключевые слова/словосочетания на русском и английском языках (не более 10 на каждом языке), Ф.И.О. авторов, текст рукописи. Текст должен содержать: введение, экспериментальную часть или методику исследования, обсуждение результатов, заключение, литературу. Список литературы оформляется в порядке цитирования в соответствии с ГОСТ 7.1–2003; названия статей в периодических изданиях указывать не обязательно.

3. Рисунки должны быть чёрно-белыми, вставлены в текст статьи. Графики должны быть выполнены в редакторах Excel, Origin или Corel Draw, структурные формулы – в редакторе ChemWin, математические формулы – средствами редакторов, встроенных в MS Word. Фотографии и графики должны быть присланы в виде отдельных файлов, имя которых содержит фамилию первого автора и номер рисунка в статье; файлы графиков должны быть в формате редакторов, в которых они были созданы. Разрешение фотографий – не менее 300 dpi.

4. Параметры документа MS Word: поля: зеркальные, верхнее – 23 мм, нижнее – 23 мм, внутри – 22 мм, снаружи – 25 мм. Межстрочный интервал – одинарный. Шрифты: Times New Roman (для аннотации Arial), кегль 11 пт (для аннотации – 10 пт), масштаб 100 %, абзацный отступ 0,7 см. Нумерация страниц – отсутствует. Рекомендуемый объём статьи (включая таблицы и рисунки) 5–10 страниц.

5. Адрес редакции Вестника ЮУрГУ серии «Химия»: 454080, Челябинск, пр. им. В.И. Ленина, 76, ЮУрГУ, Химический факультет, корпус 1а, Авдину Вячеславу Викторовичу. Адрес электронной почты: avdin@susu.ru.

6. Полную версию правил подготовки рукописей и пример оформления можно найти на сайте ЮУрГУ (www.susu.ac.ru), следуя ссылкам: «Наука», «Вестник ЮУрГУ», «Серии».

7. Плата за публикацию не взимается.

**ВЕСТНИК
ЮЖНО-УРАЛЬСКОГО
ГОСУДАРСТВЕННОГО УНИВЕРСИТЕТА**

**Серия
«ХИМИЯ»**

2013, том 5, № 2

Редактор М.Н. Атауллина
Компьютерная верстка С.В. Буновой

Издательский центр Южно-Уральского государственного университета

Подписано в печать 19.04.2013. Формат 60×84 1/8. Печать цифровая.
Усл. печ. л. 6,51. Тираж 500 экз. Заказ 89/307.

Отпечатано в типографии Издательского центра ЮУрГУ. 454080, г. Челябинск, пр. им. В.И. Ленина, 76.